

第九編

土 壓 (Earth Pressure)

第一章 總 論

62. 緒說 凡ソ土木工事ハ一トシテ直接ニ或ハ間接ニ土地ニ多少ノ關係ヲ有セザルモノナシ。地上ニ又ハ地中ニ建設セラレタル構造物又ハ築造物ハ其ノ土地ニ接觸セル部分ニ於テ一般ニ土ヨリ壓力ヲ受ケ或ハ土ニ壓力ヲ傳フルモノナリ。此ノ種ノ壓力ヲ總稱シテ**土壓**(Earth Pressure)ト謂ヒ之ニ關スル問題ハ土木工事設計上極メテ重要ナル部分ニ屬ス。本問題ニ就テハ先進學者ノ研究ト實地當事者ノ經驗トニ依ツテ實際設計上ニ適用シテ差支ナシト認メラルベキ數種ノ**土壓論**(Theories of Earth Pressure)ノ公ニセラルヽヲ見ルニ至レリ。

普通ノ土ハ粘土砂或ハ砂利等及ビ多少ノ濕氣ヲ含有セルモノニシテ其ノ分子間ニ於ケル摩擦及ビ**凝集力**(Cohesion)ノ程度ニ由ツテ土壓力ヲ異ニス。若シ土ガ純粹ナル粘土ノミヨリ成ルトキハ凝集力ハ甚ダ大ナルベク、純粹ナル砂或ハ砂利ノミヨリ成

ルトキハ凝集力ハ殆ド存在セザルベシ。尙内部ニ含マレタル水分ノ多少ハ摩擦及ビ凝集力ニ大ナル影響ヲ與ヘ適當ノ濕氣ハ之ヲ大ナラシムレドモ過度ノ濕氣ハ却ツテ之ヲ小ナラシムモノナリ。斯ノ如ク粘土砂或ハ砂利水分ノ多少ニ由ツテ土質ニ變化ヲ生ジ從ツテ異レル壓力ヲ現ハスベキナリ。

凝集力ノ大ナル土ニテモ之ヲ掘鑿スレバ多少粉碎セラル、ヲ以テ一時的ニ凝集力ヲ失フニ至ルベシ。尤モ年月ヲ經ルニ從ヒ固結シラ掘鑿前ノ狀態ニ復シ擁壁ニ壓力ヲ及ボサハルベキモ此ノ狀態ハ永久的ニアラズシテ溫度ノ變化凍結作用其ノ他振動等ノ爲メニ甚ダシク凝集力ヲ減ズベシ。切取ニ於テモ特殊ノ場合ノ外上叙ノ理由ニヨリ凝集力ノ減退ヲ免レザルヲ以テ擁壁ノ設計ヲナスニ當リテハ一般ニ土ノ凝集力ハ之ヲ考ヘザルヲ至當トス。

凝集力ノ大ナル土ニアリテハ切取面ヲ鉛直ナラシメ其ノ高サ十數尺ニ達スルモ凝集力ニ依ツテ當分崩壊ノ恐ナキコトアリ。又隧道ノ場合ニ於テ其ノ掘鑿セラレザル部分ノ土ハ凝集力ヲ失フコト少ナキヲ以テ盛土ノ下ニ設ケラレタル拱ノ如ク大ナル土壓ヲ受ケザル場合多シ。此ノ如キ土質ニ於テ或傾斜角ニ又ハ鉛直ニ切取り得ベキ高サヲ定ムル

カ或ハ掘割ノ支保工ニ加ハル壓力ヲ求ムルカ又ハ隧道ノ拱ニ加ハル土壓ヲ計算スルニハ土ノ凝集力ヲ考ニ取ラザルベカラズ。

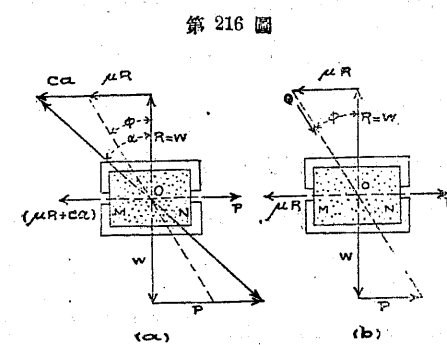
本篇ニ於テハ先づ土ノ凝集力ヲ考ヘザル場合ノ土壓ニ就テ論ジ最後ニ之ヲ考ヘタル場合ニ論及セントス。

63. 土ノ摩擦力及ビ凝集力 土ノ摩擦及ビ凝集力ニ關シテハ一般ニ次ノ如キ法則ガ是認セラル、モノトス。即チ

第一. 土ノ或量ニ外力ガ働キ其ノ内部ニ於ケル或平面ニ沿ウテ土ノ一部分ガ摺動セントスル場合ニ起ル處ノ最大摩擦抵抗ハ該平面ニ於ケル垂直壓力ニ摩擦係數 μ ヲ乘ジタルモノニ等シク、此ノ摩擦係數ハ一定ノ土ニ就テハ不變ニシテ摩擦抵抗ノ大サハ垂直壓力ニ正比例シ其ノ平面ノ面積ニ無關係ナリ(上卷第14節參照)。

第二. 上叙ト同様ノ場合ニ於ケル最大凝集力ハ單位面積ニ於ケル凝集力ノ大サ即チ凝集力係數(Coefficient of Cohesion) c = 面積ヲ乘ジタルモノニ等シク垂直壓力ニ無關係ナリ。

μ 及ビ c の大サヲ定ムベキ實驗裝置ノ一例ヲ舉グレバ第216圖ニ示セルガ如シ。二ツノ淺キ金屬



第216圖
圓盤ニ土ヲ盛リ
テ盤ノ縁ガ相接
セザル様重ネ之
ヲツツノ水平板
上ニ置キ上部ニ
或重量ヲ加フベ
シ。今適當ノ方
法ヲ以テ下盤ノ摺動ヲ防ギ置キ上盤ノ左方ヨリ
MN面ニ沿ウテ或壓力ヲ加フルトキハ土ハ MN面ニ
沿ウテ剪斷セラルベシ。若シ將ニ剪斷セラレント
シ辛ウジテ平衡狀態ヲ維持スル様横壓力ヲ加減シ
之ヲ P トスレバ MN面ニ沿ウテ働く最大摩擦抵抗
及ビ最大凝集力ノ和ハ P = 等シク而シテ其ノ方向
ハ P ト反対ナルベシ。MN面ニ加ハル全重量ヲ W
トシ MN面ニ起ル反力ヲ R (=W) トスレバ第一法則
ニ據リ摩擦抵抗ハ μW = 等シク、MNノ面積ヲ a トス
レバ凝集力ハ ca ナルヲ以テ

$$P = \mu W + ca \dots \dots \dots (19)$$

W ヲ變シテ數回實驗スレバ(19)式ト同様ノ形ノ數式
ヲ得ベク此等ノ式ヨリ消去法ニ依ツテ μ 及ビ c ノ
值ヲ算出シ得ベシ。

若シ凝集力ガ皆無ナルトキハ(b)圖ニ示セル如ク

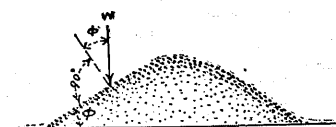
$P = \mu W$ = 等シク(19)式ハ次ノ如クナルベシ。

$$P = \mu W \dots \dots \dots (20)$$

此場合ニ於ケル R ト μR トノ合力ノ傾斜角ハ土ノ
息角(Angle of Repose)ナルベキヲ以テ之ヲトスレバ
 $\mu = \tan \phi$ トナル。然ルニ $R = W$, $\mu R = P$ ナルニヨリ P 及
ビ W ノ代リニ Q ナル傾斜壓力ガ加ハルトキ將ニ摺
動ガ起ラントスル場合ノ Q ノ傾斜角ハ土ノ息角ニ
等シカルベク、即チ Q ノ水平分力ハ土ノ摩擦ト相殺
スペキナリ。

土砂ヲ堆積スレバ次第ニ崩壊シテ遂ニ或傾斜ヲ
ナスニ至リテ平衡狀態ヲ保ツモノナリ。其ノ傾斜
ヲ土ノ天然傾斜(Natural Slope)ト謂フ。斯ク平衡ヲ保
チ得ルハ傾斜面上ノ各粒ニ作用スル重力ノ方向ガ
傾斜面ノ垂直線ト中丈ケノ角ヲナスヲ以テナリ(第
217圖)。故ニ天然傾斜ハ息角ニ等シキコト明ラカ
ナリ。

第217圖



64. 土ノ息角及ビ重量
土ノ息角及ビ重量ハ共ニ
土壓力ノ計算上缺クベカラ
ザル要素ナルヲ以テ設
計者ハ豫メ之ヲ調査シ置カザルベカラズ。出來得
ベクンバ夫々ノ場合ニ於テ實驗ニ依ツテ自ラ之ヲ

決定スルヲ可トスレドモ一般ニ斯道研究者ニヨリ
テ得ラレタル實驗ノ結果ヲ參酌シ自己ノ判断ヲ加
味シテ適宜ノ値ヲ認定スルヲ常トス。今普通採用
セラルル土ノ息角及ビ重量ヲ表示スレバ第十四表
ノ如シ

第十四表……土ノ息角及ビ重量

材 料	息 角 ϕ	重 量 每 立 方 呎
砂(乾ケル)	20°—35°	90斤—110斤
砂(少シク湿リタル)	30—45	100 —110
砂(湿リタル)	20—40	110 —120
普通土(乾ケル)	20—45	80 —100
普通土(少シク湿リタル)	25—45	80 —100
普通土(湿リタル)	25—30	100 —120
砂利	30—48	100 —135
砂利, 砂及ビ粘土混合物	20—37	100 —115
軟泥	0	105 —120
腐朽岩屑(硬質)	45	100
腐朽岩屑(軟質)	37	110
割栗石	45	110
炭燧	25—41	45
骸炭	30—45	23 — 32
石炭	35	44 — 54
無煙炭	27	40 — 55
無煙炭灰	45	30

Φノ値ハ材料中ニ含有セル水分ノ多少ニ因ツ
・變化スルモノナルガ今一つノ實驗ノ結果ヲ表示ス
レバ第十五表ノ如シ。

第十五表……水分ノ多少ニ因ル土ノ息角ノ變化

材 料	乾燥セル場合	少シク濕レル場合	甚ダシク濕ル場合	水中=浸リタル場合
砂(純粹)	34°	44°	34°	27°
普通土	37	39	30	17
割栗石又ハ玉石	45	45	45	44

第十五表ニ於テ見ルガ如ク普通ノ場合ニ於テハ
水分ガ少量ナルトキハ却ツテ中ノ値ヲ増シ適度ノ
濕氣ヲ含メルトキハ最大息角ヲ有シ其ノ極限ヲ超
過スレバ次第ニ減少シテ遂ニ水中ニ浸リタル場合
ニ最小息角ヲ有スルニ至ルモノトス。唯割栗石、玉
石等ニ於テハ殆ド水分ノ影響ヲ受クルコトナキナ
リ。是レ水ノ作用ヲ受ケ易キ箇所ニ於ケル擁壁ノ
裏詰ニ割栗石、玉石等ヲ使用スルヲ有利トスル所以
ナリ。

土砂ノ重量モ亦水ノ爲メニ變化スルモノナリ。

今

w_1 =淡水中=於ケル土砂ノ重量(听每立方呎)

w = 空中ニ於ケル土砂ノ重量(斤每立方呎)

v = 空隙 / 百分率

トスレバ

海水ノ場合ニハ 62.5 ノ代リニ 64 ヲ取ルベシ。例ヘ

バ1立方呎ノ重量ヲ100斤,其ノ空隙ヲ40%トスレバ
単位容積中ニハ60%ノ實質ヲ有スベシ. 淡水中ニ
於ケル其ノ材料ノ重量ハ $100 - 0.6 \times 62.5 = 62.5$ 斤每立
方呎トナルベシ.

(21) 式ノ適用セラルハ割栗石,砂利ノ如ク水ガ
其ノ空隙ニ容易ニ浸入シ得ル材料ニ限ルモノニシ
テ普通ノ土砂ニ於テハ多少ノ相違ヲ免レザルベシ.

今参考ノ爲メ海水中ニ於ケル土砂ノ息角ト重量
トヲ表示スレバ第十六表ノ如シ. 但シ前者ハ實驗
ノ結果ナレドモ後者ハ空隙ヲ假定シテ算出セルモ
ノナリ.

第十六表.....海水中ニ於ケル土ノ息角及ビ重量

材 料	天 然 傾 斜	息 角	重 量 每 立 方 呎
砂	2:1	26°34'	60斤
砂及ビ粘土混合物	3:1	18 26	65
粘土	3.5:1	15 57	80
砂利	2:1	26 34	60
砂利及ビ粘土混合物	3:1	18 26	65
砂利,砂及ビ粘土混合物	3:1	18 26	65
普通土	3.5:1	15 57	70
腐朽岩屑(軟質)	1:1	45 00	65
割栗石(硬質)	1:1	45 00	65

水中工事ニ於テ土壓力ヲ計算スルニハ場合ニ應
ジテ水中ニ於ケル息角ト重量トヲ實驗ニヨリテ測
定スルヲ至當トスレドモ通常ノ場合ニ於テハ以上

掲グタル如キ值ヲ採用シテ可ナリ.

65. 土ノ息角ニ及ボス地震ノ影響 土ガ地震ノ作用ヲ受クル
トキハ其ノ瞬間ニ於テ固有ノ息角が著シク減少セラレタルト
同様ノ結果ヲ生ジ從ツテ土壓力ガ一時的ニ甚ダシク増大セラ
ルハモノナリ. 故ニ我が國ノ如キ地震國ニ於テハ土ノ息角ヲ
認定スルニ當リ地震ノ影響ニ關シテ考量スルヲ必要トスル場
合少カラザルベシ. 震災豫防調査會報告第八十三號(甲)=於テ
本問題ニ就テ論ゼラレタル所ヲ摘記セントス. 本論ニ入ル前
ニ地震ノ震力及ビ震度ニ關シテ少シク述ブル必要アリ.

震力及ビ震度 m ナル質量ヲ有スル物體ガ地上ニ靜止スル
トキ α ナル加速度ノ方向ト相反セル方向ニ働ク am ナル力ニ依
ツテ其ノ靜止狀態ヲ亂サレントス. 是レ即チ地震ノ單純ナル
破壊力ニシテ之ヲ名ヅケテ震力ト謂フ. 凡ソ地震波ハ震原ヨリ
四周ニ傳ハルナ以テ地動ハ上下動又ハ水平動ニ限ラズ甚ダ
複雜ナルヲ常トス. 其主要動中ノ最大加速度ハ其ノ地震ニ於
ケル最大震力ノ素因タリ. 即チ地震ノ最大加速度ハ其ノ地震
ノ烈シサ又ハ破壊力ノ程度ヲ表ハスモノト云フベシ. 而シテ
水平ノ最大加速度ガ震災ノ主因タルナ以テ大森理學博士ヘ水
平最大加速度300耗每秒每秒以上ナ七階ニ分チ地震ノ烈サノ程
度ヲ示ス標準トセリ(震災豫防調査會報告第二十一號參照)

W ナ以テ物體ノ重量トセバ $m = \frac{W}{g}$ (g ハ地球引力ノ加速度)ナル
ナ以テ $am = \frac{a}{g} W$ トナル. $\frac{a}{g}$ ナ k ナ表ハストキハ am ハ kW トナ
ル乃チ凡テ物體ハ地震ニ際シテ其ノ重量ノ k 倍ノ力ニ依ツテ
靜止狀態ヲ亂サレントスモノト云フナ得ベシ. 此ノ k ナ稱シ
テ震度ト謂フ. g ハ9,800耗每秒每秒ナレドモ之ヲ10,000耗每秒每
秒ト見做ストキハ加速度ヨリ直チニ震度ヲ知ルナ得ベシ. 例
へば 1,000 耗每秒每秒ナル最大加速度ナ有スル地震ノ震度ハ
 $\frac{1,000}{10,000} = 0.1$ ナルガ如シ. 此ノ定義ナ以テ既往ニ三ノ大地震ナ律

スルトキハ水平震度ナ次ノ如ク表示スルヲ得ベシ。

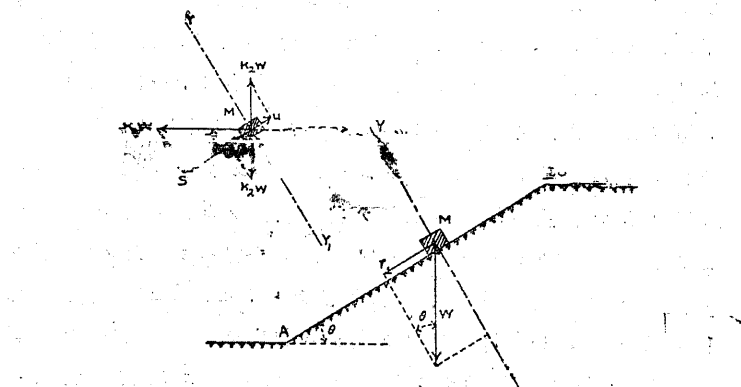
第十七表.....水平震度

地 震 名	地 名	水 平 震 度
東京地震(明治二十七年)	本所, 深川	0.10
同 上	本郷臺	0.04
濃尾地震(明治二十四年)	岐阜, 大垣	0.30
同 上	名古屋	0.25-0.30
江州地震(明治四十二年)	尊勝寺村	0.40
同 上	長濱	0.20
米國加州地震(明治三十九年)	桑港下町	0.25
同 上	上ノ手	0.10

或地ニ將來起リ得ベシト豫期セラルベキ地震ノ震度ナ其ノ地ノ豫期震度ト謂ヒ構造物ノ設計等ナスニ當リ其ノ土地ノ事情及ビ構造物ノ如何ニ應ジテ之ヲ認定スルコト肝要ナルガ専門家ノ助力ナ得難キ場合ニハ少クトモ其ノ地若シクハ附近ノ既往ニ於ケル最大震度以上ナ取レバ可ナルベシ。

息角ノ變化 第218圖ニ示セル如ク傾斜地面上ニWナル重量ナ有スル同質ノ土塊Mアリトスレバ地震ノ際之ヲ傾斜面ニ滑

第218圖



ウナ下方ニ摺動セメントスル力及ビ其ノ摩擦抵抗ハ平素

場合ト異ナルベシ。第218圖ニ於テ k_1W ハ水平震力, k_2W ハ鉛直震力ナ表ハスモノニシテ此等ノ影響ナ示セバ次ノ如シ

摩擦ナ減ズルモノ	{左向キ k_1W ノ 垂 直 分 力	{上向キ k_2W ノ 垂 直 分 力
摺動ナ増スモノ	{左向キ k_1W ノ 接 觸 分 力	{下向キ k_2W ノ 接 觸 分 力
摩擦ナ増スモノ	{右向キ k_1W ノ 垂 直 分 力	{下向キ k_2W ノ 垂 直 分 力
摺動ナ減ズルモノ	{右向キ k_1W ノ 接 觸 分 力	{上向キ k_2W ノ 接 觸 分 力

是ニ由テ見レバ右向水平震力ノ分力ハ摩擦ナ増シ摺動ナ減ズル傾向ナ有スルモノニシテ孰レモ安全ノ影響ナ及ボスモノナルニエ之ヲ考フルニ及ベズ。今地震ノ際ニ於テ摺動ナ起サントスルトキノ傾斜角ナヨトシ斜面ニ沿ウテMナ摺動セシメントスル力ナFトスレバ

$$F = W \sin \theta + k_1 W \cos \theta \pm k_2 W \sin \theta = (1 \pm k_2) W \sin \theta + k_1 W \cos \theta$$

此ノ力Fト摩擦抵抗ト平衡スペキナ以テ

$$(1 \pm k_2) W \sin \theta + k_1 W \cos \theta = \mu [(1 \pm k_2) W \cos \theta - k_1 W \sin \theta]$$

$$[(1 \pm k_2) + \mu k_1] \sin \theta = [\mu (1 \pm k_2) - k_1] \cos \theta$$

$$\therefore \tan \theta = \frac{\mu (1 \pm k_2) - k_1}{(1 \pm k_2) + \mu k_1} = \tan \phi \frac{1 \pm k_2 - k_1 / \tan \phi}{1 \pm k_2 + k_1 \tan \phi} \quad \text{... (22)}$$

(22)式ハ土ノ息角ト地震ノ場合ニ於ケル息角トノ關係ナ表ハスモノナリ。例ヘバ息角 $\phi=45^\circ$ ナル土ガ $k_1=0.2$, $k_2=0.1$ ナル地震ノ影響ナ受クルトキハ(22)式ニ依ツテ一時的ニ次ノ如キ息角ナ有スルコトハナル。

$$\tan \theta = 1 \times \frac{1 \pm 0.1 - 0.2}{1 \pm 0.1 + 0.2} = \frac{0.9}{1.3} \text{ 或ハ } \frac{0.7}{1.1}$$

$$\text{即チ } \theta = 34.5^\circ \text{ 又ハ } 32.5^\circ$$

此ノ如ク土ノ息角ハ地震ニ際シテ著シク減ゼラレ從ツテ土壓ナ増スコトハナル。

鉛直震度 k_2 ノ影響ナ小ナル場合多キナ以テ之ヲ除外スルトキハ(22)式ハ次ノ如クナル

$$\tan\theta = \tan\phi \frac{1 - \frac{k_1}{\tan\phi}}{1 + k_1 \tan\phi} \dots \dots \dots \quad (23)$$

(23) 式は據リテ水平震度 k_1 = 應ズル息角 θ を算出シ之ヲ表示スレバ第十八表ノ如シ

第十八表.....地震ノ際ノ土ノ息角(θ)

平素 / 息角	20°	30°	40°	45°	50°	60°	70°
水平震度 k_1							
0.1	14.5	25.0	34.5	40.0	44.5	54.5	61.5
0.2	8.5	18.5	29.0	34.0	39.0	49.0	55.5
0.3	3.5	13.5	23.5	28.0	33.5	43.5	53.0

上表ノ如ク k_1 が 0.1 ナルトキ息角ハ凡ソ 5.5° ナ減ジ, 0.2 ナルトキ凡ソ 11° ナ減ジ, 0.3 ナルトキ凡ソ 16.5° ナ減ズルナ以テ水平震度 0.1 每ニ息角ハ凡ソ 5.5° ナ減ズルナ知ルベシ.

66. 土ノ凝集力係數 土ノ摩擦係數ハ實驗ニ依ツテ之ヲ決定スルコト容易ニシテ其實例ヲ見ルニ各例ノ差異少ナク其ノ值大同小異ナレドモ凝集力係數 c ニ關スル實驗ハ極メテ困難ニシテ其ノ例頗ル乏シク而モ其ノ實驗ニヨリテ得ラレタル結果區々タリ。又 c ノ值ハ水分ノ多少及ビ固結ノ程度ニヨリ非常ナル變化アリテ搗固ノミニヨリテ c ヲ 10 倍以上ニ增大セシムルハ容易ナリト云フ。此ノ如ク c ノ值ハ甚ダシク變化スルヲ以テ之ヲ定ムルニ際シテハ頗ル注意ヲ要ス。今参考ノ爲メぶれりに氏ノ著書ニヨリ凝集力係數ヲ舉グレバ第十九表ノ

如シ。但シ上述ノ如ク實驗ノ結果區々ニシテ或人ハ下表ノ值ヨリ頗ル大ナル值ヲ得タルコトアリ。

第十九表……凝集力係數 c

材 料	
普通 土 (乾)	110 听每平方呎
普通 土 (濕)	115
粘 土 (乾)	107
粘 土 (濕)	190

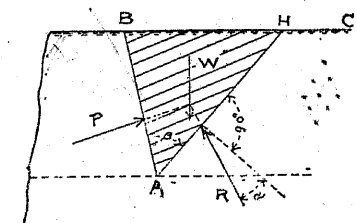
67. 土ノ自動的壓力,受動的壓力及ビ破壊面 第

219 圖ニ示セル如ク BC ナル表面ヲ有スル士アリ.

AB ナル平面ニテ之ヲ截リ其ノ左方ノ部分ヲ除去

第 219 圖

スルトキ凝集力ナキモノ



ト假定スレバ右方ノ部分
ハ或面 AH = 於テ破壊セ
ラレ ABH ナル部分ハ AH
面ニ沿ウテ崩落スペシ。

其崩落ヲ防ギ土ヲシテ平衡状態ヲ維持セシムルニハ之ニ必要ナル丈ケノ力Pヲ左方ヨリ加ヘザルベカラズ。若シ擁壁ヲ設ケ土ノ崩落ヲ防グトキハ壁ハPニ等シキ压力ヲ受クベシ。今ABHナル土ガ將ニ崩落セントシ辛ウジテ平衡ヲ保テルモノトセバABHノ重サWトPトノ合成力ガAH面上ニ於ケ反力Rニ等シカルベシ。而シ

テ崩落ガ將ニ始マラントスル場合ナレバ R ガ AH 面ノ垂直線トナス傾斜角 α ハ土ノ息角 ϕ ニ等シカルベシ。此ノ場合ニ於テハ土ハ自働的狀態ニアリテ此ノ限度ニ於ケル P ノ値ヲ自働的土壓力 (Active Earth Pressure) 又ハ單ニ土壓力ト謂フ。

次ニ或手段ニ依ツテ左方ヨリ ABH = 作用スル壓力 P ヲ次第ニ増加スレバ α ハ漸々小トナリテ R ガ AH 面ノ垂直線ニ接近シ遂ニ垂直線ノ反對ノ側ニ移リ負ノ傾斜角ガ(- ϕ)ニ等シクナルマデハ平衡ヲ保ツベシ。而シテ此ノ限度ニ於テハ ABH ナル土ハ將ニ上方ニ推上ゲラントスル形勢ニアリテ土ハ受働的狀態ニアリ。此ノ場合ニ於ケル P ノ値ヲ Q ニテ表ハセバ AB 面ハ Q ニ等シキ土壓力受クベシ。此ノ Q ヲ稱シテ受働的土壓力 (Passive Earth Pressure) ト謂フ。

要スルニ自働的及ビ受働的土壓力ハ ABH ナル土ガ平衡狀態ヲ保チ得ル兩限度ニ於ケル P ノ値ナリトス。

凝集力ナキ場合ニハ AH 面ヲ一平面ト見做シ得ベク之ヲ稱シテ破壊面 (Plane of Rupture) ト謂フ。然ルニ普通ノ土ニ於テハ多少ノ凝集力アルヲ以テ AII ハ平面ナラズシテ凹曲面トナル。而シテ面ノ

曲度ハ凝集力大ナルホド大ナリトス。

68. 土壓論ノ沿革 土壓論一度世ニ出デ、ヨリ茲ニ二百數十年其ノ間土壓ニ關スル論說ノ發表セラレタルモノ數多アレドモ之ヲ大別シテ二種トスルヲ得ベシ。(第一) 土楔論 (Wedge Theory) 即チ第 219 圖ニ於テ ABH の如キ土楔ガ破壊面 AH = 沿ウテ摺動スルト見做シタルモノ、(第二) 解析土壓論 (Analytical Theory) 即チ土ノ内部ニ於ケル内應力ニ基ヅキテ立論セルモノ是レナリ。

佛國陸軍將校ヴァン氏 (Vauban, 1687 年發表) ガ唱導セシ土壓論ハ土楔論ノ濫觴ナリト稱セラル。氏ハ第 219 圖ニ於テ AB ガ鉛直ナル場合ヲ考ヘ土楔ガ水平面ト 45° ノ角ヲナセル傾斜平面ニ沿ウテ摺動スルモノト假定シ其ノ重量ヲ破壊面ニ垂直及ビ並行ナル兩分力ニ分チ後者ヲ以テ鉛直擁壁面ニ作用スペキ土壓力ナリトセリ。固ヨリ幼稚ナル一說ニ過ギズト雖モ土楔論ノ基礎ヲ築キタルモノト云フベシ。其ノ後佛國ノベリどる氏 (Belidor, 1729) ハ此ノ說ヲ改善シ鉛直擁壁面ニ働く土壓ハ上述ノ並行分力ヨリ小ナリトシ其ノ差ハ土楔ト下部ノ土面トノ間ノ摩擦ニ起因スルモノトセリ。佛國ノ陸軍將校クーロ心氏 (Coulomb, 1773) 出デテ破壊面ニ於ケル壓力ハ其

ノ垂直線ト息角中丈ケノ傾斜ヲナスペキコトヲ主張シ之ヲ基礎トシテ最大土壓力ヲ生ズベキ土楔ヲ決定シ鉛直擁壁面上ニ作用スル土壓力ヲ計算スル方法ヲ案出セリ。世ニ之ヲクーロム氏擁壁論(Coulomb's Theory of Retaining Walls)ト稱セラル。此ニ於テ土壓論始メテ其ノ緒ニ就クヲ得タリ。次イデ佛國ノブロニー(Prony, 1815), 同フランソワ(Francois, 1820)同ナビエー(Naviers, 1839), 同ボンスレー(Poncelet, 1840)獨國ノレーブはん(Rebhann, 1871), 同ウインクラー(Winkler, 1872)等ノ諸氏出デ或ハクーロム氏ノ理論ヲ擴充シ或ハ多少ノ新事項ノ附加シ以テ土楔論ノ完成ヲ見ルニ至レリ。就中ボンスレー及ビレーブはん兩氏ハ土壓力ノ方向ガ擁壁背面ニ垂直ナラズシテ其ノ垂直線ト或傾斜ヲナスペキコトヲ主張シ又巧妙ナル圖式解法ヲ案出シ土壓三角形(Earth Pressure Triangle)ノ説ヲ立テ擁壁ノ設計ヲシテ簡單ナラシメタリ。此ノ圖式解法ハ今日廣く使用セラル、處ナリ。

翻ツテ解析土壓論ノ方面ヲ觀ルニらんきん氏(Rankine, 1856)出デ、從來ノ研究ト異レル方面ヨリ進ミ土ノ内應力ノ原則ヲ基礎トシテ一種獨特ノ土壓論ヲ立テタリ。らんきん氏土壓論(Rankine's Theory of Earth Pressure)是レナリ。獨國ノウインクラー(Winkler,

1860), 佛國ノレーヴィー(Levy, 1870), 同ド・サン・うなん(de St. Venant, 1870)等ノ諸氏モ全ク別途ニ同様ノ理論ヲ發表シ、佛國ノコンシドー(Considère, 1870)獨國ノモー(Mohr, 1871), 同ウェイラウヒ(Weyrauch, 1878)等ノ諸氏ハ此ノ理論ヲ擴充シ、其ノ後佛國ノブーしねすく(Boussinesq, 1884), 同ショードー(Chaudy, 1895), 同レスアル(Résal, 1903)等ノ諸氏ハ更ニ新シキ事項ヲ加ヘ複雜ナレドモ完全ニ近キ土壓論ヲ發表シタリ。就中ブーしねすく氏及ビレーブはん氏ハ各卓越セル所論ニ依ツテ從來ノ土壓論ニ一道ノ光明ヲ與ヘタルモノト云フヲ得ベシ。

第二章 内應力ニ基ヅケル土壓論

(Theories of Earth Pressure
based on Internal Stresses)

69. 緒說 本章及ビ第三章ニ述ズル土壓論ニ於テハ土ハ粒狀體ヨリ成レル齊等質ノモノニシテ各分子間ニ凝集力ナク只摩擦ニ依ツテ其ノ形體ヲ維持シ得ルモノト見做ス。

内應力ニ基ヅケル土壓論ニ於テハ土ノ内部ニ於ケル應力ガ擁壁背面ノ摩擦ノ爲メニ影響ヲ受クルト假定シタルモノト其ノ影響ヲ受ケザルト假定シ

タルモノトノ二説アリ。擁壁ニ作用スル實際ノ土壓力ハ前説ノ如ク摩擦ノ影響ヲ受クベキハ明ラカニシテ此ノ種ノ理論中現時ニ於テ最モ信賴スルニ足ルモノハぶ一しねすく氏ノ理論ナレドモ本書ノ程度ニ於テハ之ヲ説ク能ハズ。らんきん氏ハ後説ノ鼻祖ニシテ其ノ土壓論ハ現今尙廣ク用キラルヽモノヽ一ナリ。

らんきん氏ノ土壓論ハ表面平面ナル土ノ内部ニ鉛直面ヲ想像シ此ノ面ニ作用スペキ壓力ニ就テ論ジタルモノナレバ之ヲ擁壁ノ場合ニ適用スルニ當リヲハ缺點アルヲ免レズ。然レドモ其ノ適用ヲ誤マラザレバ特別ノ場合ノ外ハ實用上差支ナキ結果ヲ得ベシ。且此種ノ理論中最モ簡明ナルヲ以テ主トシテらんきん氏土壓論及ビ其ノ應用ヲ述ベントス。

以下本章ニ於テ使用スル處ノ符號ヲ纏メテ此ニ列舉シ置カン。

- α擁壁背ガ鉛直線トナス角。
- θ地表面ノ傾斜角。
- ϕ土ノ息角。
- h擁壁ノ高サ。
- p_y y ナル深サニ於テ地表面ニ並行ナル平面上ニ作用スル鉛直壓力。

- p_x地表面ニ並行ナル共軛壓力度。
- P單位長サノ擁壁背面上ニ於ケル全土壓力。
- w土ノ單位容積ノ重量。
- W考ヘツツアル土ノ全重量。
- Q單位長サノ擁壁背面上ニ於ケル全受働的土壓力。
- z全土壓力ガ壁背ノ垂直線トナス角。
- β共軛ニ應力間ノ角。

70. 鉛直面ニ作用スル土壓力 第220圖(a)ニ示セルガ如キ表面平面ニシテ且無限ニ擴ガレル土アリ。地表面 CC_1 以下 y ナル距離ニ於テ CC_1 ニ並行ナル平面 XX_1 ヲ考フレバ其ノ面中ノ一點Aニ於ケル鉛直壓力ハ其ノ點ヨリ地表面マデノ間ニアル直上ノ土ノ重量ニ因ツテ生ズルモノトス。即チ次ノ原則ガ成立スペキナリ。

原則(第一) 地表面ニ並行ナル平面上ニ働ク土壓力ノ方向ハ鉛直ニシテ其ノ大サハ地表面以下ノ鉛直距離即チ深サニ正比例ス。

又共軛應力ノ原理ニ依ツテ次ノ原則ヲ得。

原則(第二) 鉛直平面上ニ作用スル土壓力ノ方向ハ地表面ニ並行ニシテ鉛直壓力ト互ニ共軛ナリ。

[第220圖(b)參照]

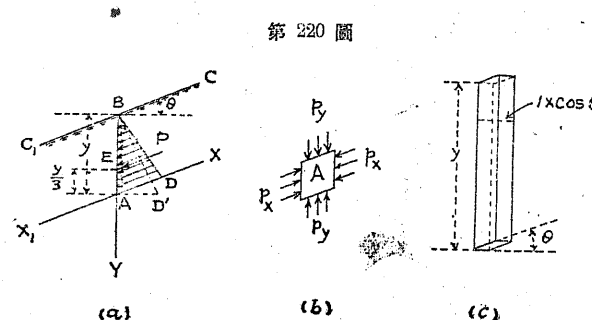
尙傾斜表面ニ並行ナル土層中ノ壓力ハ相平衡スベキ筈ナルヲ以テ例ヘバ第220圖(a)ノ XX_1 層中ニ於

テハ何處ニテモ等シキ壓力度ヲ有セザルベカラズ。即チ次ノ原則ヲ得。

原則(第三) 或深サニ於テ地表面ニ並行ナル面上ニ於ケル土壓力度及ビ其ノ方向ハ均等ナリ。

らんさん氏土壓論ノ目的ハ以上述ベタル趣旨ニ基ヅキテ一鉛直平面ニ作用スル土壓力ノ大サ, 其方向及ビ働く點ヲ決定スルニアリ。以下順次説明スペシ。

[A] 土壓力度 第220圖ニ示セル如クXX₁中ノA點ニ於ケル単位面積ニ作用スル鉛直壓力ヲ生ズル土



ノ角壩ノ水平斷面ハ $1 \times \cos\theta$ ナルヲ以テ角壩ノ容積ハ $y \cdot \cos\theta$ ナリ。故ニ原則(第一)=據リテ

$$p_y = w \cdot y \cdot \cos\theta \quad \dots \dots \dots (24)$$

而シテ p_y 及ビ p_x ハ共軸壓力ニシテ中巻第77節ニ依フテ

$$\frac{p_x}{p_y} = \frac{\cos\theta \pm \sqrt{\cos^2\theta - \cos^2\phi}}{\cos\theta \mp \sqrt{\cos^2\theta - \cos^2\phi}} \quad \dots \dots \dots (25)$$

上式ニ於ケル(土)ノ符號ノ孰レヲ取ルカハ土壓力ガ自働的ナルカ受働く點ナルカニヨリテ異ル。自働的壓力ノ場合ニ於テハ鉛直壓力ノ爲メニ土ハ横逸セントスル傾向アリ。其ノ結果トシテ横壓力(Lateral Pressure)ヲ生ズルヲ以テ鉛直壓力ガ原因ニシテ横壓力ハ其ノ結果ナリ。從ツテ結果タル横壓力ハ其ノ原因タル鉛直壓力ヨリモ小ナルカ又ハ極限ニ於テ之ニ等シキコトアルベキモ決シテ之ヨリ大ナル能ハズ、即チ自働的壓力ノ場合ニ於テハ

$$\frac{p_x}{p_y} = \frac{\cos\theta - \sqrt{\cos^2\theta - \cos^2\phi}}{\cos\theta + \sqrt{\cos^2\theta - \cos^2\phi}}, \text{ 即チ}$$

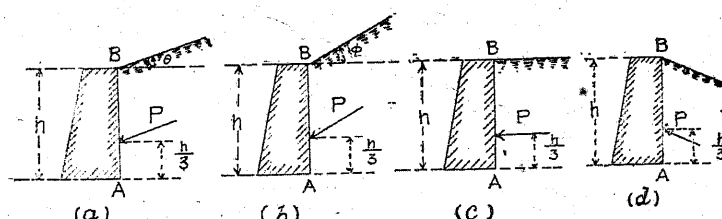
$$p_x = p_y \frac{\cos\theta - \sqrt{\cos^2\theta - \cos^2\phi}}{\cos\theta + \sqrt{\cos^2\theta - \cos^2\phi}}.$$

(24)式ヨリ

$$p_x = w \cdot y \cdot \cos\theta \frac{\cos\theta - \sqrt{\cos^2\theta - \cos^2\phi}}{\cos\theta + \sqrt{\cos^2\theta - \cos^2\phi}} = w \cdot y \cdot F(\theta, \phi) \dots \dots \dots (26)$$

上式ニ於テ

圖 221 第



$$F(\theta, \phi) = \cos\theta \frac{\cos\theta - \sqrt{\cos^2\theta - \cos^2\phi}}{\cos\theta + \sqrt{\cos^2\theta - \cos^2\phi}}$$

若シ地表面ガ天然傾斜ヲ有スルトキハ $\theta = \phi$ トナルヲ以テ

若シ地表面ガ水平ナルトキハ $\theta=0$ ナルガ故ニ

此ノ場合ニ p_x ハ水平, p_x ト p_y トハ互ニ垂直ニシテ所謂主要應力(Principal Stresses)タリ.(中巻第77節參照)

[B]全土壓力ノ大サ方向及ビ働點 原則(第一)=
 據リテ横壓力度ハ深サニ正比例スルヲ以テ第220
 圖(a)=於テA點ニ於ケル壓力度ヲADトスレバAB
 上ノ任意ノ一點ニ於ケル壓力度ハ其ノ點ヲ通ジテ
 AD=並行ニ引キタル線ガ△ABDノBD邊ニヨリテ
 限ラルル長サニテ表ハサルベシ。即チ△ABDハ壓
 力度ノ變化ヲ表ハス。而シテAD'ヲABニ垂直ニ引
 キ其ノ長サヲADニ等シクシ B ト D' トヲ連ヌレ
 ベ△ABD'ノ面積ハ AB面上ノ全土壓力ヲ表ハス然
 ル=AD'=AD=w.y.F(θ, ϕ)ナルガ故ニ

$$P = \frac{1}{2} y \times w y \cdot F(\theta, \phi) \\ = \frac{1}{2} w y^2 \cdot \cos \theta \frac{\cos \theta - \sqrt{\cos^2 \theta - \cos^2 \phi}}{\cos \theta + \sqrt{\cos^2 \theta - \cos^2 \phi}} \quad \dots \dots \dots \quad (29)$$

$$\text{又 } P = \int_0^y p_x dy = \int_0^y wy \cdot F(\theta, \phi) \cdot dy$$

然ル $= wF(\theta, \phi)$ ハ常數ナルヲ以テ

$$P = \frac{1}{2} \cdot w y^2 \cdot \cos \theta \frac{\cos \theta - \sqrt{\cos^2 \theta - \cos^2 \phi}}{\cos \theta + \sqrt{\cos^2 \theta - \cos^2 \phi}}$$

全土壓力ノ方向ハ原則第二ニ據リテ常ニ地表面
ニ並行ナリ(第221圖參照). 全土壓力ノ働く點ハヨ
リ $\frac{2}{3}AB$, 或ハ A ヨリ $\frac{1}{3}AB$ ノ位置ニアルコト明ラカ
ナリ.

特別ノ場合 (a)若シ地表面ガ天然傾斜角ヲナストキハ第221圖(b)=於ケル如ク $\theta = \phi$ ナルヲ以テ(29)式ハ次ノ如クナル:

(b) 若シ地表面ガ水平ナルトキハ第221圖(c)ニ於ケル如ク $\theta=0$ トナルヲ以テ(29)式ハ次ノ如クナル.

$$P = \frac{1}{2} w y^2 \cdot \frac{1 - \sin \phi}{1 + \sin \phi} = \frac{1}{2} w y^2 \tan^2 \left(\frac{\pi}{4} - \frac{\phi}{2} \right) \dots \dots \dots \quad (31) \text{ (c)}$$

上式ノ第二形式ハクニ-ルルヒ氏公式ト同形ナリ。一

(c) 土壓力ノ方向ハ常ニ地表面ニ並行ナルベキヲ以テ若シ地表面ガ下方ニ傾斜シθガ負ノ角トナルトキハ第221圖(d)ニ示ス如クTハ擁壁ヲ推上ゲントスル傾向ヲ有スペキナリ。然レドモ此ノ如キハ實際ニ不合理ノ感アルヲ以テ此ノ場合ニハ破線ニテ

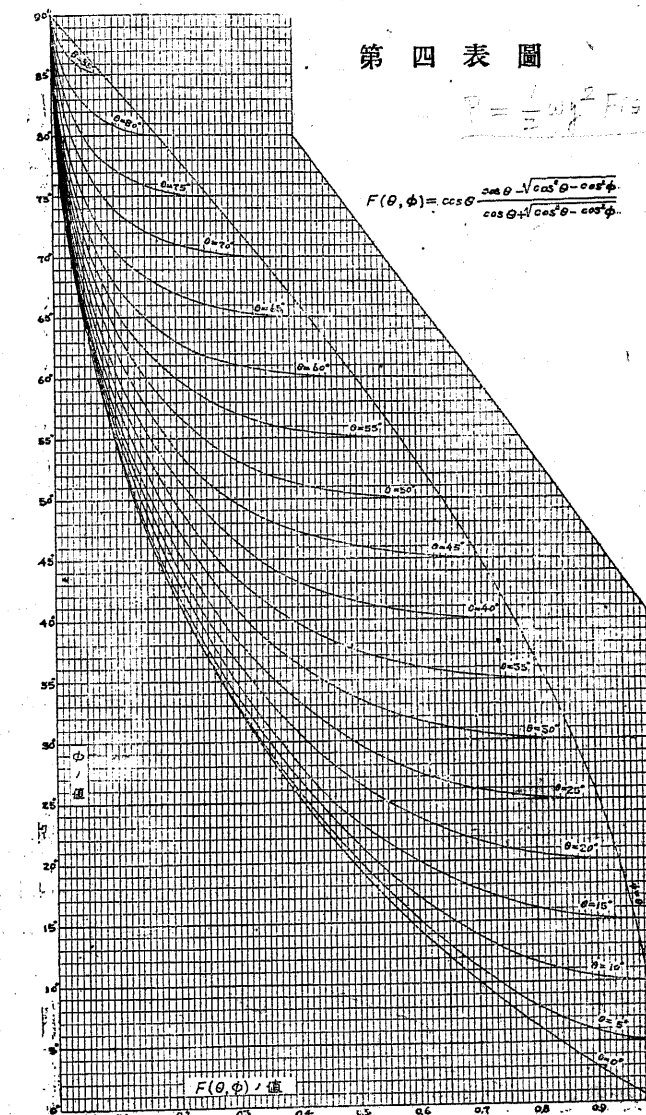
示ス如ク水平ノ方向ヲ有スルモノト考フル方實用
上可ナルベシ。

[C] $F(\theta, \phi)$ ノ値ヲ表ハス表圖 土壓力ヲ算定スルニ當リ $F(\theta, \phi)$ ノ値ヲ一々計算スルハ極メテ煩ハシキヲ以テ其ノ手數ヲ省ク爲メニ第四表圖ノ如ク θ 及ビ ϕ ノ變化ニ伴フ $F(\theta, \phi)$ ノ値ヲ算出シテ之ヲ圖上ニ表ハセルモイヲ使用スルヲ便トス。此ノ表圖ニ於テハ地表面ノ傾斜角 θ ハ 0° ヨリ 90° マデ 5° 每ニ之ヲ取リテ計算シタル結果ノミヲ示セルモ其ノ中間ノ傾斜角ニ對シテモ挿入法 (Interpolation) ニ依ツテ之ヲ求メ得ベシ。本表圖ノ計算ニハ計算尺ト四桁對數表トヲ用キタルガ故ニ其ノ結果ハ精確ナルモノニアラズト雖モ實地設計ノ場合ニ於テハ十分満足ナル結果ヲ得ラルベシ。

本表圖ヲ使用スルニハ先づ θ ノ表ハス曲線ヲ辿リテ ϕ ノ示ス横線トノ交點ヲ求メ之ヲ通ズル縦線ガ底線ニ合スル點ニ於ケル數ヲ讀ムベシ。例へバ $\theta=0^\circ$, $\phi=20^\circ$; $\theta=\phi$, $\phi=40^\circ$; $\theta=20^\circ$, $\phi=30^\circ$ = 對シテハ $\theta=0^\circ$, $\theta=\phi$, $\theta=20^\circ$ ノ各曲線ガ夫々 $\phi=20^\circ$, $\phi=40^\circ$, $\phi=30^\circ$ ノ横線ト合スル點ヲ求メ $F(\theta, \phi)$ ノ値トシテ底線上ニテ 0.490, 0.765, 0.414 ノ得ルガ如シ。

例題1. 地表面ノ傾斜角 20° , 土ノ息角 35° ナル場合, 及ビ地表面

第四表圖



水平土ノ息角 35° ナル場合ニ於テ $\frac{p_x}{p_y}$ ナル比ヲ求ム。

第一ノ場合ニハ第四表圖ヨリ $F(\theta, \phi) = 0.323$,

$$(26) \text{式ヨリ } \frac{p_x}{p_y} = F(\theta, \phi) / \cos 20^\circ = 0.323 / 0.9397 = 0.344$$

第二ノ場合ニ於テハ第四表圖ヨリ $F(\theta, \phi) = 0.271$.

$$(26) \text{式ヨリ } \frac{p_x}{p_y} = F(\theta, \phi) / \cos 0^\circ = 0.271 / 1 = 0.271$$

例題2. 土ノ息角 30° , 土ノ重量100听每立方呎トスレバ地表面ノ傾斜角 30° ナルトキ及ビ地表面水平ナルトキ地表面以下10呎ノ深サニ於ケル土壓力度 p_x ノ値如何。

第一ノ場合ニ於テハ(26)式及ビ第四表圖ニ依ルカ又ハ(27)式ヨリ
 $p_x = wy \cos \phi = 100 \times 10 \times 0.866 = 866$ 听每平方呎。

第二ノ場合ニ於テハ(26)式及ビ第四表圖ニ依ルカ又ハ(28)式ヨリ
 $p_x = wy \frac{1 - \sin \phi}{1 + \sin \phi} = 100 \times 10 \times 0.333 = 333$ 听每平方呎。

例題3. 鉛直擁壁アリ高サ10呎, 地表面ノ傾斜角 25° ナルトキ
 裹込ガ玉石ナル場合及ビ普通土ナル場合ニ於テ降雨ノ際甚ダ
 シク湿润トナルトスレバ該擁壁ニ作用スル土壓力如何。

玉石ノ場合, 第十四表及ビ第十五表ニ依ツテ $\phi = 45^\circ$, $w = 120$ 听,
 $F(\theta, \phi) = 0.209$, (23)式ヨリ

$$P = \frac{1}{2}wy^2 \cdot F(\theta, \phi) = \frac{1}{2} \times 120 \times 10^2 \times 0.209 = 60 \times 100 \times 0.209 = 1,254 \text{ 听。}$$

普通土ノ場合, $\phi = 30^\circ$, $w = 110$ 听, $F(\theta, \phi) = 0.493$, (28)式ヨリ

$$P = \frac{1}{2} \times 110 \times 10^2 \times 0.493 = 2,710 \text{ 听}$$

例題4. 地表面水平ニシテ土ノ重量100听每立方呎, 息角 35° ナルトキ水平加速度2,000粍每秒每秒ノ地震起ルトスレバ高サ10呎ノ鉛直擁壁ニ作用スル全土壓力ハ平素ヨリ幾割増加スペキカ。

第四表圖ヨリ $F(\theta, \phi) = 0.271$, (29)式ヨリ

$$P = \frac{1}{2}wy^2 \cdot F(\theta, \phi) = \frac{1}{2} \times 100 \times 10^2 \times 0.271 = 1,355 \text{ 听。}$$

是レ平素ノ全土壓力ナリ, 然ルニ第65節ニ依ツテ加速度2,000粍每秒每秒ノ地震ノ震度ハ0.2ニシテ第十八表ニ依ツテ息角ハ 11°

丈ヶ減少スルガ故ニ $\phi = 35^\circ - 11^\circ = 24^\circ$ = 對スル $F(\theta, \phi)$ ハ第四表圖ニ

依ツテ0.12トナリ全土壓力ハ

$$P' = \frac{1}{2}wy^2 \cdot F(\theta, \phi) = \frac{1}{2} \times 100 \times 10^2 \times 0.42 = 2,100 \text{ 听。}$$

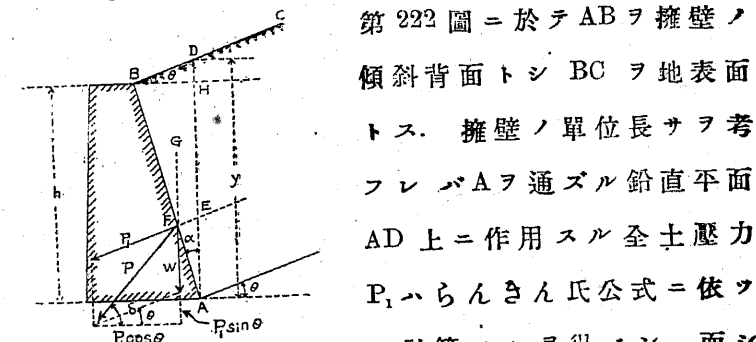
$$\therefore \frac{P' - P}{P} = \frac{2,100 - 1,355}{1,355} = 0.55$$

即チ全土壓力ハ地震ノ爲メニ平素ヨリ増加スルコト凡ツ五割
 五分ナリ。

71. 斜面ニ於ケル土壓力 解析解法 前述ノ如
 クらんきん氏ノ公式ハ鉛直面ニ對スルモノナレバ
 傾斜背面ヲ有スル擁壁ニ作用スル土壓力ハ直接此
 ノ公式ニヨリテ計算スルヲ得ズ多少ノ變更ヲ加ヘ

第222圖

ザルベカラズ。



第222圖ニ於テABヲ擁壁ノ
 傾斜背面トシ BCヲ地表面
 トス。擁壁ノ單位長サヲ考
 フレバ Aヲ通ズル鉛直平面
 AD上ニ作用スル全土壓力
 P_1 ハらんきん氏公式ニ依ツ
 テ計算スルヲ得ベシ。而シ

テ其ノ働く點ハ Aヨリ $\frac{1}{3}AD$ ナル E點ニシテ其ノ方向
 ハ BCニ並行ナリ。今之ヲ延長スレバ ABD ナル土
 壓ノ重量Wノ働く線ト E點ニ合スベシ。而シテ P_1 ト
 Wトノ合成功力Pハ AB面上ニ作用スル全土壓力ナ

リトス.

今第222圖ニ於テ

$$\begin{aligned}
 AD &= AH + HD = h + BH \tan \theta = h + h \cdot \tan \alpha \cdot \tan \theta \\
 &= h(1 + \tan \alpha \cdot \tan \theta) = h \left(\frac{\cos \alpha \cdot \cos \theta}{\cos \alpha \cdot \cos \theta} + \frac{\sin \alpha \cdot \sin \theta}{\cos \alpha \cdot \cos \theta} \right) \\
 &= h \frac{\cos(\theta - \alpha)}{\cos \alpha \cdot \cos \theta} = y \\
 \therefore P_1 &= \frac{1}{2} w y^2 \cdot F(\theta, \phi) = \frac{1}{2} w h^2 \frac{\cos^2(\theta - \alpha)}{\cos^2 \alpha \cdot \cos^2 \theta} \cdot F(\theta, \phi) \dots \dots (a)
 \end{aligned}$$

$$\begin{aligned} \text{BH} &= h \tan \alpha = h \cdot \frac{\sin \alpha}{\cos \alpha} \\ \therefore W &= w \times \Delta ABD = w \cdot \frac{1}{2} AD \times BH \\ &= \frac{1}{2} wh^2 \cdot \frac{\sin \alpha \cdot \cos(\theta - \alpha)}{\cos^2 \alpha \cos^2 \theta} \dots \dots \dots (b) \end{aligned}$$

然ルニ

$$P = \sqrt{(P_1 \cos \theta)^2 + (W + P_1 \sin \theta)^2} = \sqrt{W^2 + P_1^2 + 2WP_1 \sin \theta} \dots (c)$$

(c) 式 = (a) 式 及 ビ (b) 式 ヨリ W 及 ビ P_1 の 値ヲ 代 入 リ

$$F = \sqrt{\left\{ \frac{1}{2} wh^2 \cdot \frac{\sin \alpha \cos(\theta - \alpha)}{\cos \alpha \cos \theta} \right\}^2 + \left\{ \frac{1}{2} wh^2 \cdot \frac{\cos^2(\theta - \alpha)}{\cos^2 \alpha \cos^2 \theta} \cdot F(\theta, \phi) \right\}^2 + 2 \left(\frac{wh^2}{2} \right)^2 \frac{\sin \alpha \cos(\theta - \alpha)}{\cos^2 \alpha \cos^2 \theta} \frac{\cos^2(\theta - \alpha)}{\cos^2 \alpha \cos^2 \theta} \cdot F(\theta, \phi) \cdot \sin \theta} \\ = \frac{1}{2} wh^2 \cdot \frac{\cos(\theta - \alpha)}{\cos^2 \alpha \cos \theta} \sqrt{\sin^2 \alpha + \frac{\cos^2(\theta - \alpha)}{\cos^2 \theta} \{ F(\theta, \phi) \}^2} \\ + 2 \sin \alpha \cos(\theta - \alpha) \tan \theta \cdot F(\theta, \phi). \quad \dots \dots (32)$$

Pノ働線ガ水平線トナス角 δ ハ次ノ如クシテ求ムルヲ得。第222圖ニ於テ

$$\tan\delta = \frac{W + P_1 \sin\theta}{P_1 \cos\theta} = \frac{W}{P_1 \cos\theta} + \tan\theta \dots \dots \dots (d)$$

(d) 式 = $\langle a \rangle$ 式 及 ピ (b) 式 ヨリ P_1 及 ピ W ノ 値ヲ代入ス
レバ

$$\tan\delta = \frac{\sin\alpha \cdot \cos(\theta - \alpha) \cdot \cos^2\alpha \cdot \cos^2\theta}{\cos^2\alpha \cdot \cos\theta \cdot \cos^2(\theta - \alpha) \cdot F(\theta, \phi)} + \tan\theta$$

$$= \frac{\sin\alpha}{\cos(\theta - \alpha) \cdot F(\theta, \phi)} + \tan\theta \quad \dots \dots \dots (33)$$

尙勧點 F ハ A ヨリ $\frac{1}{3}$ AB ノ所ニアルコトハ説明ヲ
要セズシテ明ラカナリ.

特別ノ場合 (a) 地表面ノ傾斜角 θ , 檻壁背面鉛直
ナルトキハ $\alpha=0$ トナルヲ以テ(32)及ビ(33)式ハ次ノ
如クナルベシ

$$\left. \begin{aligned} P = P_1 &= \frac{1}{2} w h^2 F(\theta, \phi) \\ \tan \delta &= \tan \theta, \text{ if } \delta = \theta \end{aligned} \right\} \dots \dots \dots \quad (34)$$

(b) 地表面天然傾斜角ヲナシ壁背ノ傾斜角 α ナルトキハ $\theta = \phi$ トナルヲ以テ

$$P = \frac{1}{2}wh^2 \cdot \frac{\cos(\phi - \alpha)}{\cos^2\alpha \cdot \cos\phi} \sqrt{\sin^2\alpha \cdot \cos^2(\phi - \alpha) + 2\sin\alpha \cdot \sin\phi \cdot \cos(\phi - \alpha)} \quad \dots (35)$$

(c) 地表面天然傾斜角ヲナシ壁背鉛直ナルトキ
 $\theta = \phi, \alpha = 0$ トナルヲ以テ

$$\left. \begin{aligned} P &= \frac{1}{2}wh^2 \cos\phi \\ \tan\delta &= \tan\phi, \text{ 即 } \delta = \phi \end{aligned} \right\} \quad (36)$$

是レ(30)式ト同様ナリ。

(d) 地表面水平ニシテ壁背ノ傾斜角 α ナルトキハ $\theta=0$ トナルヲ以テ

$$\left. \begin{aligned} P &= \frac{1}{2}wh^2 \sqrt{\tan^2\alpha + \left(\frac{1-\sin\phi}{1+\sin\phi}\right)^2} \\ \tan\delta &= \tan\alpha \cdot \frac{1+\sin\phi}{1-\sin\phi} \end{aligned} \right\} \quad (37)$$

(e) 地表面水平ニシテ壁背鉛直ナルトキハ $\theta=0$, $\alpha=0$ トナルヲ以テ

$$\left. \begin{aligned} P &= P_1 = \frac{1}{2}wh^2 \cdot \frac{1-\sin\phi}{1+\sin\phi} \\ \delta &= 0 \end{aligned} \right\} \quad (38)$$

是レ(31)式ト同様ナリ。

(f) 土質ガ液體同様ナルトキハ $\phi=0$ ナルベク, 又同時ニ $\theta=0$ ナルベキヲ以テ

$$\left. \begin{aligned} P &= \frac{1}{2}wh^2 \cdot \frac{1}{\cos\alpha} \\ \delta &= \alpha \end{aligned} \right\} \quad (39)$$

是レ液體壓力ヲ表ハス公式ナリ。

全土壓力Pノ計算用諸表 (32)及ビ(33)式ノ計算ヲ簡易ナラシムル爲メニ第二十表ノ如キモノヲ使用スルヲ便トス。今

$$\frac{\cos(\theta-\alpha)}{\cos^2\alpha \cdot \cos\theta} = (L), \quad \sin^2\alpha = (M), \quad \left\{ \frac{\cos(\theta-\alpha)}{\cos\theta} \right\}^2 = (N),$$

$$2\sin\alpha \cdot \cos(\theta-\alpha) \cdot \tan\theta = (O), \quad \sin\alpha = (P), \quad \cos(\theta-\alpha) = (Q),$$

$\tan\theta = (R)$ トスレバ(32)及ビ(33)式ハ次ノ如クナル

$$P = \frac{1}{2}wh^2 \cdot (L) \sqrt{(M) + (N)\{F(\theta, \phi)\}^2 + (O) \cdot F(\theta, \phi)} \quad (40)$$

$$\tan\delta = \frac{(P)}{(Q) \cdot F(\theta, \phi)} + (R) \quad (41)$$

(40)及ビ(41)式中ノ(L), (M), (N), (O), (P), (Q), (R) 等ヲ計算尺及ビ四桁對數表ニシテ計算シ之ヲ表示シタルモノヲ第二十表トス。但シ此ノ表ハ第223圖(b)ニ示ス如ク α ガ負ナルトキニハ適用シ得ザルモノト

第二十表

$$(L) = \frac{\cos(\theta-\alpha)}{\cos^2\alpha \cdot \cos\theta}, \quad (M) = \sin^2\alpha$$

θ	(L)										(M)
	0°	5°	10°	15°	20°	25°	30°	35°	40°	45°	
5°	1.014	1.012	1.019	1.027	1.036	1.045	1.055	1.065	1.078	1.093	0.008
6°	1.005	1.015	1.024	1.034	1.044	1.055	1.066	1.079	1.094	1.111	0.011
7°	1.007	1.018	1.029	1.041	1.052	1.065	1.079	1.094	1.111	1.131	0.015
8°	1.010	1.022	1.035	1.048	1.062	1.076	1.092	1.109	1.129	1.152	0.019
9°	1.012	1.026	1.040	1.055	1.071	1.084	1.105	1.124	1.147	1.173	0.024
10°	1.015	1.031	1.046	1.063	1.081	1.099	1.119	1.140	1.166	1.195	0.030
11°	1.019	1.076	1.053	1.072	1.092	1.112	1.133	1.157	1.186	1.218	0.036
12°	1.022	1.041	1.061	1.081	1.103	1.124	1.148	1.175	1.205	1.240	0.043
13°	1.026	1.047	1.068	1.090	1.114	1.136	1.163	1.193	1.225	1.263	0.051
14°	1.031	1.053	1.076	1.100	1.125	1.150	1.179	1.211	1.245	1.284	0.055
15°	1.035	1.059	1.084	1.110	1.136	1.165	1.195	1.229	1.263	1.313	0.057
16°	1.040	1.076	1.093	1.120	1.149	1.173	1.212	1.249	1.291	1.334	0.06
17°	1.046	1.073	1.103	1.132	1.163	1.195	1.230	1.270	1.315	1.365	0.06
18°	1.051	1.081	1.112	1.144	1.177	1.211	1.248	1.291	1.340	1.39	0.075
19°	1.056	1.089	1.122	1.155	1.190	1.223	1.258	1.313	1.364	1.421	0.08
20°	1.062	1.098	1.132	1.167	1.204	1.245	1.288	1.335	1.391	1.451	0.087

$$(N) = \left\{ \frac{\cos(\theta-\alpha)}{\cos\theta} \right\}^2$$

		(N)									
α	θ	0°	5°	10°	15°	20°	25°	30°	35°	40°	45°
5°	0.992	1.008	1.023	1.040	1.057	1.075	1.096	1.118	1.144	1.174	
6°	0.969	1.008	1.026	1.046	1.066	1.089	1.113	1.140	1.172	1.208	
7°	0.955	1.006	1.028	1.051	1.075	1.102	1.130	1.164	1.199	1.242	
8°	0.981	1.005	1.030	1.056	1.084	1.114	1.147	1.183	1.216	1.276	
9°	0.976	1.003	1.031	1.060	1.092	1.125	1.163	1.204	1.253	1.309	
10°	0.970	1.000	1.031	1.064	1.099	1.136	1.178	1.224	1.291	1.342	
11°	0.964	0.997	1.031	1.067	1.105	1.147	1.194	1.244	1.304	1.375	
12°	0.957	0.993	1.030	1.069	1.110	1.156	1.204	1.262	1.328	1.407	
13°	0.950	0.988	1.028	1.061	1.116	1.165	1.220	1.281	1.353	1.438	
14°	0.942	0.983	1.026	1.072	1.121	1.173	1.232	1.300	1.377	1.469	
15°	0.933	0.977	1.023	1.072	1.124	1.181	1.244	1.316	1.400	1.500	
16°	0.924	0.971	1.018	1.073	1.127	1.188	1.256	1.332	1.422	1.530	
17°	0.915	0.964	1.016	1.071	1.129	1.194	1.266	1.348	1.444	1.559	
18°	0.905	0.957	1.011	1.069	1.131	1.200	1.276	1.363	1.465	1.588	
19°	0.895	0.950	1.005	1.068	1.132	1.204	1.284	1.377	1.485	1.617	
20°	0.883	0.940	1.000	1.068	1.132	1.208	1.293	1.390	1.505	1.648	

$$(O) = 2 \sin \alpha \cdot \cos(\theta - \alpha) \cdot \tan \theta$$

		(O)									
α	θ	0°	5°	10°	15°	20°	25°	30°	35°	40°	45°
5°	0	0.015	0.081	0.046	0.061	0.076	0.091	0.106	0.120	0.134	
6°	0	0.018	0.087	0.055	0.074	0.092	0.110	0.128	0.145	0.162	
7°	0	0.021	0.043	0.065	0.086	0.108	0.130	0.151	0.172	0.192	
8°	0	0.024	0.049	0.074	0.099	0.124	0.149	0.174	0.198	0.222	
9°	0	0.027	0.055	0.083	0.112	0.140	0.169	0.197	0.225	0.253	
10°	0	0.030	0.061	0.093	0.124	0.156	0.188	0.220	0.252	0.284	
11°	0	0.032	0.067	0.102	0.137	0.173	0.208	0.244	0.280	0.316	
12°	0	0.036	0.073	0.111	0.150	0.189	0.216	0.268	0.308	0.349	
13°	0	0.039	0.079	0.119	0.163	0.205	0.248	0.292	0.336	0.382	
14°	0	0.042	0.085	0.130	0.175	0.221	0.239	0.316	0.365	0.415	
15°	0	0.045	0.091	0.139	0.198	0.238	0.289	0.341	0.394	0.448	
16°	0	0.047	0.097	0.148	0.200	0.254	0.309	0.365	0.423	0.482	
17°	0	0.050	0.102	0.157	0.213	0.270	0.329	0.390	0.452	0.516	
18°	0	0.053	0.108	0.165	0.225	0.286	0.349	0.414	0.481	0.551	
19°	0	0.056	0.113	0.174	0.237	0.302	0.369	0.438	0.510	0.585	
20°	0	0.058	0.119	0.183	0.249	0.318	0.389	0.463	0.539	0.620	

$$(P) = \sin \alpha, (Q) = \cos(\theta - \alpha), (R) = \tan \theta$$

(Q)										(P)	
α	θ	0°	5°	10°	15°	20°	25°	30°	35°	40°	45°
5°	0.996	1.000	0.996	0.985	0.966	0.940	0.906	0.866	0.819	0.766	0.087
6°	0.995	1.000	0.998	0.988	0.970	0.946	0.914	0.875	0.829	0.777	0.105
7°	0.993	0.999	0.993	0.990	0.974	0.951	0.921	0.883	0.839	0.783	0.122
8°	0.990	0.999	0.999	0.993	0.978	0.956	0.927	0.891	0.848	0.799	0.139
9°	0.988	0.993	1.000	0.995	0.982	0.961	0.934	0.899	0.857	0.809	0.156
10°	0.985	0.996	1.000	0.996	0.985	0.966	0.940	0.806	0.866	0.811	0.174
11°	0.982	0.995	1.000	0.998	0.988	0.970	0.946	0.914	0.875	0.829	0.191
12°	0.978	0.993	0.999	0.999	0.990	0.974	0.951	0.921	0.883	0.839	0.208
13°	0.974	0.990	0.999	0.999	0.993	0.978	0.956	0.927	0.891	0.848	0.225
14°	0.970	0.988	0.998	1.000	0.995	0.982	0.961	0.934	0.899	0.857	0.242
15°	0.966	0.985	0.996	1.000	0.996	0.985	0.966	0.940	0.906	0.866	0.259
16°	0.961	0.983	0.995	1.000	0.998	0.988	0.970	0.946	0.914	0.875	0.276
17°	0.956	0.978	0.993	0.999	0.999	0.990	0.974	0.951	0.921	0.883	0.292
18°	0.951	0.974	0.990	0.999	0.999	0.993	0.978	0.956	0.927	0.891	0.30
19°	0.946	0.970	0.988	0.998	1.000	0.995	0.982	0.961	0.934	0.89	0.326
20°	0.940	0.966	0.985	0.996	1.000	0.996	0.985	0.966	0.940	0.906	0.342
(R)	0	0.087	0.176	0.268	0.364	0.466	0.577	0.700	0.839	1.000	

知ルベシ。此ノ表ニ依ツテ P 及ビ tanδ ノ計算シタル結果ハ固ヨリ近似値タルヲ免レズト雖モ實地設計等ニ對シテハ之ニテ充分ナルベシ。尙本表ニ於テハ θ ハ 0° ヨリ 45° マデ 5° 每ニ, α ハ 5° ヨリ 20° マデ 1° 每ニ之ヲ取リタルガ其ノ中間ノ角ニ對シテモ插入法ニ依ツテ容易ニ之ニ相當スル値ヲ求メ得ベシ。

(40) 及ビ (41) 式中ノ $F(\theta, \phi)$ ノ値ハ前節第四表圖ニヨ

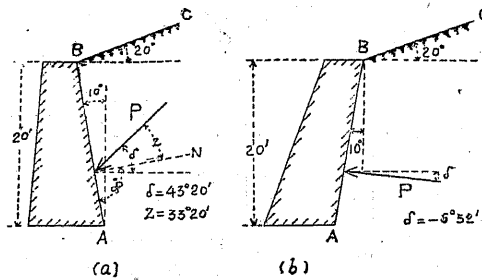
リテ求メ得ベキコト讀者ノ既ニ知レル處ナリ。

例題1. 第223圖(a)ニ於ケル如ク高サ $h=20$ 呎, 背面ノ傾斜角 $\alpha=10^\circ$ ナル擁壁アリ其ノ背後ニ於ケル土ノ重サ $w=100$ 吋, 息角

φ=45°, 基礎面傾斜角 $\theta=20^\circ$ ナルトキ P 及ビ δ ノ値ヲ求ム。

第二十表より $(L) = 1.081$, $(M) = 0.03$, $(N) = 1.099$, $(O) = 0.124$, $(P) = 0.174$, $(Q) = 0.985$, $(R) = 0.364$, 又第四表圖より $F(\theta, \phi) = 0.323$ ナルヲ以テ (40) 式 = 依ツテ

第 223 圖



$$\begin{aligned} P &= \frac{1}{2} wh^2(L) \sqrt{(M)+(N)\{F(\theta, \phi)\}^2+(O).R(\theta, \phi)} \\ &= \frac{1}{2} \times 100 \times 20^2 \times (1.081) \times \sqrt{0.030 + (1.099) \times (0.323)^2 + (0.124) \times (0.323)} \\ &= 20,000 \times 1.081 \times \sqrt{0.1817} = 9,290 \text{ 吨}. \end{aligned}$$

次 = (41) 式 = 依ツテ

$$\begin{aligned} \tan\delta &= \frac{(P)}{(Q)F(\theta, \phi)} + (R) = \frac{(0.174)}{(0.985) \times (0.323)} + (0.364) \\ &= 0.547 + 0.364 = 0.911 = \tan 43^\circ 20' \end{aligned}$$

即チ $\delta = 43^\circ 20'$.

若シ壁背ノ垂直線ト P トノ間ノ角ヲ z トスレバ

$$z = 43^\circ 20' - 10^\circ = 33^\circ 20'$$

例題 2. 第 223 圖 (b) = 於ケル如ク壁背ガ後方ニ傾キ α ガ -10° ナリ且 $\phi = 30^\circ$ ナル場合ニハ P 及ビ δ ノ大サ如何。

此ノ場合ノ如ク α ガ負ナルトキハ別ニ第二十表ニ相當スル α ノヲ作ルベキナリ。今本例題ニ對スル計算ヲ示セバ次ノ如シ。

$$(L) = \frac{\cos(\theta-\alpha)}{\cos^2\alpha \cdot \cos\theta} = \frac{\cos 30^\circ}{\cos^2 10^\circ \cdot \cos 20^\circ} = \frac{0.866}{0.9848^2 \times 0.9397} = 0.9503$$

$$(M) = \sin^2(-10^\circ) = 0.0301$$

$$(N) = \left\{ \frac{\cos(\theta-\alpha)}{\cos\theta} \right\}^2 = \left(\frac{\cos 30^\circ}{\cos 20^\circ} \right)^2 = \left(\frac{0.866}{0.9397} \right)^2 = 0.849$$

$$(O) = 2 \cdot \sin(-\alpha) \cdot \cos(\theta-\alpha) \cdot \tan\theta = 2 \times (-0.1737) \times 0.866 \times 0.364 = -0.1095$$

$$(P) = \sin(-\alpha) = \sin(-10^\circ) = -0.1737$$

$$(Q) = \cos(\theta-\alpha) = \cos 30^\circ = 0.866$$

又第四表圖ヨリ $F(\theta, \phi) = 0.414$

故 = (40) 式 = 依ツテ

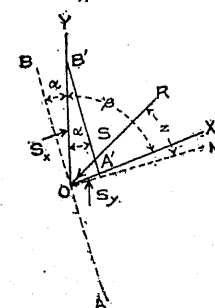
$$\begin{aligned} P &= \frac{1}{2} \times 100 \times 20^2 \times 0.9503 \times \sqrt{0.0301 + 0.849 \times 0.414^2 - 0.1095 \times 0.414} \\ &= 20,000 \times 0.9503 \times \sqrt{0.1305} = 6,871 \text{ 吨}. \end{aligned}$$

又 (41) 式 = 依ツテ

$$\tan\delta = \frac{-0.1737}{0.866 \times 0.414} + 0.364 = -0.1205$$

故 = $\delta = -6^\circ 52'$.

第 224 圖



72. 斜面ニ於ケル土壓力・別法
共軛應力ノ理論ヲ應用シテ P ノ大サ及ビ方向ヲ知ルヲ得。第 224 圖ニ於テ OX 及ビ OY 上ニ作用スル共軛應力度 S_y 及ビ S_x ガ既知ナルトキハ第三ノ平面 A'B' 上ニ作用スル應力度ハ容易ニ得ラルベシ(中卷第 70 乃至 72 節參照)。即チ求ムル應力度ヲ S トスレバ

$$S = \frac{OR}{A'B'} = \frac{1}{A'B'} \sqrt{(S_x OB')^2 + (S_y OA')^2 + 2(S_x OB')(S_y OA') \cos\beta}$$

然ルニ正弦比例ニヨリ

$$\frac{A'B'}{\sin\beta} = \frac{OA'}{\sin\alpha} = \frac{OB'}{\sin(\pi - \alpha - \beta)}$$

$$OA' = A'B' \frac{\sin\alpha}{\sin\beta}, OB' = A'B' \frac{\sin(\alpha + \beta)}{\sin\beta}$$

$$S = \sqrt{S_x^2 \frac{\sin^2(\alpha+\beta)}{\sin^2\beta} + S_y^2 \frac{\sin^2\alpha}{\sin^2\beta} + 2S_x S_y \sin(\alpha+\beta) \sin\alpha \cos\beta}$$

今 S_x, S_y 及ビ S チ夫々 p_x, p_y 及ビ p ト置ケバ

$$S_x = p_x = wy \cdot F(\theta, \phi), S_y = p_y = wy \cdot \cos\theta$$

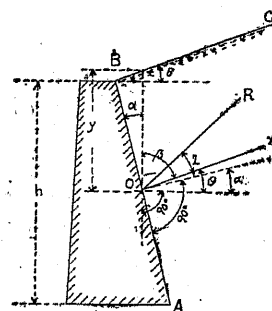
$$p = wy \sqrt{\frac{\sin^2(\alpha+\beta)}{\sin^2\beta} \{F(\theta, \phi)\}^2 + \frac{\sin^2\alpha}{\sin^2\beta} \cos^2\theta + 2F(\theta, \phi) \sin(\alpha+\beta) \sin\alpha \cos\theta}$$

然ルニ此ノ場合ニ於テハ $\beta+\theta=\frac{\pi}{2}$ 従ツテ $\sin\beta=\cos\theta$ ナルヲ以テ

$$p = wy \sqrt{\frac{\sin^2(\alpha+\beta)}{\sin^2\beta} \{F(\theta, \phi)\}^2 + \sin^2\alpha + 2\sin\alpha \sin(\alpha+\beta) \cot\beta \cdot F(\theta, \phi)}$$

第71節解法ニ於テ説明セル如ク第225圖ノA點ニ對シテ
ハ $y = h \cos(\theta-\alpha)/\cos\alpha \cos\theta$ ナルヲ以テAB面上ニ作用スル平均土
压力度ハ

第225圖



$$\frac{wh}{2} \frac{\cos(\theta-\alpha)}{\cos\alpha \cos\theta} \sqrt{\frac{\sin^2(\alpha+\beta)}{\sin^2\beta} \{F(\theta, \phi)\}^2 + \sin^2\alpha + 2\sin\alpha \sin(\alpha+\beta) \cot\beta \cdot F(\theta, \phi)}$$

故ニAB($=h/\cos\alpha$)面ニ作用スル全土压力ハ

$$P = \frac{wh^2}{2} \frac{\cos(\theta-\alpha)}{\cos^2\alpha \cos\theta} \sqrt{\frac{\sin^2(\alpha+\beta)}{\sin^2\beta} \{F(\theta, \phi)\}^2 + \sin^2\alpha + 2\sin\alpha \sin(\alpha+\beta) \cot\beta \cdot F(\theta, \phi)} \quad (42)$$

(42)式ト(32)式トナ比較スルニ β ト θ 及ビ $(\alpha+\beta)$ ト $(\theta-\alpha)$ トハ互
ニ餘角、從ツテ $\cot\beta=\tan\theta$, $\sin(\alpha+\beta)=\cos(\theta-\alpha)$ ナルヲ以テ兩式ノ全
同ジキコトナ知ルベシ。

地表面水平、即チ $\theta=0$ ナルトキハ從ツテ $\beta=90^\circ$ トナリ(42)式ハ
次ノ如クナル

$$P = wh^2 \sqrt{\tan^2\alpha + \left(\frac{1-\sin\phi}{1+\sin\phi}\right)^2}$$

是レ(37)式ト同様ナリ、此ノ場合ニ於テハ中巻(93a)式ニヨリ

$$\tan z = \frac{(p_y - p_x) \cos\alpha \sin\phi}{p_x \cos^2\alpha + p_y \sin^2\alpha}, p_x = wy \cdot \frac{1-\sin\phi}{1+\sin\phi},$$

$p_y = wy$ ナルヲ以テ

$$\tan z = \frac{\cos\alpha \sin\phi \left(1 - \frac{1-\sin\phi}{1+\sin\phi}\right)}{\sin^2\alpha + \cos^2\alpha \left(\frac{1-\sin\phi}{1+\sin\phi}\right)} = \frac{\sin 2\alpha \sin\phi}{1 - \cos 2\alpha \sin\phi} \quad (43)$$

(43)式ト(37)トナ比較スルニ

$$\delta = z + \alpha, \tan\delta = \frac{\tan z + \tan\alpha}{1 - \tan z \tan\alpha} = \frac{\sin\alpha + \sin\alpha \sin\phi}{\cos\alpha - \cos\alpha \sin\phi}$$

$$\text{即チ } \tan\delta = \tan\alpha \times \frac{1 + \sin\phi}{1 - \sin\phi}$$

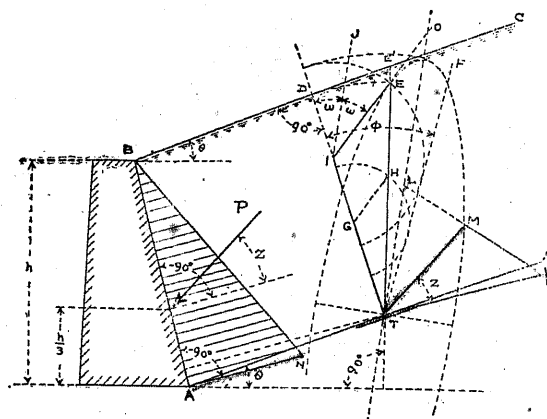
トナリ兩式ヨリ得ラル、土壓力方向一致スルコトナ知ルベ
シ。

73. 斜面ニ於ケル土壓力・圖式解法。

第一法。應力椭圓ノ理論ヲ應用シテ P ノ大サ及
ビ方向ヲ決定スル圖式解法ヲ次ニ示サシ(第226圖)。

地表面BCニ並行ニAA₁ヲ引キ其ノ上ノ任意ノ一
點Tニ於テAA₁ニ垂直ナル線TDヲ引キBCトDニ會
セシメTヲ通ズル鉛直線TEヲ引キTEヲTDニ等シ
カラシム。TDト中角ヲナス様TFヲ引キTD上ノ任
意ノ一點Gヲ中心トシテ TFニ切スル半圓ヲ書ガ
キTEトHニ會セシメ、HトGヲ連ネHGニ並行ニ

第 226 圖



Eヲ通ジテ EIヲ引キ EID 角ノ二等分線 IJヲ引キ, IJ
 ニ並行ニ Tヲ通ジテ TLヲ引キ, Tヲ通ジテ ABニ垂直
 ナル線 TKヲ引キ TKヲ TIニ等シカラシム。K
 ヲ中心トシ KTヲ半径トシテ 圓弧ヲ畫ガキ Lニ於
 テ TLニ會セシメ, Lト Kトヲ連ネ KL上ニ KMヲ取り
 IEニ等シカラシメ TMヲ結ブベシ。次ニ Aニ於テ
 ABニ垂直ナル線 ANノ長サヲ TMニ等シクシ Nト B
 トヲ連ヌベシ。然ルトキハ興ヘラレタル線尺度ヲ
 用ヒテ得ル $\triangle ABN$ の面積 = wヲ乘ジタルモノハ AB
 面(一単位長サノ)上ニ作用スル全土壓力ノ大サニシ
 テ其ノ方向ハ TMニ並行ニ其ノ働く點ハ Aヨリ $\frac{1}{3}$ ノ
 所ニアレバシ。

證明 第226圖ハ混雜ヲ避クル爲メA點ヲ假ニ $T = \text{移シテ作}$

圖セルモノナリ。中巻第77節=依ツテ TE \times AA₁ 平面上=作用スル合成應力度 TI \times $\frac{S_y + S_x}{2}$, IE \times $\frac{S_y - S_x}{2}$ =相當ス。而シテ IJ=並行=TO チ引ケバ是レ應力楕圓ノ長軸ノ方向チ表ハシ TI \times IE トハ之ト等角チナスベシ。若シ TI 及ビ IE ガ TO ト常ニ等角チナス様注意シツ、先ツ T チ原點トシテ TI チ迴轉シ次ニ移動シタル I チ原點トシテ IE チ迴轉スレバ E ハ應力楕圓ヲ畫ガクベシ斯クシテ T 點チ含ム或平面上ニ作用スル合成應力度ハ楕圓上ノ相當ノ一點ト T 點トチ連ネタル直線ニテ表ハサルベキナリ。然ルニ A 點ニ於テ地表面 BC=並行ナル平面ニ作用スル鉛直應力度ハ(24)式ニヨリ $w \times TE' \times \cos\theta$ ナルガ第226圖ノ圖式解法ニ於テ此ノ應力度ヲ表ハスベキ TE \times TE' $\cos\theta$ ナリ。即チ鉛直應力度チ wニテ除シタルモノト知ルベシ。然レバ TM \times w \times T チ通ジテ FK=垂直ナル面即チ AB 面中ノ A 點ニ於ケル應力度ヲ表ハスコト明ラカナリ。從ツテ \triangle ABN の面積ト w トノ乘積ハ AB 面上ニ作用スル全土應力度ノ大サナルチ知ルベシ。而シテ AB 面上ノ各點ニ作用スル土應力度ハスペテ TM=並行ナルチ以テ全土應力度モ亦 TM=並行ナルコト明ラカナリ。

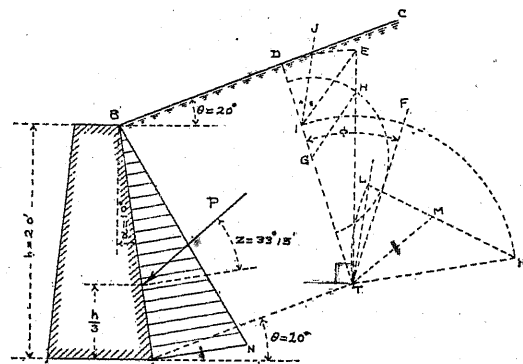
特別ノ場合 AB ガ鉛直面ナルトキハ TI ニ等シ
ク TK ヲ水平ニ引キ上叙ノ手續ヲ履ムバ TM ハ BC
ニ並行トナルベク, θ ガ零ナルトキハ TM ハ水平ト
ナルベシ. 讀者宜シク其ノ作圖ヲ試ムベシ.

例題 $h=20$ 呂, $\alpha=10^\circ$, $w=100$ 吋, $\phi=35^\circ$, $\theta=20^\circ$ ナルトキ P 及ビ 2 チ
圖式解法 = 依ツテ求メヨ.

第227圖ニ示セル如ク上述ノ圖式解法ニ依ツテ作圖ナスト
キハ全土壓力ノ大サヘ $\triangle ABN$ ノ面積 = 100 斯ナ乗ジタルモノニ
基シキナ以テ

$$P = \frac{AB \times AN}{2} \times 100 = \frac{20.3 \times 9.16}{2} \times 100 = 9,297 \text{ 听.}$$

第227圖



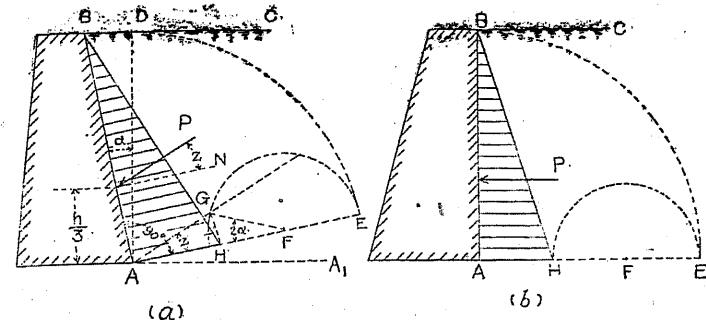
又ハ TM が AB の垂直線トナス角ナレバ之ヲ進尺附分度器ニテ測ルベシ。即チ

$$z = 33^{\circ}15'$$

此等ノ結果ヲ第71節例題1ノ結果ト比較スルニ少シク相違アリ。是レ圖式解法ニ於テ免ルベカラザル誤差ナリ。

第二法 第228圖(a)ニ於ケルガ如ク地表面水平ナルトキハ主要應力ノ理論ヲ應用シテ圖式的ニ P 及ビ z の値ヲ決定スルヲ得ベシ。先づ AB = AE の引キ之ヲ A 點ノ深サ y 即チ AD = 等シカラシメ。EF ヲ $\frac{y}{2}(1 - \frac{1 - \sin\phi}{1 + \sin\phi})$ = 等シク取リ F ヲ中心トシ EF の半径トシテ半圓ヲ畫ガキ角 AFG の 2α = 等シクシ。G ト A トヲ連ヌルトキハ AG ガ AB 面中ノ A 點ニ作用スル土壓力度ヲ表ハスベシ。AG = 等シク AH を取リ H ト B トヲ連ヌルトキハ與ヘラレタル線尺度ニテ度リタル $\triangle ABH$ の面積ニ w ヲ乘ジタルモノガ

第228圖



AB 面(一單位長サノ)ニ作用スル全土壓力ノ大サニシテ其方向ハ AG = 並行ナリ。而シテ働く點ハ A ヨリ $\frac{1}{3}$ AB の所ニアルベシ。

證明 中卷第77節ニ於テ(93)式ヨリ

$$\sin\theta = \frac{S_z}{S} = \frac{(S_y - S_x) \sin 2\alpha}{2S}$$

ナルナ以テ土壓力度ノ場合ニ於テハ p ナ A 點ニ於ケル壓力度トスレバ

$$\sin z = \frac{p_y - p_x \sin 2\alpha}{2p}$$

$$\text{即チ } p = \frac{p_y - p_x}{2} \frac{\sin 2\alpha}{\sin z}$$

ナ得。今 $\triangle AFG$ = 於テ正弦比例ニヨリ

$$\frac{AG}{\sin 2\alpha} = \frac{FG}{\sin z}, \text{ 即チ } AG = FG \frac{\sin 2\alpha}{\sin z}$$

トナル。EF (=FG) $\neq \frac{p_y - p_x}{2}$ ト假定スレバ

$$AG = \frac{p_y - p_x}{2} \frac{\sin 2\alpha}{\sin z} = p$$

ナルモ實際ハ AB 面上ノ一點 A = 於ケル鉛直壓力度 w_y 之ト共

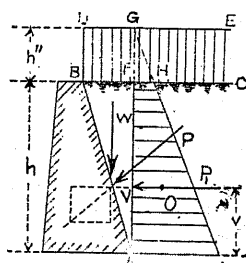
輒ニシテ、地表面ニ並行ナル圧力度ハ $wy \cdot \frac{1-\sin\phi}{1+\sin\phi}$ ナリ。
 依ツテ $\frac{p_y - p_x}{2} = \frac{wy}{2} \left(1 - \frac{1-\sin\phi}{1+\sin\phi}\right)$ ナリ。然ルニ此ノ作圖ニ於テハ
 $\frac{wy}{2} \left(1 - \frac{1-\sin\phi}{1+\sin\phi}\right) + w =$ テ除シタルモノナキ EF トシ y チ AE トセル
 故 AG $\propto \frac{p}{w}$ チ表ハスコトナル。従ツテ $\triangle ABH$ ノ面積ト w トノ
 乘積ハ AB 面上ニ作用スル全土壓力ノ大サナルコト明ラカナリ。

若シ地表面ガ水平ニシテ且壁背ガ鉛直ナルトキハ $\alpha=0$ ナル
ナ以テ第223圖(b)ニ示セラ如ク

AE=AB, EF=FH = $\frac{h}{2} \left(1 - \frac{1-\sin\phi}{1+\sin\phi}\right)$, 即 $\neq AH=h \cdot \frac{1-\sin\phi}{1+\sin\phi}$
 トナルヲ以テ全土圧力ハ $\Delta ABH \times w = \frac{1}{2}wh^2 \frac{1-\sin\phi}{1+\sin\phi}$ トナリ (31) 式ト
 一致ス.

74. 地表面上ニ荷重アル場合ノ土壓力 地表面
水平ニシテ其ノ上ニ建設セラレタル家屋其ノ他ノ
構造物アルカ又ハ道路鐵道等ガ敷設セラルトキ
ハ最大全荷重ヲ取リテ之ヲ等布荷重ニ換算シ其ノ
荷重度ヲ求メ之ニ相當スル丈ケノ土ヲ積ミ上ゲタ
ルモノト見做シテ土壓力ヲ計算スルヲ常トス。

第 229 題



第 229 圖ニ於テ h'' ニテ示セル
 ハ即チ荷重ト同ジ重量ヲ有ス
 ベキ土ノ高サヲ表ハシ之ヲ換
 算荷重高(Height of Reduced Load)
 ト稱ス。此ノ場合一般ニ用ヰ
 ラル、解法ハ A ヨリ鉛直線
 AFG ヲ引キ AF 上ニ作用スル
 之ト ABDG ノ土ノ重量 W トノ合

成力 P_2 求ムルニアリ。而シテ P_1 ノ大サヲ知ルニハ(31)式ニ依リテ AG 及ビ FG 上ニ作用スル土壓力ヲ計算シ其ノ差ヲ求ムベシ。即チ

$$P_1 = \frac{1}{2} w \cdot \frac{1 - \sin \phi}{1 + \sin \phi} \{ (h + h'')^2 - h''^2 \} \\ = \frac{1}{2} w \cdot \frac{1 - \sin \phi}{1 + \sin \phi} \cdot h(h + 2h'') \dots \dots \dots (44)$$

次に P_1 の働く点 V を求めるには F 点より x 方向下の
タル点の土压力係数 $w \frac{1-\sin\phi}{1+\sin\phi} (x+h'')$ なるを以て dx
なる部分の働く土压力 dP_1 をスレバ

$$dP_1 = w \frac{1 - \sin \phi}{1 + \sin \phi} (x + h'') dx$$

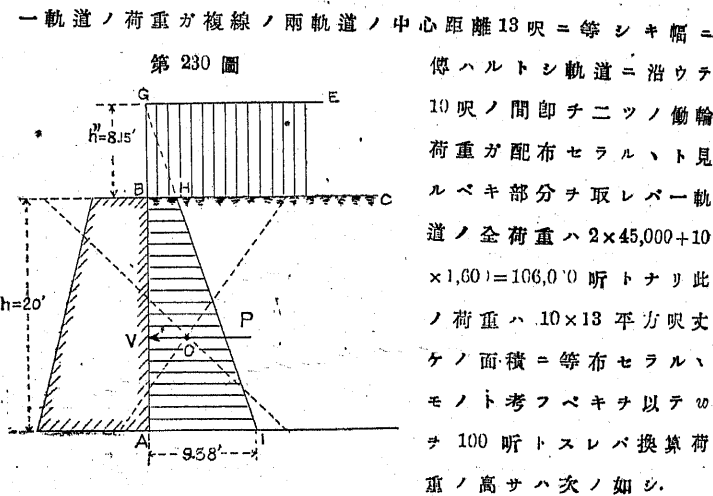
F點ニ對スル dP_1 ノ力率即チ $dP_1 \times x$ ヲ 0 ヨリ h マ
デ積分シテ之ヲ全土壓力ニテ除スルトキハ F 級
リ全土壓力ノ働點マデノ距離 FV ヲ得ベシ。即チ

圖式的ニ動點ヲ求ムルニハ(28)式ニテ表ハサレク

ル p_a ヲ w ニテ除シタルモノ即チ $y \frac{1-\sin\phi}{1+\sin\phi}$ ノ値ヲ算出シ第229圖ニ示セル如ク之ニ等シク AI ヲ取リ (h, h') 等ヲ度リタルト同一ノ線尺度ニテ) I ト G トヲ連ヌレバ AF 上ニ作用スル全土壓力ハ面積 AFHI ト w トノ乘積ニ等シカルベキナリ。而シテ梯形 AFHI の重心 O ヲ求メ O ヲ通ジテ水平線ヲ引キ AF ト V = 变ハラシムレバ是レ AF 上ニ於ケル P_1 ノ働點ナリ。

地表面 BC ガ或傾斜ヲナセル場合モ同様ニシテ容易ニ之ヲ解クヲ得ベシ。讀者宜シク之ヲ試ムベシ。

例題 第230圖ニ示セル如ク高サ $h=20$ 呪、鉛直背面ナ有スル擁壁アリ。水平地表面上ニ廣軌複線鐵道ガ敷設セラレタル場合ニ於ケル全土壓力及ビ其ノ働點ノ位置ヲ求メヨ。但シ動荷重ハく一氏標準荷重 E-45 トシ軌道重量(道床ノ重量ヲ含ム)ナ 1,600 听每呪トス。

一軌道ノ荷重ガ複線ノ兩軌道ノ中心距離 13 呪ニ等シキ幅ニ
第230圖


$$\frac{106,000}{10 \times 13} = 815 \text{ 听}, \text{即チ } h = \frac{815}{100} = 8.15 \text{ 呪}.$$

$\phi=30^\circ$ トスレバ (44)式ニリテ

$$P = \frac{1}{2} \times 10 \times \frac{1}{3} \times 20 \times (20 + 2 \times 8.15) = 12,100 \text{ 听}.$$

是レ求ム全土壓力ノ大サナリ。又(45)式ヨリ

$$v = \left(1 + \frac{8.15}{20 + 2 \times 8.15}\right) \times \frac{20}{3} = 8.16 \text{ 呪}$$

即チ P ノ働點ハ壁底ヨリ 8.16 呪ノ所ニアリ。

次 $= AI \times y \frac{1-\sin\phi}{1+\sin\phi} = 28.15 \times \frac{1}{3} = 9.38 \text{ 呪} =$ 等シク取リ I ト G トヲ連ネ面積 ABHI ナ圖上ニテ求ムレバ 120.9 平方呪トナルヲ以テ

$$P = 100 \times 120.9 = 12,090 \text{ 听}$$

又 ABHI の重心 O ナ圖上ニテ求ムレバ O 點ハ壁底ヨリ 8.1 呪ノ所ニアリ。

75. 受働的土壓力 擁壁ノ安定 = 受働的土壓力ヲ利用セラルハ一二ノ場合ヲ考ヘントス。

第231圖ニ於テ擁壁ガ將ニ基礎底面 EF = 沿ウテ摺動セントスルトキハ底面ノ摩擦ニ依リテ抵抗セ

第231圖

ラル、ノミナラズ擁壁埋設部ノ前方ニ於ケル土ノ受働的壓力ニ依リテ抵抗セラルモノトス。今基礎底面 EF ノ深サヲ y' トシ壁面ヲ鉛直ナリトスレバ横土壓力度ト鉛直土壓力度ノ比ハ(25)式ヨリ

20+8.15

$$\frac{p_x'}{p_y'} = \frac{\cos\theta + \sqrt{\cos^2\theta - \cos^2\phi}}{\cos\theta - \sqrt{\cos^2\theta - \cos^2\phi}} \quad (a)$$

分子ニ於テ(+)ヲ取リ分母ニ於テ(-)ヲ取リタルハ
横土壓力ハ壁面ヨリ壓セラレテ起リ鉛直土壓力ハ
横土壓力ノ共軛壓力タルヲ以テ前者ガ原因ニシテ
後者ガ結果トナル。從ツテ前者ハ後者ヨリ大ニシ
テ其ノ比ガ1ヨリ大トナルベケレバナリ。

地面ガ水平ナルトキハ(a)式ハ次ノ如クナル

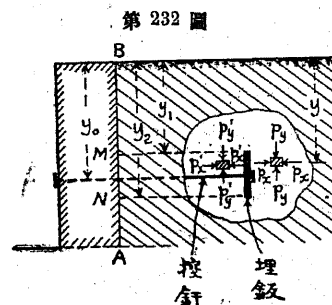
$$\frac{p_x'}{p_y'} = \frac{1+\sin\phi}{1-\sin\phi},$$

$$p_x' = p_y' \frac{1+\sin\phi}{1-\sin\phi} = w y' \frac{1+\sin\phi}{1-\sin\phi} \quad (b)$$

故ニ此ノ場合ニ於ケル全受働的土壓力ヲQトス
レバ

$$Q = \frac{1}{2} w y'^2 \frac{1+\sin\phi}{1-\sin\phi} \quad (46)$$

第232圖ニ示ス如ク土中ニ埋飯(Imbedded Plate)ヲ



埋設シ控釘(Land Tie)=
テ之ヲ擁壁ニ連結スレ
バ擁壁ガ將ニ前方ニ動
カントスルトキハ埋飯
ハ前方ニ引カレントス。
從ツテ埋飯ハ受働的土

壓力ヲ受ケ擁壁ノ安定ヲ増スベキナリ。此ノ場合ニ

於テモ前ト同様ニ p_x' ガ原因トナリ p_y' ガ結果タル
ヲ以テ

$$p_x' = w y \frac{1+\sin\phi}{1-\sin\phi}$$

次ニ飯ノ後方ニ於テ飯ニ作用スル土壓力度ハ(28)式
ニヨリ

$$p_x = w y \frac{1-\sin\phi}{1+\sin\phi}$$

故ニ埋飯ガ擁壁ノ安定ノ補助トシテ負擔シ得ベキ
土壓力度ハ p_x' ト p_x トノ差ナルベシ。即チ

$$p_x' - p_x = w y \left\{ \frac{1+\sin\phi}{1-\sin\phi} - \frac{1-\sin\phi}{1+\sin\phi} \right\}$$

$$= w y \frac{4\sin\phi}{1-\sin^2\phi} = w y \frac{4\sin\phi}{\cos^2\phi} \quad (c)$$

今 H =單位長サノ奥行ヲ有スル埋飯ガ負擔スペ
キ全土壓力,

y_1 =地表面ヨリ埋飯ノ上端マデノ深サ,

y_2 =地表面ヨリ埋飯ノ下端マデノ深サ,

y_0 =地表面ヨリ埋飯ノ壓力中心(即チ控釘取附
點)マデノ深サ

トスレバ

$$H = \int_{y_1}^{y_2} w y \frac{4\sin\phi}{\cos^2\phi} dy = w \frac{4\sin\phi}{\cos^2\phi} \left[\frac{y^2}{2} \right]_{y_1}^{y_2}$$

$$\therefore H = 2w(y_2^2 - y_1^2) \frac{\sin\phi}{\cos^2\phi} \quad (47)$$

次ニ或深サ y = 於テ埋鉢ガ受クル土壓力ノ力率ヲ算出シ y_1 ヨリ y_2 マテ積分シテ之ヲ全土壓力且ニテ除スルトキハ y_0 ノ値ガ得ラルベシ、即チ(c)及ビ(47式ヨリ

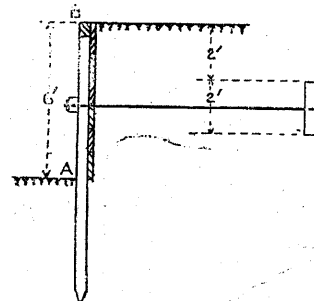
例題1. 第231圖 = 於テ $y=4$ 叱トスレバ此ノ擁壁ガ前方ニ播動セント・スルトキノ受働的土壓力ノ大サ何程ナルカ。但シ $w=100$ 吼、 $\phi=30^\circ$ トス。

(46) 式 ヨリ

$$Q_1 = \frac{1}{2} \times 100 \times 4^2 \times \frac{1.5}{0.5} = 2,400 \text{ 听.}$$

例題2. 第233圖=示セル如ク高サ6呪ノ盛土ヲ直立堰板ニ

第 233 圖



テ支へ其ノ外面ニ3呪毎ニ杭ヲ
打チ地表面以下2呪ノ深サニ高
サ2呪幅 $\frac{1}{4}$ 呪ノ埋飯ヲ埋設スル
トキハ一本ノ杭ノ受クル土壓力
一枚ノ埋飯ガ負擔シ得ベキ抵抗
力、及ビ控鉤取附點ノ位置ヲ求ム

但シ $w=100$ 真, $\phi=30^\circ$ トス

(31)式 = 依ヅテ

$$P = \frac{1}{2}wy^2 \frac{1-\sin\phi}{1+\sin\phi} = \frac{1}{2} \times 100 \times 6^2 \times \frac{1}{3} = 600 \text{ 吨.}$$

故一本ノ杭ノ受クル土壓力ハ $3 \times 600 = 1,800$ 吨。

次 = (47) 式 ヨ リ

$$H = 2v(y_2^2 - y_1^2) \frac{\sin \phi}{\cos^2 \phi} = 2 \times 100 \times (4^2 - 2^2) \times \frac{0.5}{0.75} \\ = 200 \times 12 \times \frac{2}{3} = 1,600 \text{ 听.}$$

故一枚ノ銛ノ負擔シ得ベキ抵抗力ハ $1,600 \times \frac{3}{4}$ 即チ 1,200 吋ナ

尙控釘ノ取附點ノ位置 = 就テハ(48)式ヨリ

$$y_0 = \frac{2}{3} \times \frac{y_2^3 - y_1^3}{y_2^2 - y_1^2} = \frac{2}{3} \times \frac{64 - 8}{16 - 4} = \frac{2}{3} \times \frac{56}{12} = 3.11 \text{ 呎}$$

76. 土ノ支持力 第234圖ニ示セル如ク地中ニ埋
没セル一建築物ノ基礎底面 EF = 接セル土 M = 上
部ヨリ加ハル最大壓力度ヲ p_0 トスレバ之ト共軛ナ
ル壓力度 p_x' ハ同シ深サニアル土 N = 於テ p_x' ト平衡
ヲ保ツベキ壓力度 p_x ガ有シ得ル最大値マデ增加セ
ラル、モ建築物ノ安定及ビ土ノ平衡ハ維持セラル
ベシ。即チ次ノ關係ガ成立セザルベカラズ。

第 234 回

$$p_x' \leq (p_x + \text{最大值})$$

若シ p_x' ガ此ノ極限ヲ超
過スレバ築造物ハ沈下
シ周圍ノ土ハ隆起スペ
キナリ。サテ p_0 ハ自働
的ニシテ p_x' ハ受働的ナ
レバ兩者ノ比ハ(25)式
ヨリ

$$\frac{p_0}{p_x} = \frac{\cos\theta + \sqrt{\cos^2\theta - \cos^2\phi}}{\cos\theta - \sqrt{\cos^2\theta - \cos^2\phi}} \quad \dots \dots \dots (a)$$

而シテ又 p_x ハ自働的ニシテ p_y ハ受働的ナレバ兩者ノ比ハ

$$\frac{p_x}{p_y} = \frac{\cos\theta + \sqrt{\cos^2\theta - \cos^2\phi}}{\cos\theta - \sqrt{\cos^2\theta - \cos^2\phi}} \quad (b)$$

(a), (b)二式ヲ相乗スレバ

$$\frac{p_0 \cdot p_x}{p_x' \cdot p_y} = \left(\frac{\cos\theta + \sqrt{\cos^2\theta - \cos^2\phi}}{\cos\theta - \sqrt{\cos^2\theta - \cos^2\phi}} \right)^2 \quad (c)$$

然ルニ建築物ガ將ニ沈下セントスルトキハ $p_x' = p_x$ ナルベキヲ以テ (c)式ハ次ノ如クナルベシ。

$$\frac{p_0}{p_y} = \left(\frac{\cos\theta + \sqrt{\cos^2\theta - \cos^2\phi}}{\cos\theta - \sqrt{\cos^2\theta - \cos^2\phi}} \right)^2$$

然ルニ $p_y = wy \cdot \cos\theta$ ナルヲ以テ

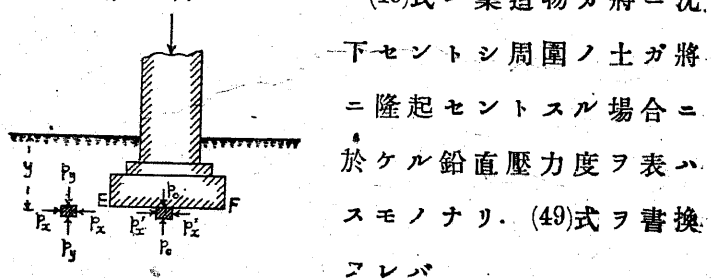
$$p_0 = wy \cdot \cos\theta \left(\frac{\cos\theta + \sqrt{\cos^2\theta - \cos^2\phi}}{\cos\theta - \sqrt{\cos^2\theta - \cos^2\phi}} \right)^2 \quad (d)$$

(a) 地表面水平ニシテ壓力度 p_0 ガ均等ナル場合

(第235圖参照) (d)式ヨリ

$$p_0 = wy \left(\frac{1 + \sin\phi}{1 - \sin\phi} \right)^2 \quad (49)$$

第235圖



(49)式ハ建築物ガ將ニ沈

下セントシ周圍ノ土ガ將
ニ隆起セントスル場合ニ
於ケル鉛直壓力度ヲ表ハ
スモノナリ。 (49)式ヲ書換
フレバ

$$y = \frac{p_0}{w} \left(\frac{1 - \sin\phi}{1 + \sin\phi} \right)^2 \quad (50)$$

(50)式ガ與フル y ハ建築物ノ安定及ビ土ノ平衡ヲ保ツ爲メニ建築物ヲ埋没スペキ最小ノ深サヲ表ハスモノナリ。

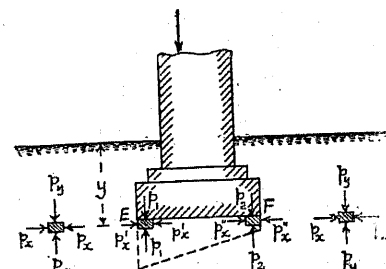
(b) 地表面水平ニシテ壓力度 p_0 ガ均等ニ變化スル

第236圖

場合 第236圖ニ示セル

如ク鉛直壓力度ガ p_1 ヨリ p_2 マデ均等ニ變化スルトキハ前同様ニシテ

一般ニ



$$p_1 \leq wy \left(\frac{1 + \sin\phi}{1 - \sin\phi} \right)^2 \quad (51)$$

次ニ同ジ深サ y ニ於ケル土ノ水平壓力度ノ最小値
ハ次式ニテ表ハサル。

$$p_x = wy \frac{1 - \sin\phi}{1 + \sin\phi}$$

平衡ヲ保ツ爲メニハ鉛直壓力度 p_2 ヨリ生ズル水
平壓力度 p_x'' ハ p_x ヨリ小ナルコト能ハズ。即チ一般
ニ

$$p_x'' \geq p_x$$

p_x'' ガ自働的ニシテ p_2 ガ受働的ナルトキノ p_x ノ最
小値ハ次式ニヨリテ與ヘラル。

$$\frac{p_2}{p_x''} = \frac{1 - \sin\phi}{1 + \sin\phi}, \quad p_2 = p_x'' \frac{1 - \sin\phi}{1 + \sin\phi}$$

然 $\nu = p_x^n = p_x = wy \frac{1 - \sin\phi}{1 + \sin\phi}$ ナルヲ以テ

(52) 式ハ鉛直圧力度 p_2 ノ極限値ヲ表ハスモノナリ。換言スレバ y 丈ケノ深サニ埋没セラレタル築造物ガ推シ上グラレザル爲メニハ p_2 ガ(52)式ニテ與ヘラル、値ヨリモ大ナルヲ要ス。

(52) 式ヲ書キ換フレバ

$$y = \frac{p_2}{w} \left(\frac{1 + \sin \phi}{1 - \sin \phi} \right)^2 \dots \dots \dots \quad (53)$$

(53) 式ノ y ハ築造物ガ安定ヲ保チ得ベキ最大限
深サヲ表ハスモノナリ。

(c) 築造物ノ前後ノ地表面共ニ水平ニシテ高サヲ
 異ニセル場合(第237圖) 築造物基礎底面ノ前端E
 ニ於ケル鉛直圧力度ヲ p_1 トシ後端Fニ於ケル鉛直圧
 力度ヲ p_2 トスレバ (b) の場合ト同様ナル推論ニ依ツ
 テ次ノ如キ結果ヲ得ベシ。

$$\begin{aligned} p_1 &\leq wy \left(\frac{1 + \sin \phi}{1 - \sin \phi} \right)^2 \\ p_2 &\geq wy' \left(\frac{1 - \sin \phi}{1 + \sin \phi} \right)^2 \end{aligned} \quad \dots \dots \dots \quad (54)$$

從 ツ テ

$$y' \geq \frac{p}{w} \left(\frac{1 - \sin \phi}{1 + \sin \phi} \right)^2, \quad y'' \leq \frac{p_2}{w} \left(\frac{1 + \sin \phi}{1 - \sin \phi} \right)^2. \quad (55)$$

第28圖

場合ニ於ケルト同様ニシテ之ヲ定ムルヲ得。即チ
 w_1 ヲ築堤上ノ荷重度トシ w_2 ヲ築堤用ノ土ノ単位容
 積ノ重量トスレバ(49)式ヨリ

$$p_0 = w_1 + w_2(h+y) = wy \left(\frac{1+\sin\phi}{1-\sin\phi} \right)^2$$

但シ根据ノ兩側ノ法ヲシテ中ニ等シカラシムべきナリ。

土ノ支持力ノ計算ヲナスニ當リ $\left(\frac{1+\sin\phi}{1-\sin\phi}\right)^2$ 及ビ
 $\left(\frac{1-\sin\phi}{1+\sin\phi}\right)^2$ ヲ一々計算スルハ甚ダ煩ハシキヲ以テ第
 二十一表ニ示セル如ク中ノ値 0° 乃至 45° ニ對シ豫メ
 此等ノ値ヲ計算シ置キテ之ヲ使用スルヲ便トス。

第二十一表

ϕ	$(\frac{1+\sin\phi}{1-\sin\phi})^2$	$(\frac{1-\sin\phi}{1+\sin\phi})^2$	ϕ	$(\frac{1+\sin\phi}{1-\sin\phi})^2$	$(\frac{1-\sin\phi}{1+\sin\phi})^2$
0°	1.000	1.000	23	5.215	0.192
1	1.073	0.925	24	5.626	0.177
2	1.151	0.870	25	6.075	0.165
3	1.234	0.812	26	6.554	0.153
4	1.320	0.757	27	7.086	0.141
5	1.416	0.704	28	7.673	0.130
6	1.518	0.656	29	8.317	0.120
7	1.631	0.613	30	9.000	0.111
8	1.750	0.570	31	9.734	0.102
9	1.880	0.531	32	10.598	0.094
10	2.019	0.496	33	11.514	0.087
11	2.164	0.461	34	12.520	0.080
12	2.326	0.430	35	13.604	0.073
13	2.496	0.399	36	14.862	0.068
14	2.687	0.372	37	16.200	0.062
15	2.883	0.346	38	17.665	0.057
16	3.105	0.321	39	19.340	0.052
17	3.332	0.300	40	21.160	0.047
18	3.583	0.280	41	23.197	0.043
19	3.864	0.258	42	25.456	0.039
20	4.158	0.240	43	27.984	0.036
21	4.484	0.223	44	30.803	0.032
22	4.838	0.208	45	33.966	0.029

例題 第235圖 = 示セル如キ均等断面4呎×4呎、高サ20呎ノ石工築造物ノ下 = 石工脚層(厚サ1呎、底面6呎×6呎)及ビ混凝土基礎脚層(厚サ3呎、底面9呎×9呎)アリ。上部 = 10噸ノ荷重が加ハルトキ埋没部ノ深サyヲ6呎トスレバ基礎底面直下ノ土ノ支持力ハ十分ナルカ。但シ石工ノ重量160斤每立方呎、混凝土ノ重量140斤每立方呎、土ノ重量100斤每立方呎。 $\phi=25^\circ$ トス。

先づ基礎底面以上ノ總重量ヲ求ムレバ

$$\begin{aligned} & \text{荷重} + (\text{石工重量}) + (\text{基礎脚層重量}) + (\text{脚層上ノ土ノ重量}) \\ & = 10 \times 2,000 + (4 \times 4 \times 20 + 6 \times 6 \times 1) \times 160 + 9 \times 9 \times 3 \times 140 \\ & + \{(6 \times 6 - 4 \times 4) \times 2 + (9 \times 9 - 6 \times 6) \times 3\} \times 100 \\ & = 20,000 + 56,960 + 34,020 + 17,500 = 128,480 \text{ 斤} \end{aligned}$$

基礎底面 = 加ヘル鉛直圧力度ハ

$$128,480 \div (9 \times 9) = 1,587 \text{ 斤每平方呎}$$

然ル = (49)式及ビ第二十一表 = 依ツテ土ノ支持力ハ

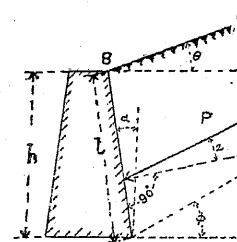
$$P_0 = 100 \times 6 \times 6.075 = 3,645 \text{ 斤每平方呎}$$

故ニ此ノ場合ニ於ケル安全率ハ $3,645 \div 1,587 = 2.3$ = 相當ス。

77. ブーしねすく氏土壓論 ブーしねすく氏ハ土砂ノ特質ニ關シテ獨特ノ假説ヲ立テ擁壁背面ト土トノ間ノ摩擦ガ土壓力 = 影響ヲ及ボス狀態ハ壁背ヨリノ距離ニヨリテ異ナルコトヲ指摘シ一一種ノ土壓論ヲ導致セリ。然レドモ其ノ解説極メテ複雑ニシテ難解ナレバ唯普通ノ場合ニ適用セラルベキ公式ヲ

茲記セントス[柴田工學博士譯地壓論(工學會誌第241, 244, 251, 254, 262, 266ノ六卷附錄參照)]

第239圖



第239圖 = 示セル如キ場合ニ於テブーしねすく氏ハ壁背ABニ作用スル全土壓力ヲ次ノ式ニテ表ハセリ。但シハ壁背ノ長サトス。

$$P = \frac{1}{2} w l^2 K = \frac{1}{2} w \cdot \frac{h^2}{2} \cos^2 \alpha \cdot K$$

$z=\phi$ ナル場合ノKノ値ハ

$$K = \tan\left(\frac{\pi}{4} - \frac{\phi}{2}\right) \frac{\cos\psi \cdot \cos(\phi + \delta) \cdot \cos(\theta - \alpha)}{\cos(\phi - \delta) \cdot \cos(\theta + \psi)}$$

此ノ式ニ於テ ψ 及ビ δ ハ次ノ關係ヲ有スルニツノ角ナリトス。

$$\sin(\theta + 2\psi) = \frac{\sin\theta}{\sin\phi}$$

$$\delta = \frac{\pi}{4} - \frac{\phi}{2} - \psi - \alpha$$

若シ地表面水平ニシテ壁背鉛直ナルトキハ $\theta = 0, \alpha = 0$ ナルヲ以テ

$$\sin(\theta + 2\psi) = \sin 2\psi = 0, \text{ 即 } \psi = 0$$

$$\delta = \frac{\pi}{4} - \frac{\phi}{2}$$

$$K = \tan\left(\frac{\pi}{4} - \frac{\phi}{2}\right) \frac{\cos\left(\phi + \frac{\pi}{4} - \frac{\phi}{2}\right)}{\cos\left(\phi - \frac{\pi}{4} + \frac{\phi}{2}\right)} = \tan^2\left(\frac{\pi}{4} - \frac{\phi}{2}\right)$$

$$\therefore P = \frac{1}{2}wh^2 \tan^2\left(\frac{\pi}{4} - \frac{\phi}{2}\right) = \frac{1}{2}wh^2 \frac{1 - \sin\phi}{1 + \sin\phi}$$

是ニ由ツテ見レバ P ハらんきん氏公式ヨリ得ラル、モノト等ナルモ其ノ方向ハ壁背ノ垂直線トナル角ナス。

若シ地表面ノ傾斜ガ天然傾斜ニ等シクシテ壁背ガ鉛直ナルトキハ $\theta = \phi$, $\alpha = 0$ トナルヲ以テ

$$\sin(\theta + 2\psi) = \sin(\phi + 2\psi) = 1$$

$$\therefore \phi + 2\psi = 90^\circ, \text{ 即チ } \psi = \frac{\pi}{4} - \frac{\phi}{2}$$

$$\delta = \frac{\pi}{4} - \frac{\phi}{2} - \psi - \alpha = 0$$

$$K = \tan\psi \frac{\cos\psi \cdot \cos\phi \cdot \cos\phi}{\cos\phi \cdot \cos(\phi + \psi)} = \cos\phi$$

$$\therefore P = \frac{1}{2}wh^2 \cos\phi$$

此ノ場合ニハ P ノ大サ及ビ方向共ニらんきん氏公式ヨリ得ラル、モノト一致ス。

第三章

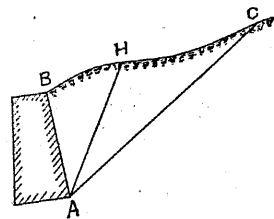
破壊面ニ基ヅケル土圧論

(Theories of Earth Pressure based on
Plane of Rupture).

78. 緒説 第240圖ニ於ケル如ク土ノ崩壊ヲ防グ
爲メニ擁壁ガ設置セラル、トキハ土ハ實際崩壊ス
ルコトナクトモ或面 AH ニ沿ウテ摺動セントスル

傾向ヲ有スルモノニシテ爲メニ AB 面ニ或壓力ヲ及ボスベシ。是レ即チ擁壁ニ作用スル土壓力ナリ。

第240圖



此ノ土壓ハ破壊面ニ沿ウテ摺動セントスル傾向ノ大小ト土塊ノ重量ノ大小トニヨリテ増減スペキコト明ラカナリ。若シ破壊面 AH ガ天然傾斜面 AC ト一致セルモノトセバ摺動ノ傾向ナク AH ガ AC ヨリ遠ザカリ次第ニ AB ニ近ヅクニ從ツテ摺動ノ傾向ヲ増スベキナリ。然ルニ面積 ABH ガ大ナル程土塊ノ重量モ大トナルヲ以テ最大土壓力ヲ生ズベキ破壊面 AH ハ AB ヨリ成ルベク遠ザカルト同時ニ AC ヨリモ成ルベク遠ザカレルモノナラザルベカラズ。此ノ條件ガ適合スペキ場合ヲ見出シ土壓力ノ大サ其ノ方向及ビ働く點ヲ求ムルヲ以テ本章ノ主眼トス。尤モ以上述ベタル處ハ自働的土壓力ニ關セルモノナルガ受働く土壓力ニ就テモ略同様ノ推論ヲナスヲ得ベシ。

以下説明上統一フ計ル爲メ作圖及ビ公式ニ使用スル符號ノ主要ナルモノヲ一括シテ此ニ掲グ置シトス。

P 全土壓力(自働的)。

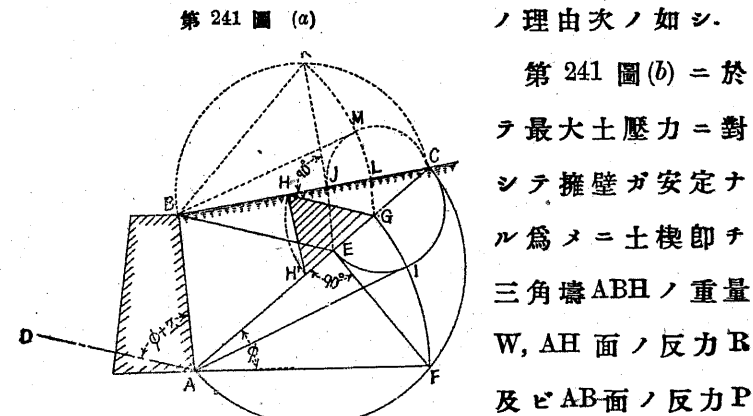
- Q..... „ (受働的).
 R..... 破壊面ニ於ケル反力.
 W..... 土楔ノ總重量.
 w..... 土ノ單位容積ノ重量.
 z..... 擁壁背ノ垂直線トPトノ間ノ角.
 φ..... 土ノ息角.
 φ'..... 擁壁背面ト土トノ間ノ摩擦角(又ハ息角).
 θ..... 地表面ノ傾斜角.
 α..... 擁壁背ト鉛直線トノ間ノ角.
 β..... 破壊面ト擁壁背トノ間ノ角.
 γ..... „ ガ水平トナス角.
 ω..... „ ト鉛直線トノ間ノ角.

79. 破壊面ヲ求ムル法. 地表面ガ平面ナルカ, 曲面ナルカ又ハ不規則ナル凹凸面ナルカニ依リテ破壊面ヲ求ムル解法ニ多少ノ相違アリ. 就中地表面ガ一平面ニシテ水平ナルカ或ハ上下ニ多少ノ傾斜ヲ有スル場合最モ普通ナルヲ以テ先づ最初ニ此ノ場合ニ就テ述べ順次他ノ場合ニ及ボサントス.

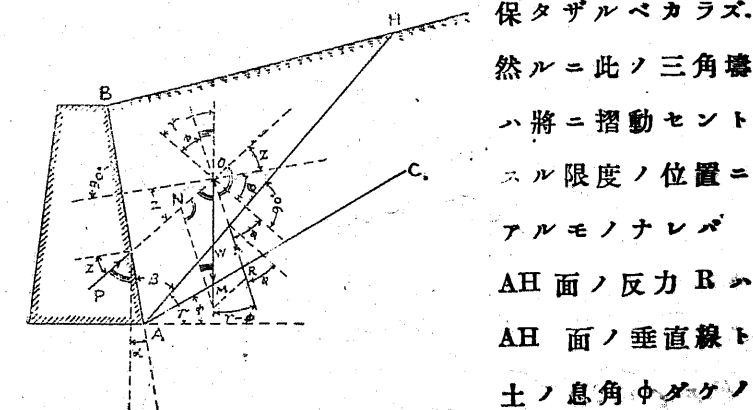
[A] 地表面ガ平面ナル場合

第一法. 天然傾斜線ACヲ基線トシテノ解法. 第241圖(a)ニ示セル如ク先づA點ヲ通ジテABト($\phi+z$)ナル角ヲナス直線ADヲ引クベシ之ヲ準線(Directrix)

ト謂フ. ADニ並行=BEヲ引キ天然傾斜線ACトEニ會セシメ AC及ビ AEノ比例中項ニ相當スル AG(= $\sqrt{AC \times AE}$)ヲ求メ G點ヨリ準線ニ並行=GHヲ引キ BCトHニ會セシム. 然レバ AトHトヲ連ネタル線ハ即チ求ムル破壊面ヲ表ハス直線ナリ. 其ノ理由次ノ如シ.



第241圖(a)



第241圖(b)ニ於テ最大土壓力ニ對シテ擁壁ガ安定ナル爲メニ土楔即チ三角墻ABHノ重量W, AH面ノ反力R及ビAB面ノ反力Pナル三力ガ平衡ヲ保タザルベカラズ. 然ルニ此ノ三角墻ハ將ニ摺動セントスル限度ノ位置ニアルモノナレバ AH面ノ反力Rハ AH面ノ垂直線ト土ノ息角中ダケノ

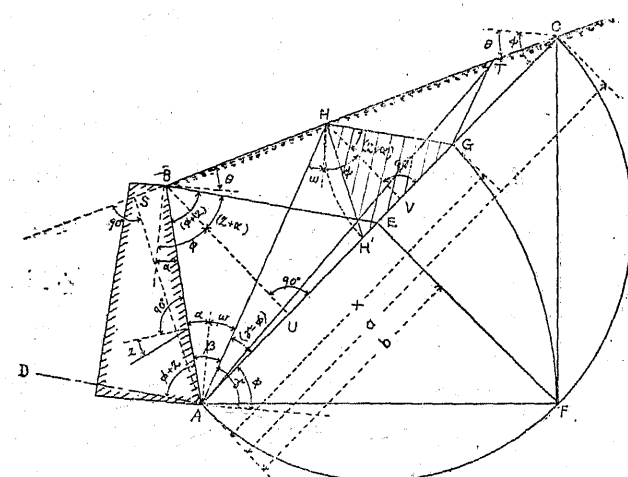
角ヲナスベシ。又AB面ニ於テ反力Pガ此ノ面ノ垂直線トナス角ヲ α トス。

今 AH の重量 W が OM にて表わし、 P 及び R が夫々 ON 及び MN にて表わせば $\triangle OMN$ は於て正弦比例ニヨリ

$$\frac{ON}{OM} = \frac{P}{W} = \frac{\sin OMN}{\sin ONM} = \frac{\sin(\gamma - \phi)}{\sin(\phi + \beta + z)} \dots\dots\dots (a)$$

然ルニ $W = \frac{1}{2}w.AS.BH$ [第 241 圖 (c) ノ見ヨ] ナルヲ以テ (a) 式 = 此ノ値ヲ代入スレバ

第 241 圖 (c)



$$P = \frac{1}{2} w \cdot A.S.B.H \cdot \frac{\sin(\gamma - \phi)}{\sin(\phi + \beta + z)}$$

然ル = 第 241 圖 (c) / $\triangle AHG$ = 於 ヲ 正弦比例ニヨリ

$$\frac{HG}{AG} = \frac{\sin HAG}{\sin AHG} = \frac{\sin(\gamma - \phi)}{\sin(\phi + \beta + z)}$$

$$\therefore P = \frac{1}{2} w \cdot A.S.B.H. \cdot \frac{H.G.}{A.G.} \dots \dots \dots (b)$$

$\triangle BEC$ ト $\triangle HGC$ トハ相似ナルヲ以テ

$$BH = BC \cdot \frac{EG}{EC}, \quad HG = GC \cdot \frac{BE}{EC}$$

(b) 式ニ此等ノ値ヲ代入シテ

$$P = \frac{1}{2} w \cdot AS \cdot BC \cdot \frac{EG}{EC} \cdot \frac{GC \cdot BE}{AG \cdot EC}$$

(c) 式ノ括弧内ノ項ハ AH ノ位置ニ無關係ナルガ
故ニ P ガ最大値ヲ有スル爲メニハ $\frac{EG \cdot GC}{AG}$ ノ値ガ最
大ナラザルベカラズ.

今 $AG = x$, $AC = a$, $AE = b$ トスレバ

$$\frac{\text{EG.GC}}{\text{AG}} = \frac{(x-b)(a-x)}{x} = a + b - \frac{ab}{x} - x$$

此ノ式ヲ x ニ就テ微分シ之ヲ零ト置ケバ此ノ式ノ
値ヲ最大ナラシムベキ x の値ヲ得ベシ。即チ

$$\frac{d(a+b-\frac{ab}{x}-x)}{dx} = \frac{ab}{x^2} - 1 = 0,$$

$$x = \sqrt{ab}, \text{ 即 } \tau \cdot AG = \sqrt{AC \times AE}$$

是ヲ以テ見レバ AH ガ P ヲ最大ナラシムベキ破壊

面タルニハ AG ガ AC 及ビ AE ノ比例中項ナルヲ要ス。

上叙ノ條件ヲ満タスベキ G 點ヲ求ムルニハ第 241 圖(c)ニ示セル如ク E 點ニ於テ AC = 垂直線ヲ引キ AC ヲ直徑トセル半圓ト F ニ交ハラシメ AF = 等シク AG ヲ取ルベシ。然ルトキハ直角三角形 AFC ノ一邊 AF ハ AC ト AE トノ比例中項ナルヲ以テ此ノ如クシテ定メタル G 點ハ即チ求ムル點ナリトス。又別法トシテ第 241 圖(a)ニ示セル如ク EC ヲ直徑トシテ半圓ヲ畫ガキ A ョリ切線 AI ヲ引ケバ AI ハ AC 及ビ AE ノ比例中項トナルヲ以テ AI = 等シク AG ヲ取レバ G 點ガ求メラルベキナリ。

第 241 圖(c)ニ於テ AH = 並行 = GT ヲ引キ BC ト T = 會セシムルトキハ

$$\frac{HT}{HC} = \frac{AG}{AC}, \text{ 即チ } HT = \frac{HC \cdot AG}{AC} \dots\dots\dots\dots (d)$$

BE + HG トハ並行ナルヲ以テ

$$\frac{BH}{HC} = \frac{EG}{GC}, \text{ 即チ } BH = \frac{HC \cdot EG}{GC} \dots\dots\dots\dots (e)$$

△AEF 及ビ △AFC ハ相似ナルヲ以テ

$$\frac{AE}{AG} = \frac{AG}{AC}, \frac{AG - AE}{AG} = \frac{AC - AG}{AC}, \text{ 即チ } \frac{EG}{GC} = \frac{AG}{AC}$$

故ニ此ノ値ヲ(e)式ニ代入スレバ

$$BH = \frac{HC \cdot AG}{AC} \dots\dots\dots\dots (f)$$

(d) 及ビ (f) 式ノ右項ハ相等シキヲ以テ $HT = BH$, 従ツテ $\triangle ABH$ ノ面積ハ $\triangle AHT$ ノ面積ニ等シク, $\triangle AHG$ ノ面積ハ $\triangle AHT$ ノ面積ニ等シキガ故ニ $\triangle ABH$ ノ面積ハ $\triangle AHG$ ノ面積ニ等シ。即チ AH ハ ABHG ナル面積ヲ二等分スルコトヲ知ル。

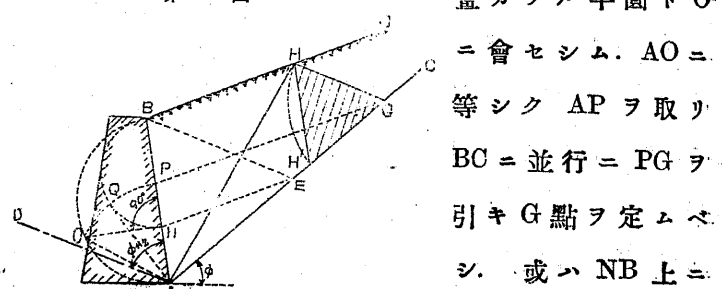
第一法ハ地表線 BC ト天然傾斜線 AC トノ交點 C ガ壁背ヨリ餘リ遠カラザル場合ニ使用セラル、モノトス。

第二法、地表線 BC ヲ基線トシテノ解法、第 241 圖(a)ニ於テ AD = 並行 = BE ヲ引キ E ョリ AB = 並行ニ EJ ヲ引キ BC ト J = 會セシメ J 點ニ於テ BC = 垂直ニ JK ヲ引キ BC ヲ直徑トシテ畫ガキタル半圓ト K = 會セシメ BK = 等シク BL ヲ取リ L ョリ AB = 並行ニ LG ヲ引キ AC ト G = 會セシム。然ルトキハ $BL = \sqrt{EJ \times BC}$, 従ツテ $AG = \sqrt{AE \times AC}$ ナル關係ガ成リ立チ G ハ第一法ノ場合ニ於ケル同一ノ點ナルコト明ラカナリ。或ハ JC ヲ直徑トシテ半圓ヲ畫ガキ切線 BM ヲ引キテ BM = 等シク BL ヲ取リ L 點ヲ求ムルモ可ナリ。G 點ヲ求メテヨリ後ハ第一法ニ於ケルト同様ナリトス。

第二法ハ第一法ト同様ノ場合ニ用キラル、モノトス。

第三法. 壁背ABヲ基線トシテノ解法 第242圖ニ
於テ準線AD=並行ニBEヲ引キEヨリCBニ並行ニ
ENヲ引キ,Nニ於テABニ垂直線NOヲ立テAB上ニ

第242圖

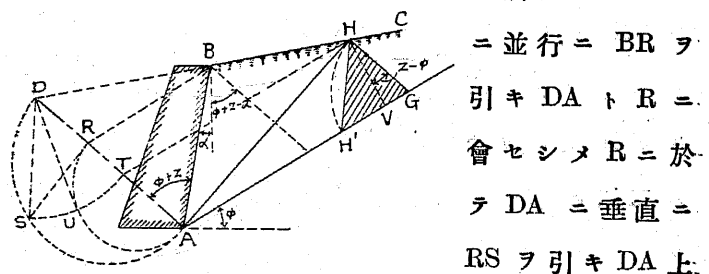


半圓ヲ畫ガキAヨリ切線AQヲ引キAQニ等シクAP
ヲAB上ニ取リBCニ並行ニPGヲ引キテG點ヲ求ム
ルモ可ナリ. 夫ヨリ後ハ第一法ト同様ノ手續ヲ履
ムベシ.

第三法ハC點ガ壁背ヨリ遠ザカレル場合ニ便利
ナリ.

第四法. 準線ADヲ基線トシテノ解法 第243圖

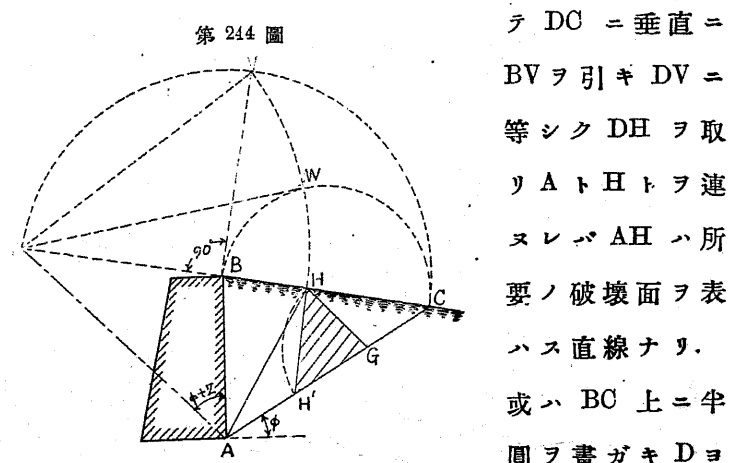
第243圖



ニ畫ガキタル半圓トSニ交ハラシメDSニ等シク
DTヲ取リACニ並行ニTHヲ引キBCトHニ會セシ
ムレバAHハ求ムル破壊面ヲ表ハス直線ナリ. 其
理由ハ圖上ニテ明ラカナルベシ. 或ハAR上ニ半
圓ヲ畫ガキDヨリ切線DUヲ引キDUニ等シクDT
ヲ取リACニ並行ニTHヲ引クモ可ナリ.

第四法ハD點ガ近キトキニミ適用セラルモ
ノトス.

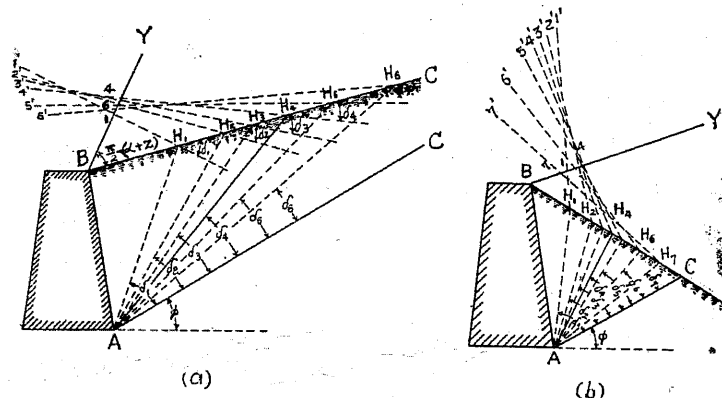
第五法. 地表線及ビ其ノ延長線ヲ基線トシテノ
解法 第244圖ニ於テDC上ニ半圓ヲ畫ガキBニ於
テDCニ垂直ニ



BVヲ引キDVニ等シクDHヲ取リAトHヲ連
ヌレバAHハ所
要ノ破壊面ヲ表
ハス直線ナリ.
或ハBC上ニ半
圓ヲ畫ガキDヨ
リ切線DWヲ引キDWニ等シクDHヲ取リテH點ヲ
求ムルモ可ナリ. DCガ餘リ大トナラザル場合ニ
ハ第五法ハ他法ニ比シ簡単ナリ.

第六法 角ニヨル試解法 第245圖(a)及(b)ニ於テBC上ニ任意 $=H_1, H_2, H_3$ 等ヲ取り之トAトヲ連レバ多數ノ線 AH_1, AH_2, AH_3 等ヲ得ベシ。此ノ中何レガPノ値ヲ最大ナラシムベキ破壊面ナルカヲ決定スルヲ本方法ノ目的トス。今此等ノ線トACトノ間ノ角ヲ夫々 $\delta_1, \delta_2, \delta_3$ 等トス。 H_1, H_2, H_3 等ニ於テ夫々BCト此等ノ角ヲナヤル直線 $B1', B2', B3'$ 等ヲ引キ別ニ $BC + \frac{\pi}{2} - (\alpha + z)$ ナル角ヲナス様引キタル直線BYト $1, 2, 3$ 等ニ於テ交ハラシムベシ然ルトキハ $\triangle ABH_1, \triangle ABH_2, \triangle ABH_3$ 等ハ何レモABヲ共通底邊ト

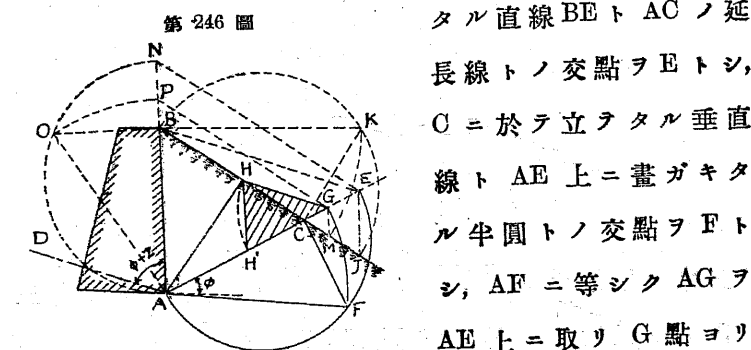
第245圖



スルガ故ニ其ノ面積 $= BH_1, BH_2, BH_3$ 等ニ正比例スベシ。即チ BH_1, BH_2, BH_3 等ヲ以テ各三角形ノ面積從ツテ壁背ト破壊面トノ間ノ土楔ノ重量 W_1, W_2, W_3 等

ヲ表ハサシムルヲ得ベシ。又第241圖(b)ニ依ツテPトWトノ間ノ角ハ $\frac{\pi}{2} - (\alpha + z)$ ニ等シク且ツWトRトノ間ノ角ハ $\angle HAC =$ 等シキヲ以テ $\triangle BH_1, \triangle BH_2, \triangle BH_3$ 等ハ夫々破壊面 AH_1, AH_2, AH_3 等ニ對スルW, R, Pノ力ノ三角形ト見ルヲ得ベシ。即チ $B1, B2, B3$ 等ハWヲ BH_1, BH_2, BH_3 等ニテ表ハシタルト同ジ縮尺ニテ夫々土壓力Pノ値ヲ表ハスト考フルヲ得ベシ。故ニPノ値ガ最大ナル如キ破壊面ハBY上ノ截片(Intercept)ヲ最大ナラシムモノタルベキヤ明ラカナリ。乃チ上述ノ場合ニ於テハ AH_4 ガ求ムル破壊面ヲ表ハス直線ナリ。

特別ノ場合 地表面ガ甚ダシク下方ニ傾斜セルトキハ上記第六ノ試解法ニ依ルノ外直チニ通常ノ方法ヲ適用スル能ハザルコトアリ。此ノ場合ニハ第246圖ニ示セル如クBヨリ準線ADニ並行ニ引キ



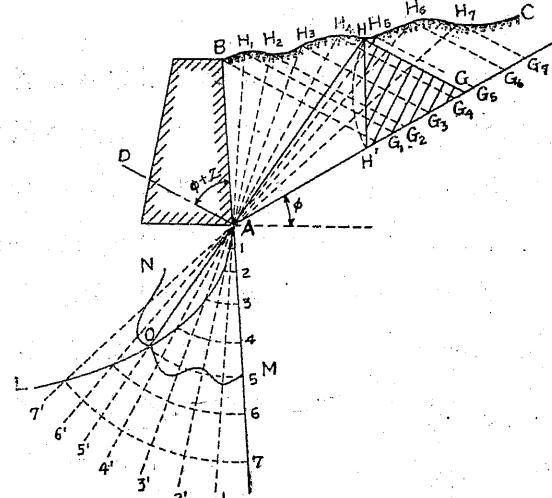
タル直線BEトACノ延長線トノ交點ヲEトシ、Cニ於テ立タル垂直線トAE上ニ畫ガキタル半圓トノ交點ヲFトシ、AFニ等シクAGヲAE上ニ取りG點ヨリ

$AD = \text{並行} \equiv GH$ ヲ引キ BC ト H ニ會セシムレバ
 $AG = \sqrt{AE \times AC}$ 且 $\triangle ABH$ 及ビ $\triangle AHG$ の面積相等シカ
ルベキヲ以テ AH ハ即チ求ムル破壊面ヲ表ハス直
線ナリ。又ハ BC 或ハ AB ヲ基線トシ破線ニテ示セ
ル如ク作圖ヲナスモ可ナリ。若シ BC ガ $AD = \text{並行}$
ナルトキハ二點 G 及ビ C ハ一致スペキヲ以テ BC ハ
 H ニ於テ二等分セラルコト明ラカナリ。

[B] 地表面が不規則ナル曲面ヨリ成レル場合

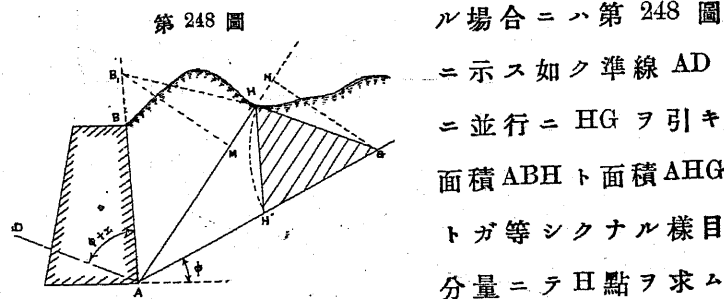
此場合ニハ第247圖ニ示セル如ク BH_1, H_1H_2, H_2H_3 等ガ

第247圖



直線上見做サレ從ツテ ABH_1, AH_1H_2, AH_2H_3 等ガ各三
角形ト見做サレ得ル様 H_1, H_2, H_3 等ノ諸點ヲ BC 上

ニ選ブベシ。此等ノ三角形ノ面積 a_1, a_2, a_3 等ヲ計算
シ之ヲ適當ノ縮尺ニテ BA ノ延長線 AY 上ニ取り
 $a_1 = A1, a_2 = A2, a_3 = A3$ 等トス。而シテ $A1, A2, A3$ 等ニ等
シキ長サヲ夫々 H_1A, H_2A, H_3A 等ノ延長線 $A1', A2',$
 $A3'$ 等ノ上ニ取り其ノ端ヲ連ヌレバ曲線 AOL ヲ得
又準線 $AD = \text{並行} = H_1G_1, H_2G_2, H_3G_3$ 等ヲ引キ $\triangle AH_1G_1,$
 $\triangle AH_2G_2, \triangle AH_3G_3$ 等ノ面積ヲ算出シ之ヲ前同様ノ縮
尺ニテ夫々 $A1', A2', A3'$ 等ノ上ニ取り其ノ端ヲ連ヌレ
バ曲線 MON ヲ得。此等ノ二曲線ノ交點 O ト A トヲ
連ネ之ヲ延長シテ H ニ於テ BC ニ會セシムベシ。然
ルトキハ作圖ニ依リ AO ハ $\triangle AHG$ の面積ヲ或縮尺ニ
テ表ハシタルモノナルト同時ニ又面積 ABH ヲ同ジ
縮尺ニテ表ハシタルモノタルヲ以テ ABH ト $\triangle AHG$
トハ等シク從ツテ AH ハ $ABHG$ ナル面積ヲ二等分
スル直線ナルコトヲ知ル。即チ AH ハ求ムル破壊
面ヲ表ハス直線ナリ。若シ正確ナル結果ヲ要セザ
ル場合ニハ第248圖

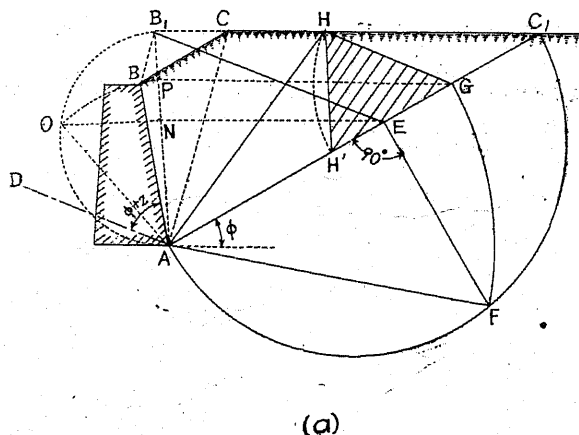


ニ示ス如ク準線 AD
ニ並行ニ HG ヲ引キ
面積 ABH ト面積 AHG
トガ等シクナル様目
分量ニテ H 點ヲ求ム

ル 可ナリ。ABH 及ビ AHG ノ兩面積ヲ比較スル便法ハ ABHニ等シキ面積ノ三角形例ヘバ AB₁H ヲ目分量ニテ假定シ AH ヲ共通底邊トセル △AB₁H 及ビ △AHG ノ高サ B₁M 及ビ GN ガ等シキヤ否ヤヲ検スルニアリ。斯クシテ二三回繰返セバ H 點ハ決定セラルベシ。

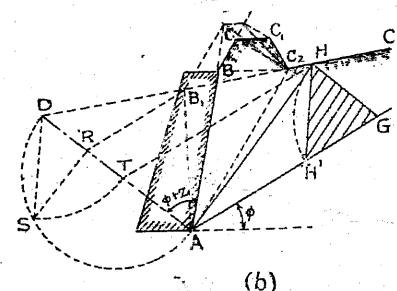
[C] 地表面ガニツ以上ノ平面ヨリ成レル場合 地表面ガ第249圖(a), (b), (c)ニ表ハセル如クニツ以上ノ平面ヨリ成レルトキハ破壊面ガ何レノ部分ニ交ハルカニヨリテ作圖ニ多少ノ相違アリ. 先づ(a)圖ニ於テハ丑點ハ $C_1 C$ 间ニアルベキコトヲ推測シ得ルヲ以テ $\triangle ABC$ ヲ $C_1 C$ の延長線上ニ一邊ヲ有スル等面積ノ三角形 $AB_1 C$ = 變化スルヲ要ス. 然ル後 [A]ニ於ケ設

第 249 圖



明セル如キ手續ニヨリテ AH ヲ決定スペシ、即チ
AC₁ ヲ基線トスルトキハ B₁ ヨリ準線 AD = 並行ニ
B₁E ヲ引キ E = 於テ AC₁ = 垂直ニ EF ヲ引キ AC₁ 上ニ
畫ガキタル半圓ト F = 會セシメ AF = 等シク AG ヲ
取リ G ヨリ AD = 並行ニ GH ヲ引キ CC₁ ト H = 會セシ
ムレバ AH ガ求ムル破壊面ヲ表ハス直線ナリ。若
シ地表線ト天然傾斜線トノ交點ガ比較的遠キニア
ルトキハ AB₁ ヲ基線トスルヲ便トス。即チ B₁ ヨリ
AD = 並行ニ B₁E ヲ引キ E ヨリ C₁B₁ = 並行ニ EN ヲ引
キ N 點ニ於テ垂直線ヲ立テ AB₁ 上ニ畫ガキタル半
圓ト O = 會セシメ AO ヲ連ネ AO = 等シク AP ヲ取リ
P ヨリ B₁C₁ = 並行ニ PG ヲ引キ天然傾斜線ト G = 會
セシメ G ヨリ AD = 並行ニ GH ヲ引キ CC₁ ト H = 會セ
ムレバ AH ガ即チ求ムル破壊面ヲ表ハス線ナリ。

次 = 第 249 圖 (b)

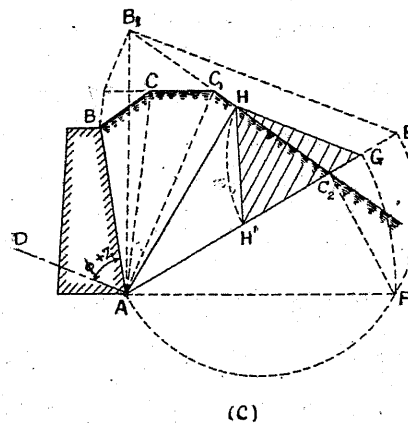


推測セラルヽヲ以テ
 面積 $ABCC_1C_2$ ヲ C_3C_2 ノ
 延長線上ニ一邊ヲ有
 スル等積ノ三角形
 ABC_1 ニ變化シ然ル後
 [A]ニ於テ説明セル如
 キ手續ニ依リテ AH

ヲ決定スペシ, 圖ニ示セル如キ場合ニ於テハ準線
AD ヲ基線トスルヲ便トス. 若シ AH ガ C_2C_3 ト會セ
ズシテ H ガ C_2 ノ左方ニ來ルトキハ第 249 圖(c)ニ示ス
如クスペシ.

第249圖(c)ニ於テハH點ハC₁C₂間ニアルベント推

第 249 圖



80. 土壓力ノ大サ

[A] 地表面上ニ荷重ナキ場合 第241圖(c)ニ於テ
 $GH =$ 等シク GH' ヲ取リ H ト H' ヲ連ヌレバ $\triangle GHH'$
 ヲ得ベシ。是レ所謂土壓力三角形 (Earth Pressure
 Triangle)ニシテ線尺度ヲ用キテ此ノ面積ヲ求メ之ニ
 わラ乘ジタルモノガ單位長サヲ有スル壁背ABニ作用
 スル土壓力ノ値ナリ、其ノ理由次ノ如シ。

$AG = \sqrt{ab}$ ナルヲ以テ第79節(c)式ニ於テ

$$\frac{\text{EG.GC}}{\text{AG}} = \frac{(\sqrt{ab} - b)(a - \sqrt{ab})}{\sqrt{ab}} = \left(1 - \frac{b}{\sqrt{ab}}\right)(a - \sqrt{ab}) = \frac{(a - \sqrt{ab})^2}{a}$$

会 B 及ビ H ョリ AC = 垂直 = BU 及ビ HV ヲ引クトキ

$$AS \cdot BC = AC \cdot BU = AC \cdot BE \cdot \cos EBU$$

故 = (a) 式ハ次ノ如クナル

$$P = \frac{1}{2} w \cdot \cos EBU \left(\frac{BE}{EC} \right)^2 (a - \sqrt{ab})^2 \dots \dots \dots (b)$$

$$\text{然 } \nu = \frac{\text{BE}}{\text{EC}} = \frac{\text{HG}}{\text{GC}}, \quad a - \sqrt{ab} = \text{GC},$$

$$\text{故} = \left(\frac{BE}{EC}\right)^2(a - \sqrt{ab})^2 = \left(\frac{HG}{GC}\right)^2 \cdot \overline{GC}^2 = \overline{HG}$$

$$\text{即 } \neq P = \frac{1}{2}w \cdot \cos(z + \alpha) \cdot \overline{HG}^2$$

$$= \frac{1}{2} w \cdot HG \cdot HG \cdot \cos(z + \alpha) = \frac{1}{2} w \cdot HG \cdot HV$$

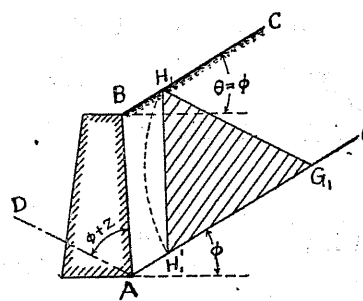
$$\equiv w \times \Delta \text{GHH}$$

壁背ガ後方ニ傾キ α ガ $-\alpha$ トナルトキ $\propto \cos(z+\alpha) + \cos(z-\alpha)$ トナル.

第241圖乃至249圖ニ於テ陰線ヲ施セル三角形ハ
何レモ上述ノ手續ニヨリテ畫ケルモノナリ。特別
ノ場合トシテ第250圖ノ如ク $\theta = \phi$ ナルトキハ C ハ無
限ノ遠距離ニアリテ前陳ノ方法ニテ破壊面ヲ求ム

アル得ザルモ土壓力三角形ハ容易ニ之ヲ畫ガクヲ
得ベシ。即チ其ノ三角形ノ一邊タルベキ GH 線ハ

第 250 圖



其ノ所在ノ如何ヲ問
ハズ準線 AD = 並行
ニシテ BC, AC ナルニ
並行線間 = 限ラル、
ヲ以テ任意ノ一點 G₁
ヨリ AD = 並行 = G₁H₁
ヲ引キ G₁H₁ = 等シク

G₁H₁'ヲ取レバ △G₁H₁H₁'ハ此ノ場合ノ土壓力三角形
トナルベシ。

又第 241 圖(b) = 於テ W, P 及ビ R の平衡條件ヲ基
礎トシテ △OMN = 相似ナル三角形ヲ畫ガキ P を求
メ得ベシ。即チ第 251 圖 = 於ケル如ク ABH の面積ヲ

第 251 圖

度リテ W の計算シ之ヲ適當ナル縮尺
ニテ 鉛直線上 = 取リ其ノ兩端ヨリ
 $\frac{\pi}{2} - (z + \alpha)$ 及ビ $(\gamma - \phi)$ の角ヲナシテニ
直線ヲ引キ同ジ縮尺ニテ度リタル P
ハ即チ求ムル土壓力ノ値ナリ。

土壓力ヲ表ハス公式 第 241 圖(c)
ニ於テ EC = a - b ナルヲ以テ (b) 式ハ次ノ如クナル。

$$P = \frac{1}{2} w \cdot \cos EBU \cdot (BE)^2 \cdot \left(\frac{a - \sqrt{ab}}{a - b} \right)^2 \quad (c)$$

然ルニ

$$\frac{a - \sqrt{ab}}{a - b} = \frac{1}{1 + \sqrt{\frac{b}{a}}} = \frac{1}{1 + \sqrt{\frac{AE}{AC}}} \quad (d)$$

今 △AEB = 於テ 正弦比例ニヨリ

$$\frac{AE}{AB} = \frac{\sin ABE}{\sin AEB} = \frac{\sin(\phi + z)}{\sin\left\{\frac{\pi}{2} - (z + \alpha)\right\}} = \frac{\sin(\phi + z)}{\cos(z + \alpha)}$$

又 △ABC = 於テモ 同様ニ

$$\frac{AB}{AC} = \frac{\sin ACB}{\sin ABC} = \frac{\sin(\phi - \theta)}{\sin\left(\frac{\pi}{2} - \alpha + \theta\right)} = \frac{\sin(\phi - \theta)}{\cos(\alpha - \theta)}$$

故ニ $\sqrt{\frac{AE}{AC}} = n$ トスレバ

$$n = \sqrt{\frac{AE}{AB} \cdot \frac{AB}{AC}} = \sqrt{\frac{\sin(\phi + z) \cdot \sin(\phi - \theta)}{\cos(z + \alpha) \cdot \cos(\alpha - \theta)}} \quad (e)$$

尚 △BEA = 於テ

$$\frac{BE}{AB} = \frac{\sin BAE}{\sin AEB} = \frac{\sin\left(\frac{\pi}{2} - \phi + \alpha\right)}{\sin\left\{\frac{\pi}{2} - (z + \alpha)\right\}} = \frac{\cos(\phi - \alpha)}{\cos(z + \alpha)}$$

$$\text{故ニ } BE = \frac{h}{\cos\alpha} \cdot \frac{\cos(\phi - \alpha)}{\cos(z + \alpha)} \quad (f)$$

$$\text{而シテ } \cos EBU = \cos(z + \alpha) \quad (g)$$

(c) 式 = (d), (e), (f), (g) 式ノ値ヲ代入スレバ

$$P = \frac{1}{2} w \cos(z+\alpha) \cdot \frac{h^2}{\cos^2 \alpha} \left\{ \frac{\cos(\phi-\alpha)}{\cos(z+\alpha)} \right\}^2 \frac{1}{(1+n)^2}$$

$$\therefore P = \frac{1}{2} w h^2 \left\{ \frac{\cos(\phi-\alpha)}{(1+n) \cos \alpha} \right\}^2 \frac{1}{\cos(z+\alpha)} \quad (57)$$

但シ $n = \sqrt{\frac{\sin(\phi+z) \sin(\phi-\theta)}{\cos(z+\alpha) \cos(\alpha-\theta)}}$

是レ即チ求ムル公式ニシテわいらうひ氏一般公式ト同形ナリ。

又第243圖ニ示セル如ク擁壁ガ後方ニ傾斜スルトキハ(57)式中ノ α ノ符號ヲ變更セザルベカラズ。乃チPヲ表ハス公式ハ次ノ如クナルベシ。

$$P = \frac{1}{2} w h^2 \left\{ \frac{\cos(\phi+\alpha)}{(1+n) \cos \alpha} \right\}^2 \frac{1}{\cos(z-\alpha)}$$

$$n = \sqrt{\frac{\sin(\phi+z) \sin(\phi-\theta)}{\cos(z-\alpha) \cos(\alpha+\theta)}} \quad (58)$$

特別ノ場合 (a) $\alpha=0, z=0$ ナルトキハ

$$n = \sqrt{\frac{\sin(\phi+\theta) \sin(\phi-\theta)}{\cos^2 \theta}} = \frac{\sqrt{\cos^2 \theta - \cos^2 \phi}}{\cos \theta}$$

$$P = \frac{1}{2} w h^2 \cdot \frac{\cos^2 \phi \cos \theta}{(\cos \theta + \sqrt{\cos^2 \theta - \cos^2 \phi})^2}$$

然ルニ

$$\cos^2 \phi = (\cos \theta + \sqrt{\cos^2 \theta - \cos^2 \phi}) \times (\cos \theta - \sqrt{\cos^2 \theta - \cos^2 \phi})$$

$$\therefore P = \frac{1}{2} w h^2 \cos \theta \cdot \frac{\cos \theta - \sqrt{\cos^2 \theta - \cos^2 \phi}}{\cos \theta + \sqrt{\cos^2 \theta - \cos^2 \phi}}$$

是レらんきん氏一般公式ト同形ナリ。

(b) $\alpha=0, \theta=\phi=z$ ナルトキハ

$$P = \frac{1}{2} w h \cos \phi$$

此ノ式モ亦らんきん氏公式ノ特別ノ場合ニ於ケルモノト同形ナリ。

(c) $\alpha=0, \theta=0, z=0$ ナルトキハ

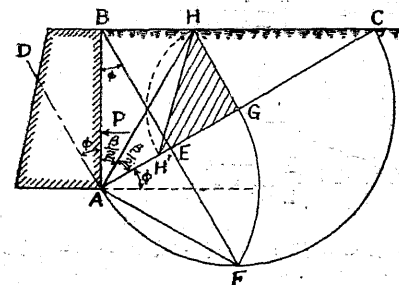
$$P = \frac{1}{2} w h^2 \cdot \frac{1 - \sin^2 \phi}{(1 + \sin \phi)^2} = \frac{1}{2} w h^2 \cdot \frac{1 - \sin \phi}{1 + \sin \phi}$$

$$= \frac{1}{2} w h^2 \tan^2 \left(\frac{\pi}{4} - \frac{\phi}{2} \right)$$

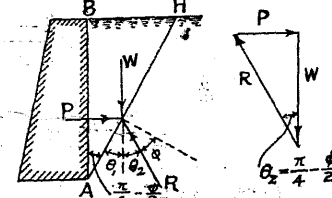
此ノ式ノ前ノ形ハらんきん氏公式後ノ形ハくろむ氏公式ト稱セラルハモノト同形ナリ。くろむ氏公式ハ圖上ヨリ直接ニ導致スルコトヲ得ベシ。

即チ第252圖ニ於テ第241圖(a)ニ於ケルト同様ノ作圖ヲナセバ $\overline{AG}^2 = AE \cdot AC$ ニシテ $BE \wedge AC = \text{垂直ナル}$ ヲ以テ $\overline{AB}^2 = AE \cdot AC$, 從ツテ $AG = AB$ トナリ $\triangle ABH$ ト $\triangle AHG$ トハ相等シク, $\angle BAH = \angle GAH = \frac{\pi}{4} - \frac{\phi}{2}$ ナルヲ

第252圖



第253圖



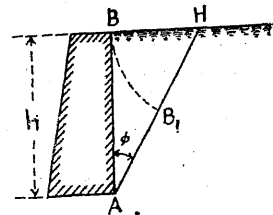
知ル。即チ破壊面ハ $\angle BAC$ ヲ二等分ス。然レバ第 253 圖ニ示セル如ク

$$P = W \tan\left(\frac{\pi}{4} - \frac{\phi}{2}\right)$$

而シテ $W = \frac{1}{2}w.BH.AB = \frac{1}{2}w.h.h \tan\left(\frac{\pi}{4} - \frac{\phi}{2}\right)$

$$\therefore P = \frac{1}{2}w.h^2 \tan^2\left(\frac{\pi}{4} - \frac{\phi}{2}\right)$$

第 254 圖



又次ノ如ク圖上ニ於テ P ノ
値ヲ見出スヲ得ベシ。第 254
圖ニ於テ AB ト ϕ 角ヲナス様
AH ヲ引キ、地表線ト H ニ會
セシメ H ヲ中心トシ HB ヲ
半径トシテ圓弧ヲ畫ガキ

AH ト B_1 ニ會セシムレバ

$$\begin{aligned} \overline{AB}_1^2 &= (AH - HB_1)^2 = (AH - HB)^2 \\ &= (h \sec \phi - h \tan \phi)^2 \\ &= h^2 \frac{(1 - \sin \phi)^2}{\cos^2 \phi} = h^2 \frac{(1 - \sin \phi)^2}{1 - \sin^2 \phi} \\ &= h^2 \frac{1 - \sin \phi}{1 + \sin \phi} \end{aligned}$$

$$\therefore P = \frac{1}{2}w.h^2 \frac{1 - \sin \phi}{1 + \sin \phi} = \frac{1}{2}w.\overline{AB}_1^2$$

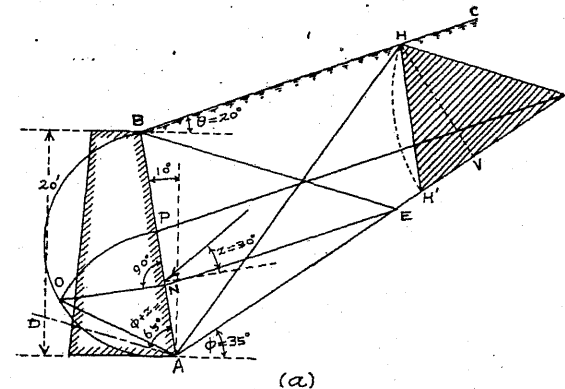
例題。第 255 圖 (a), (b), (c) = 示セル如ク (a) 圖ニ於テ $h = 20$ 呢。
 $\theta = 20^\circ$, $\alpha = 10^\circ$, $\phi = 35^\circ$, $z = 30^\circ$, $w = 100$ 吨;

(b) 圖ニ於テ $h = 20$ 呢, $\theta = 20^\circ$, $\alpha = -10^\circ$, $\phi = 30^\circ$, $z = 25^\circ$, $w = 100$ 吨;

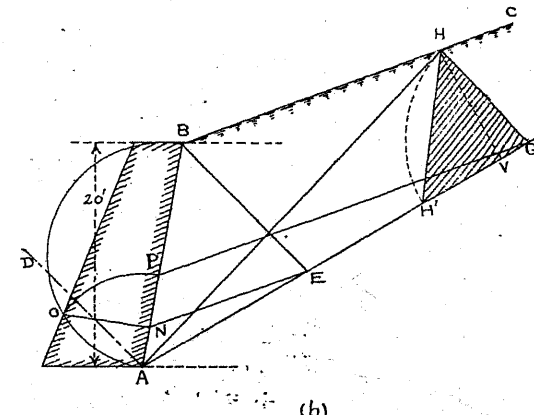
(c) 圖ニ於テ $h = 10$ 呢, $\theta = 0$, $\alpha = 11^\circ 20'$, $\phi = 30^\circ$, $z = 25^\circ$, $w = 100$ 吨;

ナルトキ AB = 作用スル全土壓力 P ナ圖式解法ニ依ツテ求メ.

第 255 圖



(a)



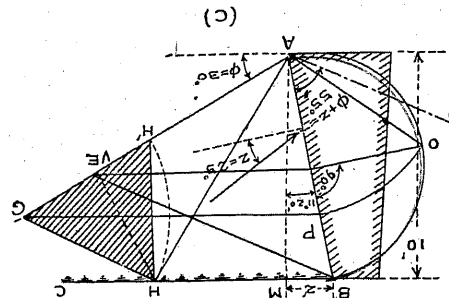
(b)

此ノ場合ニハ第 79 節 [A] 第三法(第 242 圖)=依ルナ便トス。即チ各
圖ニ示セル如クシテ P ナ求ムレバ

$$(a) \text{圖ニ於テ } P = \frac{GH \times HV}{2} \times 100 = \frac{15.5 \times 11.9}{2} \times 100 = 9,223 \text{ 吨.}$$

$$(b) \text{圖} = \text{於テハ } P = \frac{GH' \times HV}{2} \times 100 = \frac{11.4 \times 11.0}{2} \times 100 = 6,270 \text{ 吨.}$$

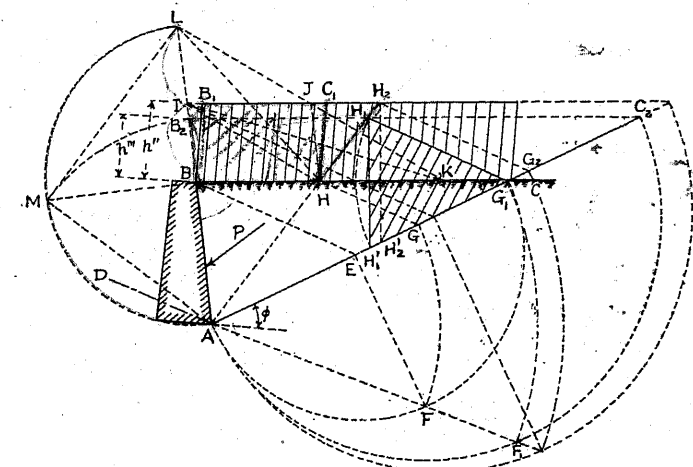
$$(c) \text{圖} = \text{於テハ } P = \frac{GH' \times HV}{2} \times 100 = \frac{7.0 \times 5.6}{2} \times 100 = 1,960 \text{ 吨.}$$



而シテ P ノ方向 = 就テハ第81節 = 於テ説明スペキモ此ノ場合 = 於テハ z ノ値トシテ前記ノ如ク假定セリ。尙 P ノ働く位置ガ壁底ヨリ $\frac{1}{3}h$ ノ所ニアルコトハ第82節 = 於テ説明スペシ。

[B] 地表面上ニ荷重アル場合(第256圖)此ノ場合ニハ第二章第74節 = 述ベタルト同様ノ手續ヲナスベシ。擁壁背後ノ地上ニ加ハル荷重ハ一旦土ニ傳リテ土壓力ト共ニ壁背ニ作用スペク其ノ荷重ノ大サ及ビ其ノ配布ノ状態ヲ知レバ之ヲ等布荷重ニ換算スルヲ得。之ヲ土ノ重量ニ換算シテ之ニ相當スル高サルヲ求メ夫レ丈ケノ土ヲ上ニ加ヘタルモノト見做スペシ。尤モ換算荷重ヲ表ハスベキ線ガ元ノ地表線ト並行ナル限リハ荷重ノ有無ハ破壊面ノ位置ニ無關係ナルヲ以テ先づ荷重ナキ場合ニ於ケル

第256圖



破壊面ヲ求メ之ヲ AH トスレバ實際擁壁ニ影響ヲ及ボス荷重ハ BB₁C₁H = シテ結局 ABB₁C₁H 丈ケノ重量ガ壁背 AB = 作用スペシ。依ツテ並行四邊形 BB₁C₁H ヲ AB 及ビ AH の延長線ヲ斜邊トセル等面積ノ梯形 BB₂H₁H = 變形シ B₂C₂ ヲ地表線ト見做シテ第79節[A]ニ述ベタル方法ニ依ツテ作圖ヲ行ヘバ破壊面 AH₁ ト元ノ破壊面 AH トハ一致スペク $\triangle G_1H_1H'_1$ ハ求ムル土壓力三角形ナリ。

並行四邊形 BB₁C₁H ヲ梯形 BB₂H₁H = 變形スルニハ次ノ如キ圖法ニ依ルベシ。先づ B₁C₁ 及ビ AB の延長線ノ交點 I ョリ BH = 等シク IJ を取リ JH を連ヌレバ BIJH ハ BB₁C₁H ト等面積ヲ有スペシ。又 \overline{BH}

ニ等シク BK_2 取リ $IK^*\vartheta$ 連ネ $HI =$ 並行ニ $KL \vartheta$ 引
 キ BI ノ 延長線ト L ニ會セシムレバ $\triangle BLH$ ハ 並行四
 邊形 $BLJH$ ト 等面積ヲ有スベシ。次ニ B ニ於テ AL
 ニ垂直ニ BM ヲ引キ AL 上ニ畫ガキタル半圓ト M ニ
 會セシメ AM ニ等シク AB_2 ヲ取リ IJ ニ 並行ニ B_2H_1 ヲ
 引ケバ BB_2H_1H ハ $\triangle BLH$ ト 等面積ヲ有スル故結局
 BB_2C_1H ト 等面積ヲ有スル所要ノ 梯形ナリ。

證明 $\triangle ABM$ 及び $\triangle AML$ へ相似ナルニヨリ

$$\overline{AM}^2 = \overline{AB}^2 + \overline{BL}^2$$

然ルニ $\triangle AB_2H_1$ 及ビ $\triangle ABH$ ハ相似ナルヲ以テ其ノ面積ノ比ハ相
當スル邊ノ自乘ニ正比例ス。依ツテ(a)式ニヨリ

又△ALH 及△ABH ハ同高ヲ有スル故其ノ面積ハ其ノ底 AL 及△AB = 正比例ス、即チ

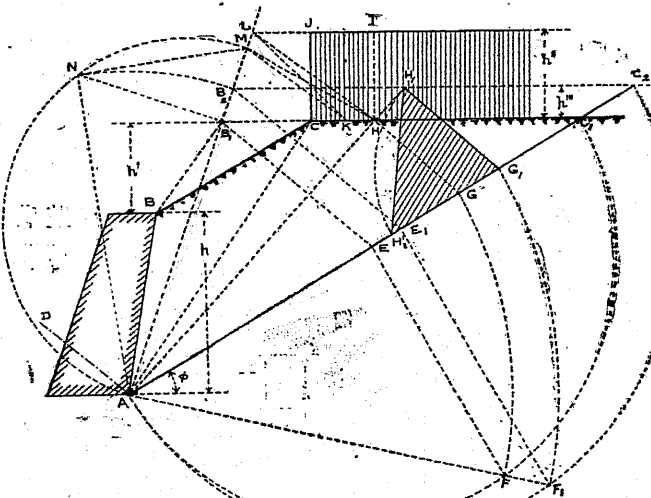
(b) 及び(c)兩式ヨリ $\triangle AB_2H_1$ ト $\triangle ALH$ トノ面積ハ相等シキヲ知ル。即 $\triangle ABH$ 丈ケナ双方ヨリ減ジタル殘部 BB_2H_1H ト BLH トハ等面積ナス有ルコトハ明ラカナリ。

上述ノ圖法ハ甚ダ煩ハシキガ故ニ荷重ヲ表ハスベキ線 B_1C_1 ヲ其ノ儘採用シ AH_2 ヲ破壊面ト見做シテ作圖スルコトアリ然ルトキハ求ムル土壓力三角形ハ $G_2H_2H'_2$ トナルベク全土壓力ハ上記ノ場合ヨリ

モ大トナルベシ。從ツテ其ノ誤差ハ實用上寧口安
全ナルヲ以テ概算ニテ足レリトスル場合ニハ屢此
ノ手續ニ依ルコトアリ。

第257圖ニ示セル如ク地表面ガニツノ平面BC及
ビCC₁ヨリ成リCC₁上ニ荷重ヲ有スル場合ニ荷重ガ
破壊面ノ位置ニ及ボス影響ハ僅少ナルガ故ニ先づ
第79節[C]ニ於テ説明セル如ク[第249圖(a)参照]荷重
ナキトキノ破壊面ヲ求メ之ヲAHトスレバCHIJ丈
ケノ荷重ガ土壓力ト共ニ擁壁ニ働くベケレバ之ヲ

第 257 置



$B_1B_2H_1H$ ナル等面積ノ梯形ニ變形シ第 256 圖ニ示セ
ルト同様ノ作圖ニヨリテ土壓力三角形 $G_1H_1H'_1$ ヲ求

ムベシ。

柴田工學博士著工業力學ニヨリ一平面ヨリ成レル地表面上ニ鉛直等布荷重ガ加ハレル場合ノ土壓力公式ヲ舉グレバ次ノ如シ。

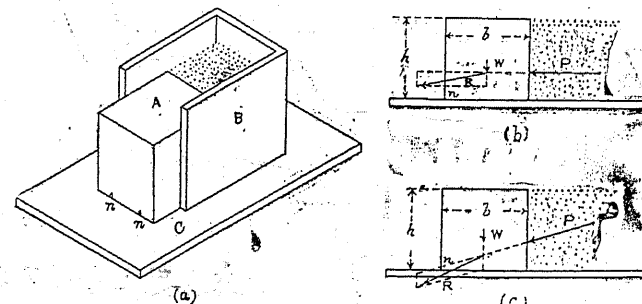
$$P = \left(\frac{1}{2} w_1 h^2 \frac{\cos(\alpha - \theta)}{\cos \alpha} + w_1 h \right) \times \frac{\cos^2(\phi - \alpha)}{\cos \alpha [\sqrt{\cos(\alpha - \theta) \cos(\phi + \alpha)} + \sqrt{\sin(\phi - \theta) \sin(\phi + \alpha)}]}$$

但シ w_1 = 地表面ニ加ハル鉛直等布荷重度。

此ノ式ニ於テ $w_1 = 0$ トシ少シク變形スレバ(57)式ト同形トナル。

81. 土壓力ノ方向 内應力ノ平衡條件ヨリ導致シタルらんさん氏土壓論ニ於テハ土壓力ノ方向ハ自ラ定マレドモ本章ノ所論ニ於テハ土楔ガ將ニ摺動セントスル場合ノ平衡ヲ考フルモノナレバ壁背鉛直ニシテ且ツ地表面水平ナリトモ摩擦ノタメ土

第258圖



壓力ノ方向ハ壁背ニ垂直ナラザルベシ。此ノ事實ニ、第258圖ニ示セル如キ簡單ナル裝置ニヨリテ之ヲ知ルヲ得ベシ。

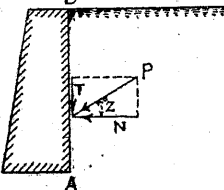
厚紙其他輕キモノニテ作レル箱Aヲ取リ(側面ニ壓力ヲ受クルモ變形セザルヲ要ス)之ヲ木製箱B中に嵌メ蠟ヲ塗リテA及ビBノ間ノ摩擦ヲ防ギCナル板上ニ置キ小サキ丸頭鉛n,nニテAノ摺動ヲ防ギB中ニ靜カニ乾砂ヲ盛リ其ノ表面ヲ水平ナラシムベシ。此ノ場合ニ於テ(b)圖ニ示ス如ク箱Aノ重サWト水平壓力Pトノ合力ガ支點nノ外側ニ出ヅル如キ關係ヲ有スルトモ箱Aハ顛倒スルコトナシ。是レ箱Aガ將ニ倒レントスルトキ盛砂ト箱Aノ背面トノ間ニ摩擦ヲ生シ之ガ爲メ壓力Pノ方向ガ傾斜シ(c)圖ニ示セル如ク合力Rハnノ内側ニ入ルガ爲メナリ。是ニ由テ見レバ擁壁ニ作用スル土壓力ノ方向ハ壁背ト土トノ間ノ摩擦ノタメ壁背面ニ或傾斜ヲナスト見ルヲ至當トス。

上述ノ如ク土壓力Pガ壁背ト或ル傾斜角ヲナスベキハ疑ナキ所ナルガ其ノ角zノ大サニ就テ種々ノ說アリ。(第一)ほんすれー氏もーずれー氏等ハzノ壁背面ト土トノ間ノ摩擦角φニ等シトナシ。(第二)しづらー氏れーぶはん氏等ハz=φトスペシト論

ジ(第三)くろむ氏ぶろに一氏等ハ $z=0$ トスペシト
説キ、又(第四)或ル學者ハ $z=\frac{1}{3}\phi$ ヲ取ルベシト主張セ
リ。何レモ皆夫々ノ論據ヲ有セリ。第一説ニ就テ
ハ若シ土ガ壁背ニ沿ウテ將ニ下方ニ摺動セントス
ル場合ヲ考フルトキハ第259圖ニ示セル如クPハ
垂直分力N及ビ接觸分力Tニ分ツヲ得ベク而シテ
Tハ壁背ト土トノ間ノ摩擦抵抗 $N\tan\phi'$ ニ等シカル
ベシ。

$$\tan z = \frac{T}{N} = \frac{N\tan\phi'}{N} = \tan\phi' \text{ 従ツテ } z = \phi'$$

ϕ' ハ上卷第一表ニ與ヘタルガ如シ。第二説ニ就テ
ハ壁背ノ土ニ接スル面ハ多ク粗ニシテ凹凸多ク土

第259圖


ハ凹部ニ喰ヒ込ムヲ以テ土ガ摺動スルトスレバ壁背面ニ沿ウテ
滑ルコトナク土ノ薄キ層ガ壁背
ニ附着シタル儘殘リ土中ノ或面
ニ沿ウテ摺動スペク從ツテ其際
起ル摩擦抵抗ハ $N\tan\phi$ ニシテ $z=\phi$ トナルベシトセ
ルナリ。第三説ニ就テハ z ノ値ハ土ノ状態ニヨリ
テ變ズルコト常ニシテ大雨ノ際壁後ノ排水不充分
ナルトキハ土ハ殆ド流動體ノ如クナリ摩擦抵抗ト
シテ認ムベキモノ皆無ノ状態トナルコトアリ。此
ノ如キ場合ヲ豫想シ萬全ノ策トシテ $z=0$ トセルモ

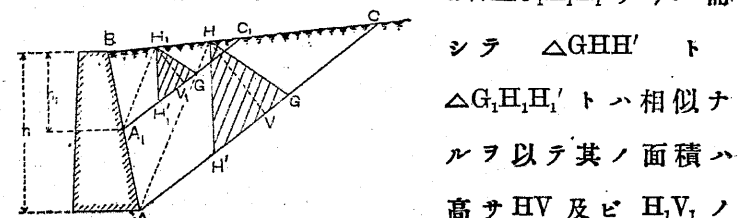
ノナリ。第四説ニ就テハ動荷重ガ壁後ノ地表面ヲ
通過スル如キ場合ニハ之ヨリ傳ハル震動其ノ他ニ
對シテ安全ヲ期スルタメニ $z=\phi/3$ トセルモノナリ。

實地設計ニ當リテ z ノ値ヲ決定スルニハ慎重ニ
考慮セザルベカラザルガ要スルニ通常ノ場合ニ於
テハ $z=\phi'$ トシ若シ $\phi' > \phi$ ナルトキハ $z=\phi$ トスルヲ
妥當トス。尤モ ϕ ノ値ヲ定ムルニハ土砂ノ状態ヲ
考へ最モ危険ナル場合ヲ取ルベキハ勿論ナリトス。

82. 土壓力ノ動點

[A] 地表面ガ平面ナル場合 第260圖ニ於テAB
及ビ A_1B 面ニ作用スル全土壓力ハ夫々 $w \times \triangle GHH'$,

第260圖



$w \times \triangle GHH'$ ナリ。而
シテ $\triangle GHH'$ ト
 $\triangle G_1H_1H_1'$ トハ相似ナ
ルヲ以テ其ノ面積ハ
高サHV及ビ H_1V_1 ノ

自乘ニ正比例ス。然ルニ $HV : H_1V_1 = AB : A_1B$ 及ビ
 $AB : A_1B = h : h_1$ ナル關係アルニ由リ結局全土壓力ハ
壁背ノ長サAB又ハ壁高hノ自乘ニ正比例ス。此
ノ關係ハ第80節(57)式ニ依リテモ明ラカナリ。即チ
全土壓力ハ $P = c \cdot \overline{AB}^2$ 又ハ $c \cdot h^2$ ニテ表ハサレ(cハ常數)
從ツテ壁頂ヨリ任意ノ點マデノ距離 y トスレバ

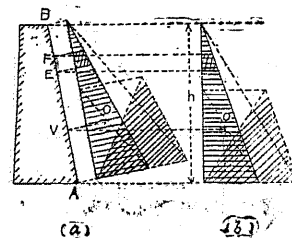
其ノ點以上ノ全土壓力ハ $c y^2$ ニテ表ハサレ之ヲ y
ニ就テ微分シタルモノ即チ $2cy$ ハ其ノ點ニ於ケル
土壓力度ナリ。サレバ土壓力度ハ B 點ニ於テ零ニシ
テ次第ニ下降スルニ從ヒ大トナリ A 點ニ於テ最大
ニ達スペク中央ニ於テ平均土壓力度ヲ有スベシ。
而シテ $P = w \times \Delta GHH'$ ナルヲ以テ

$$\text{平均土壓力度} = \frac{w \times \frac{1}{2} \times HV \times GH'}{AB}$$

$$A \text{ 點ニ於ケル土壓力度} = \frac{w \times HV \times GH'}{AB}$$

第 261 圖 (a), (b) ハ夫々第 260 圖ノ $\Delta GHH'$ の面積ヲ
 AB, h = 等シキ高サヲ有スル直角三角形ノ面積 = 變化セルモノナリ。乃チ壁背ノ或區分 EF ニ作用ス

第 261 圖



並行ニ引キタル直線ガ AB 邊ニ會シタル點ナルコ
トヲ知ル。要スルニ地表面ガ一平面ヨリ成レル場
合ニ於テバ土壓力ノ働點ハ底ヨリ高サノ三分ノ一
ノ所ニアルヲ知ル。

[B] 地表面ガ不規則ナル曲面ヨリ成レル場合

地表面ガ第 247 圖ニ於ケルガ如ク凹凸甚ダシガラズ平均シテ一平面ト見做シ得ル場合ニハ近似的ニ

[A] ト同様ニ取扱フモ差支ナカルベシ。又第 248 圖ニ於ケルガ如ク凹凸甚ダシキ場合ニハ次ニ述ブル

[C] ニ準ジテ之ヲ取扱フベシ。

[C] 地表面ガニツ以上ノ平面ヨリ成レル場合

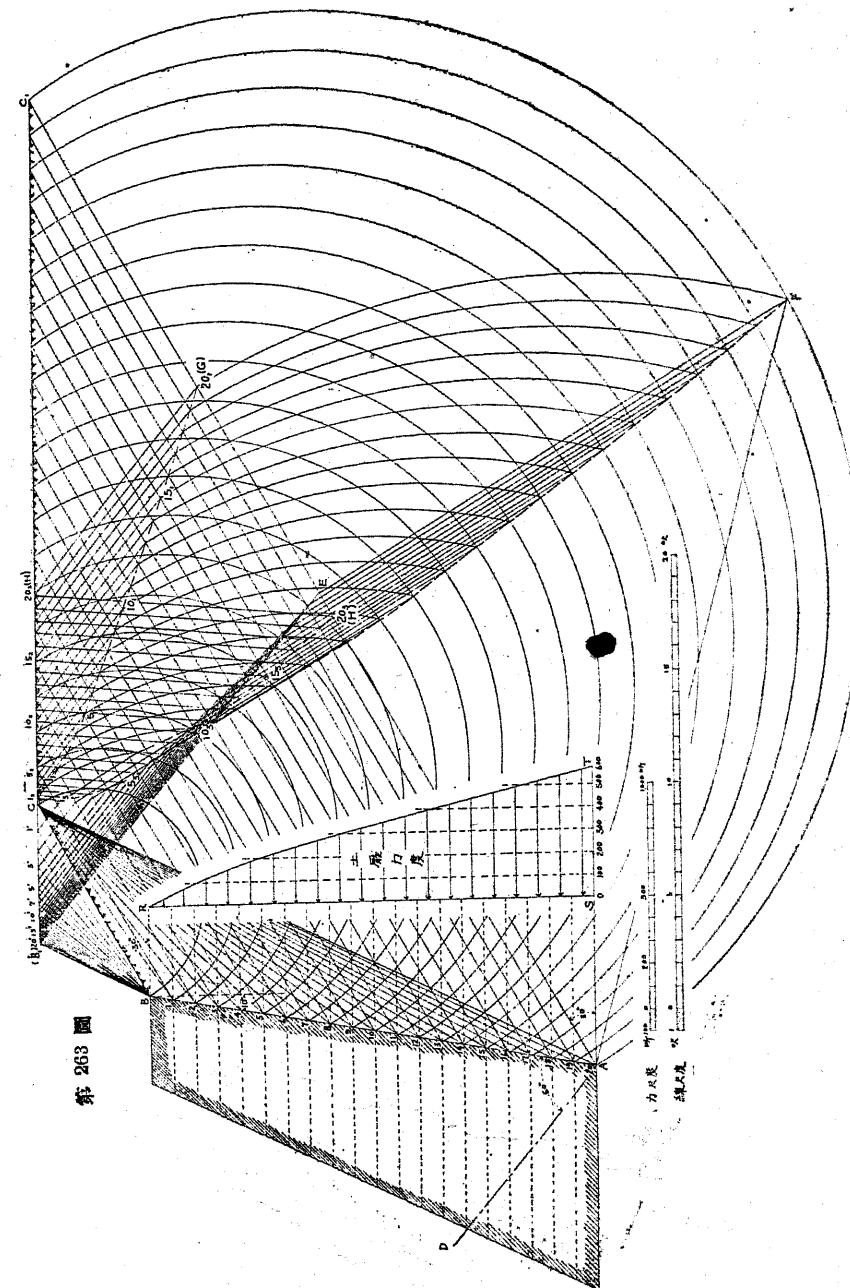
此ノ場合ニ於テハ壁底ヨリ全土壓力ノ働く点マデノ距離ハ壁高ノ三分ノ一ヨリ少シク大ナルベシ。一般圖式解法次ノ如シ。

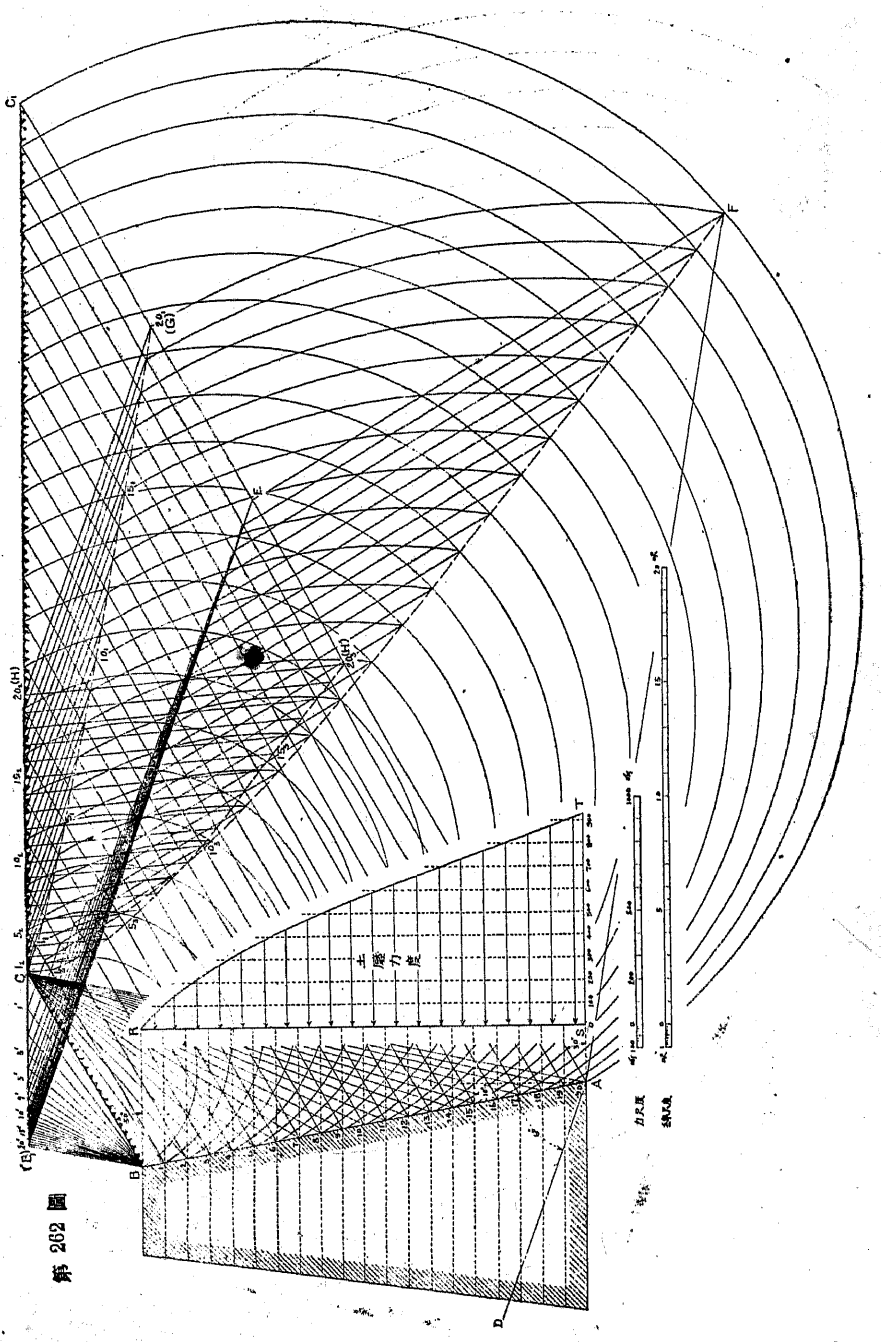
先ツ第 262 圖ニ於ケル如ク擁壁ヲ等距離ヲ有スル水平面 1, 2, 3 等ニテ切リ夫々ノ断面ヲ底面トスル擁壁ヲ考ヘ之ニ作用スル土壓力 P_1, P_2, P_3 等ヲ第 78 節 [C] の圖法 [第 249 圖 (a) 參照] ニ依リテ求ムレバ相隣レル此等ノ壓力ノ差ハ夫々水平断面間ノ區分ニ作用スル土壓力 p_1, p_2, p_3 等トナルベシ。擁壁ノ頂端ヲ原點トシ p_1, p_2, p_3 等ノ働く線マデノ垂直距離 l_1, l_2, l_3 等ヲ之ニ乘ジ此等ノ累和ヲ之ニ相當スル總土壓力 Σp ニテ除スレバ壁頂ヨリ Σp ノ働く線マデノ垂直距離ヲ得ベシ。然ルニ唯働く点ノ位置ヲ知ラントスルニハ p_1, p_2, p_3 等ノ土壓力ハ壁背ヲ鉛直面ニ投射シタル面ニ水平ニ働くモノト假定シテモ何等差支ナキヲ以

テ上述ノ手續ヲナスニ當リテハ此ノ假定ニ據ルヲ便トス。第262, 263, 264圖ニ示セル如キ擁壁ハ築堤ノ場合ニ最モ多ク見ル處ナルヲ以テ今特ニ此ノ場合ニ就テ具體的ニ説明セントス。但シ此ノ計算ニハ主トシテ計算尺ヲ用キタレバ多少誤差アルヲ免レザルベシ。

第262, 263, 264圖ニ示セル場合ニ於テハ壁高 $h=20$ 呎、過載高 $h'=5$ 呎、土ノ息角 $\phi=30^\circ$ 、過載側面傾斜角 $\theta=30^\circ$ 、土ノ一立方呎ノ重量 $w=100$ 斤、土壓力ノ傾斜角 $z=30^\circ$ 、水平斷面ノ鉛直距離=1呎トス。又第262圖ニ於テハ $\alpha=10^\circ$ 、第263圖ニ於テハ $\alpha=-10^\circ$ 、第264圖ニ於テハ $\alpha=0^\circ$ トス。此ノ三ツノ場合共ニ作圖ノ方法ハ同様ナルヲ以テ主トシテ第262圖ニ示セル場合ニ就テ述ブベシ。

第78節[C]ニ依ツテ擁壁ニ作用スル全土壓力ヲ表ハスベキ土壓力三角形ハ $\triangle GHG'$ 即チ $\triangle(20_1, 20_2, 20_3)$ =シテ其ノ底邊ト高サトヲ線尺度ニテ度リ計算スレバ P_{20} ハ10,832斤トナル。此ノ如クニシテ他ノ斷面ニ就テモ同様ノ圖法ヲ繰返セバ夫々ノ土壓力三角形及ビ之ニ相當スル土壓力ハ第二十三表ノ如クナルベシ。而シテ斷面19ト20トノ間ノ區分ニ作用スル土壓力ハ次ノ如シ。





第二十三表

1 断面 ノ番號	2 底邊(呎)	3 高サ(呎)	4 土 壓 力 △ (呎)	5 各區分 ニ於 ケル 土 壓 力 (呎)
1	1.23	0.94	58	58
2	2.30	1.74	200	142
3	3.30	2.50	412	212
4	4.29	3.22	686	274
5	5.19	3.92	1,017	331
6	6.09	4.60	1,400	383
7	6.96	5.26	1,830	430
8	7.80	5.90	2,303	473
9	8.62	6.53	2,816	513
10	9.42	7.15	3,367	551
11	10.20	7.76	3,955	588
12	10.96	8.36	4,579	624
13	11.71	8.95	5,238	659
14	12.45	9.53	5,932	694
15	13.19	10.10	6,661	729
16	13.93	10.66	7,425	764
17	14.67	11.21	8,224	799
18	15.41	11.75	9,058	834
19	16.15	12.29	9,927	869
20	16.89	12.82	10,832	905

$$P_{20} = P_{20} - P_{19} = 10,832 - 9,927 = 905 \text{ 吋}$$

他ノ部分ニ就キ同様ノ手續ヲ繰返セバ第二十三表第5欄ノ數値ヲ得ベシ。之ヲ一定ノ力尺度ニテ夫々ノ働點(後述ノ如キ方法ニテ求メタル)ヲ通ズル水平線上ニ取り其ノ一端ヲ鉛直線 RS ニテ限リ他端ヲ連ヌルトキハ RST ノ如キ表圖ヲ得ベシ。此ノ表圖ノ重心ヲ求メ之ヲ通ジテ引キタル水平線ガ AB 線ト交ハル點ヲ求ムレバ是レ即チ所要ノ全土壓力ノ働點ナリ。

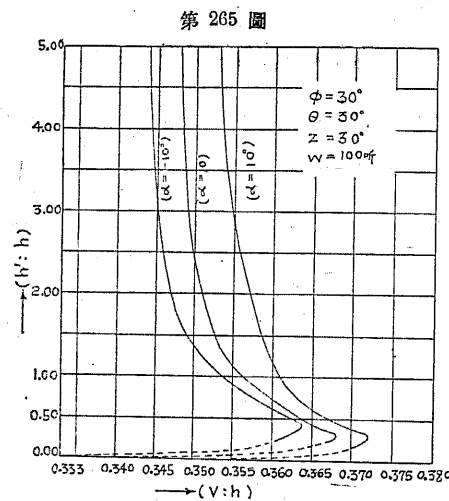
各區分ノ土壓力ノ働點ハ圖式的ニ又ハ計算ニ依シテ之ヲ求メ得ベク孰レノ方法ニ據ルトモ各區分ニ作用スル土壓力ハ各區分ノ中央點ニ作用スルモノト見做シテ實用上差支ナカルベシ。或ハ最上區分ヲ除キ相隣セル斷面間ニ於ケル土壓力分布表圖ハ夫々 R ノ頂點トセル三角形ノ一部分タル梯形ナリト見做シ(45)式ヲ適用シテ其ノ重心ヲ算定シ以テ各區分ニ作用スル土壓力ノ働點ヲ定ムルコトモ實用上差支ナキ一方法ナルベシ。例ヘバ 4 及ビ 5 ノ断面間ノ區分ニ(45)式ヲ適用スレバ $h=1$ 呎, $h''=4$ 呎ナルユエ(第232圖參照)断面 5 ヨリ p_6 ノ働點マデノ距離ハ

$$v = \left(1 + \frac{h''}{h + 2h''}\right) \frac{h}{3} = \left(1 + \frac{4}{9}\right) \frac{1}{3} = 0.48 \text{ 呎}$$

從ツテ壁頂即チ R點ヨリノ鉛直距離 $l_v \approx 5.00 - 0.48 = 4.52$ 呪トナル。此ノ如クシテ p_2, p_3 等ノ挺率ヲ求メ $\Sigma(p \times l)$ ヲ計算シ之ヲ Σp ニテ除セバ全土壓力ノ働點ノ位置ガ決定セラルベク其ノ手續ハ第二十四表ニ依リテ明ラカナリ。結局 $h':h$ ノ比ガ第9欄ニ示セル如クナルトキハ $v:h$ ノ値ハ第10欄ノ如クナルベシ。例ヘバ $h':h$ ガ 0.5 ナルトキハ壁底ヨリ全土壓力ノ働點マデノ距離ハ壁高ノ 36.7% ナルコトヲ知ル。

同様ニ第263, 264圖ニ對シテ第二十五,二十六表ガ得ラル。

第二十四,二十五,二十六表ノ結果ヲ圖ニ表ハスト



キハ第265圖ノ
如クナリ他ノ條
件同様ナラバ
ノ値ハ α ガ大ナ
ル程大トナルヲ
見ル。而シテ
 $h':h$ ノ或値ニ於
テ v ハ最大トナ
リ夫ヨリ後ハ h'
ニ對シ h' ガ小ト

第二十四表

(壁背ガ前方 = 傾ケル場合)

$$\alpha = 10^\circ, \theta = \phi = 30^\circ, h' = 5 \text{ 呪}, z = 30^\circ$$

1	2	3	4	5	6	7	8	9	10
断面 面 積 度 p	土 壓 力 度 p	挺 率 l	力 率 $p \times l$	累 和 $\Sigma(p \times l) = M$	總 土 壓 力 $\Sigma p = P$	壁動 ノ 頂點距 ヨマ離 リデ $M + P = u$	底リ テノ 面點距 ヨマ離 リデ $h - u = v$	過壁比 載高 トノ $h':h$	動 壁 比 距高 ト $v:h$
1	58	0.647	37.53	37.53	58	0.647	0.353	5.00	0.353
2	142	1.55	220.10	257.63	200	1.288	0.712	2.50	0.356
3	212	2.53	536.36	793.99	412	1.927	1.033	1.67	0.358
4	274	3.52	964.48	1,759.0	686	2.565	1.435	1.25	0.360
5	331	4.52	1,495.0	3,254.0	1,017	3.195	1.905	1.00	0.361
6	383	5.51	2,110.0	5,364.0	1,400	3.830	2.170	0.83	0.362
7	430	6.51	2,803.0	8,167.0	1,830	4.463	2.537	0.71	0.363
8	473	7.51	3,550.0	11,717.0	2,303	5.090	2.910	0.63	0.364
9	513	8.51	4,365.0	16,082.0	2,816	5.713	3.287	0.56	0.365
10	551	9.5	5,235.0	21,317.0	3,367	6.333	3.667	0.50	0.367
11	588	10.5	6,170.0	27,487.0	3,955	6.950	4.050	0.45	0.368
12	624	11.5	7,180.0	34,667.0	4,579	7.570	4.430	0.42	0.369
13	659	12.5	8,240.0	42,907.0	5,238	8.190	4.810	0.38	0.370
14	694	13.5	9,370.0	52,277.0	5,932	8.820	5.180	0.36	0.370
15	729	14.5	10,570.0	62,847.0	6,661	9.440	5.560	0.33	0.371
16	764	15.5	11,840.0	74,686.0	7,425	10.060	5.940	0.31	0.371
17	799	16.5	13,180.0	87,866.0	8,224	10.680	6.320	0.29	0.372
18	834	17.5	14,580.0	102,446.0	9,058	11.310	6.690	0.28	0.372
19	869	18.5	16,075.0	118,521.0	9,927	11.940	7.060	0.26	0.372
20	903	19.5	17,620.0	136,141.0	10,832	12.560	7.440	0.25	0.372

第二十五表

(壁背が後方 = 傾ケル場合)

$$\alpha = -10^\circ, \theta = \phi = 30^\circ, h' = 5 \text{呴}, z = 3^\circ$$

1	2	3	4	5	6	7	8	9	10
断面ノ番號	土圧力度	挺率	力率	力率ノ和	總土圧力	壁動ノ頂點距 ヨマ離リデ	底リデ 面動距 面點離 ヨマ	過壁載高ト トノ 距離ト v:h	動トノ 點壁比
p		l	$p \times l$	$\Sigma(p \times l) = M$	$\Sigma p = P$	$M \div P = u$	$h - u = v$		
1	28	0.656	18.37	18.37	28	0.656	0.344	5.00	0.344
2	76	1.55	117.76	136.13	104	1.306	0.692	2.50	0.346
3	117	2.53	296.01	432.14	221	1.955	1.045	1.67	0.348
4	153	3.52	538.56	970.70	374	2.595	1.405	1.25	0.351
5	185	4.52	836.20	1,807.0	559	3.230	1.770	1.00	0.354
6	214	5.51	1,179.0	2,986.0	773	3.862	2.138	0.83	0.356
7	241	6.51	1,569.0	4,554.0	1,014	4.490	2.510	0.71	0.359
8	267	7.51	2,005.0	6,559.0	1,281	5.121	2.879	0.63	0.360
9	292	8.51	2,483.0	9,042.0	1,573	5.748	3.252	0.56	0.361
10	317	9.5	3,012.0	12,054.0	1,890	6.378	3.622	0.50	0.362
11	342	10.5	3,591.0	15,645.0	2,232	7.010	3.990	0.45	0.363
12	367	11.5	4,218.0	19,963.0	2,599	7.635	4.365	0.42	0.364
13	392	12.5	4,900.0	24,713.0	2,991	8.280	4.720	0.38	0.363
14	417	13.5	5,628.0	30,391.0	3,408	8.919	5.081	0.36	0.363
15	441	14.5	6,392.0	36,783.0	3,849	9.560	5.440	0.33	0.363
16	465	15.5	7,205.0	43,988.0	4,314	10.190	5.810	0.31	0.363
17	489	16.5	8,066.0	52,053.0	4,803	10.840	6.160	0.29	0.362
18	513	17.5	8,977.0	61,031.0	5,316	11.485	6.515	0.28	0.362
19	537	18.5	9,933.0	70,964.0	5,853	12.123	6.877	0.26	0.362
20	561	19.5	16,935.0	81,899.0	6,414	12.775	7.225	0.25	0.361

第二十六表

(壁背鉛直ナル場合)

$$\alpha = 0, \theta = \phi = 30^\circ, h' = 5 \text{呴}, z = 3^\circ$$

1	2	3	4	5	6	7	8	9	10
断面ノ番號	土圧力度	挺率	力率	力率ノ和	總土圧力	壁動ノ頂點距 ヨマ離リデ	底リデ 面動距 面點離 ヨマ	過壁載高ト トノ 距離ト v:h	動トノ 點壁比
p		l	$p \times l$	$\Sigma(p \times l) = M$	$\Sigma p = P$	$M \div P = u$	$h - u = v$		
1	40	0.652	26.08	26.08	40	0.652	0.348	5.00	0.348
2	104	1.55	161.20	187.28	144	1.300	0.700	2.50	0.350
3	159	2.53	402.27	589.55	303	1.943	1.057	1.67	0.352
4	207	3.52	728.64	1,318.0	510	2.585	1.415	1.25	0.354
5	250	4.52	1,130.0	2,448.0	760	3.222	1.798	1.00	0.356
6	289	5.51	1,593.0	4,040.0	1,049	3.850	2.150	0.83	0.358
7	325	6.51	2,115.0	6,155.0	1,374	4,480	2,520	0.71	0.360
8	359	7.51	2,695.0	8,850.0	1,733	5,107	2,893	0.63	0.362
9	391	8.51	3,335.0	12,185.0	2,125	5,735	3,265	0.56	0.363
10	424	9.5	4,037.0	16,222.0	2,549	6,360	3,640	0.50	0.364
11	455	10.5	4,777.0	20,999.0	3,004	6,992	4,008	0.46	0.365
12	486	11.5	5,587.0	26,586.0	3,490	7,620	4,380	0.42	0.365
13	515	12.5	6,440.0	33,026.0	4,005	8,250	4,750	0.38	0.366
14	543	13.5	7,330.0	40,356.0	4,548	8,873	5,127	0.36	0.366
15	571	14.5	8,280.0	48,636.0	5,119	9,500	5,500	0.33	0.367
16	599	15.5	9,287.0	57,923.0	5,718	10,125	5,875	0.31	0.367
17	627	16.5	10,340.0	68,263.0	6,345	10,760	6,240	0.29	0.367
18	655	17.5	11,465.0	79,728.0	7,000	11,380	6,620	0.28	0.368
19	683	18.5	12,635.0	92,363.0	7,683	12,020	6,980	0.26	0.367
20	711	19.5	13,870.0	106,233.0	8,394	12,660	7,340	0.25	0.367

ナルニ從ツテ小トナリ遂ニ h' ガ零トナレバ v ハ壁高ノ 33.3%ニ等シクナル。尙 α ノ他ノ値ニ對シテモ此ノ圖ヲ利用シ插入法ニヨリテ $v:h$ ニ對スル大體ノ値ヲ知リ得ベシ。

上叙ノ方法ト異リ全然解析的ニ働點ノ位置ヲ求ムルニハ全土壓力ヲ表ハスベキ公式ヲ導致シ壁高 h ヲ變數トシテ之ヲ微分シ之ニ壁頂ヨリノ挺率ヲ乘ジ然ル後之ヲ積分シ全土壓力ニテ除スルトキハ壁頂ヨリ全土壓力ノ働點マデノ距離ヲ得ベシ。然ルニ此ノ方法ハ甚ダ複雜ニシテ稍難解ナルヲ以テ本書ニ於テハ之ヲ略ス。此ノ解法ニ就テハ土木學會誌第一卷第一號ニ於ケル大河戸宗治氏“土壓力ノ強度及ビ其ノ働く位置ニ就テ”ヲ見ルベシ。

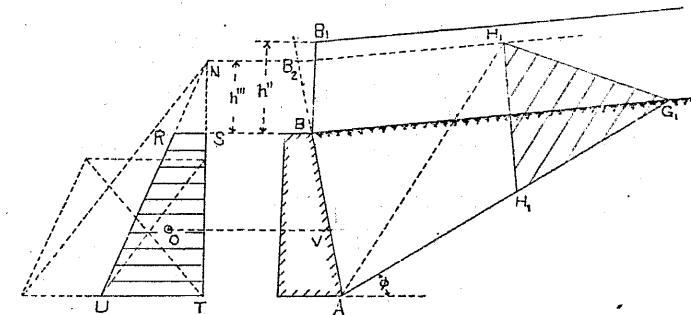
次ノ方法ハ近似的ナルモ簡略ナレバ參考トシテ茲ニ述べ置カントス。即チ破壊面ノ左方ニ於ケル土楔ノ重心ヲ求メ之ヲ通ジテ破壊面ニ並行ナル線ヲ引キ壁背 AB ト交ハル點ヲ定ムルニアリ。此ノ交點ハ即チ所要ノ働く位置ナリ。例ヘバ第269圖ニ於テ地表面 CG₁ 上ニ荷重ナキ場合ヲ考フレバ ABCH の重心 G₁ を通ジテ破壊面 AH は並行ニ G₁V₁ を引キ AB ト V₁ ニ會セシムレバ V₁ ハ即チ求ムル土壓力ノ働く位置ナリ。

[D] 地表面ガ平面ニシテ其ノ上ニ荷重アル場合

第80節[B]ニ於テ説明セル方法ニ依リテ第266圖ニ示セル如ク土壓力三角形 G₁H₁H₁'ヲ求メ之ヲ壁高 h 及ビ訂正荷重高 h'' ノ和ニ等シキ高サヲ有スル等積ノ直角三角形 NUT = 變化スレバ是レ即チ $(h+h'')$ 丈ケノ間ニ作用スル全土壓力ノ分布ヲ示スモノト見做スヲ得ベシ。然ルニ BP₂ ナル部分ハ實際存在セザルヲ以テ AB ニ作用スル全土壓力ノ分布ハ梯形 RSTU = テ表ハサルベシ。乃チ梯形ノ重心 O ノ求メ之ヲ通ジテ引キタル水平線ガ AB ト會スル點 V ハ全土壓力ノ働く位置ナリ。

此ノ方法ニ依レバ壁背 AB ト BB₁ トガ一直線トナ。

第266圖

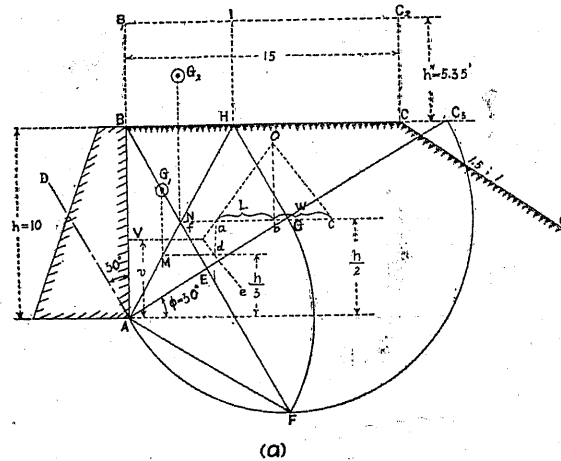


ル場合ニ於テノミ正確ナル結果ヲ得ラルベキモ兩直線ガ或角ヲナストキハ[C]ニ於テ説明セル方法ニヨリテ V 點ヲ求メザルベカラズ。尤モ角 ABB₁ ガ二直角ニ近キトキハ其ノ誤差モ極メテ小ナルヲ以テ

普通上述ノ方法ニ依リテ得タル結果ヲ以テ足レリトス。

又第 237 圖 (a)ニ示セル如ク先ヅ荷重ナキ場合ニ
於ケル破壊面 AHヲ求ムレバ Hヨリ左方ニアル荷
重ノミ擁壁ニ作用スルモノト考へ得ベキヲ以テ
AHヨリ左方ノ土ノ重サ W 及ビ荷重 Lト, 擁壁ノ反
力 Pト, AHヨリ右方ノ土ニ於ケル反力 Rトノ平衡
状態ヲ考へ土壓力 Pノ働點ヲ求ムルコトモ一ツノ
方法ナリ.

第 267 圖



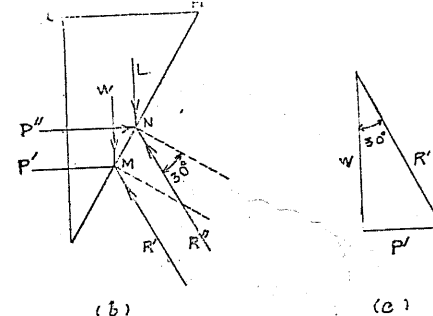
例題 高さ $h=10$ 呢、壁背鉛直ナル混疑土擁壁アリ。其ノ背後 = 第 267 圖(a) = 示セル如キ築堤ナシ狭軌單線鐵道ヲ敷設スルトスレバ擁壁 = 作用スル全土壓力ノ働く點ノ位置如何。但シ動荷重ハく一ば一氏 E-33 トシ $w=100$ 听、 $\phi=30^\circ$ トス。

道床ノ重量ヲ線路 1 呪 = 付約 1,200 吁, 軌道(道床ナ除ク)ノ重量
 ナ線路 1 呪 = 付 200 吁トスレバ地表面上ノ静荷重ハ線路 1 呪ニ
 付 1,400 吁トナル. 今動荷重及ビ静荷重が幅 15 呪間ニ傳播スル
 モノト見做シ線路延長 10 呪間ニ就テ考フルトキハ此ノ間ニ二
 ツノ動輪荷重アルヲ以テ總動荷重ハ $2 \times 33,000$ 吁, 總静荷重ハ
 $10 \times 1,400$ 吁, 等布荷重度ハ $(2 \times 33,00 + 10 \times 1,400) / (10 \times 15) = 535$ 吁 每平方
 呪トナリ從ツテ $h'' = 535 / 100 = 5.35$ 呪トナル. 故ニ BC ヨリ 5.35 呪ダ
 ケノ距離 = B₁C₂ チ引クベシ. 次ニ壁背ハ滑ラカニシテ且降雨ノ
 際水ガ溜マリ摩擦ハ皆無トナルモノト見做シ $\phi' = 0$ ト考フ. 然
 ルトキハ第 79 節[A]ニ依リテ AH ナル破壊面ナ得. 然レバ擁壁ニ
 作用スル荷重ハ BH₁H₂ ダケナリ. 今擁壁ノ平衡状態ナ考フルニ
 ABH ナル土ノ重サ W 及ビ荷重 L ハ夫々 G₁ 及ビ G₂ ナ通ジテ鉛直
 ニ動キ之ニ對スル擁壁ノ反力 P' 及ビ P'' ハ AH 上ノ M 及ビ N ナ通
 ジ水平ニ動クベク AH 面ノ反力 R' 及ビ R'' ハ M 及ビ N ナ通ジテ

第 267 脚

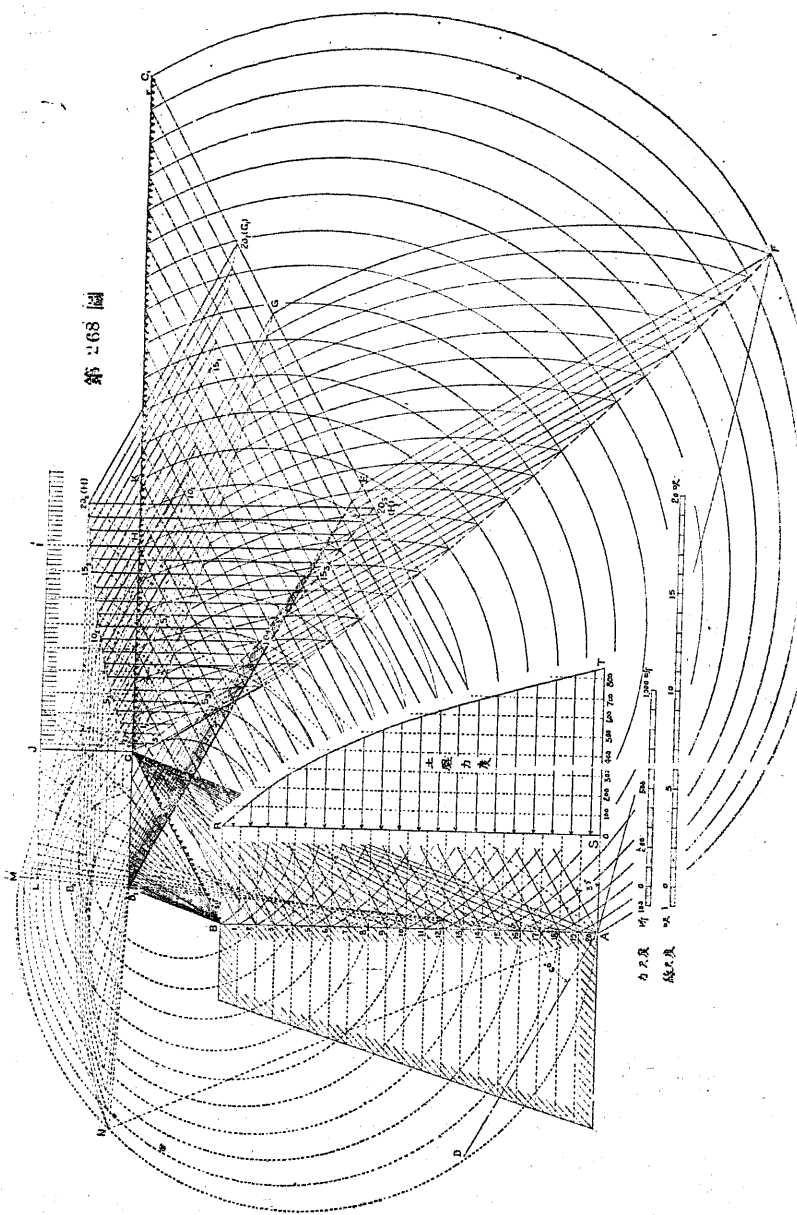
AH = 對スル 垂直線ト
3°ノ傾斜チナスペシ。

(b), (c) ニ表ハセルガ如シ。斯クシテ P' 及ビ P'' ハ W 及ビ L = 正比例スルナヒテ上卷第25節ニ依リ (a) 圖ニ於テ N ナズル水平線上ニ L 及ビ W ナ適當ノ力尺度ニテ



取り極 α ヲ假定レ畫多邊形 $oade$ ヲ畫ガキ oa ト ed トノ交點 f ヲ通ジテ水平線 fV ヲ引キ AB トノ交點ヲ V トスレバ是レ即チ所要ノ點 V ニシテ AV ハ約4呎ナリ。尙此ノ場合ニ於テ

$$W = \frac{BH \times AB}{2} = \frac{6 \times 10}{2} \times 100 = 3,000 \text{ 斤}, \quad L = 5.35 \times 6 \times 100 = 3,210 \text{ 斤}$$



$$\therefore P = \tan 30^\circ \times (3,000 + 3,210) = 0.5774 \times 6,210 \approx 3,575 \text{ 听}$$

[E] 地表面ガニツ以上ノ平面ヨリ成リ其ノ上ニ
荷重アル場合 第268圖ニ示セル如ク BCC₁ ヲ地表
面トシ JI ヲ換算荷重線トスレバ第257圖ニ於ケル
圖法ニ依リ土壓力ヲ求メ第262, 263, 264圖ニ於ケル
ト同様ノ方法ニ依ツテ第二十七表ヲ得ベシ。

第二十七表

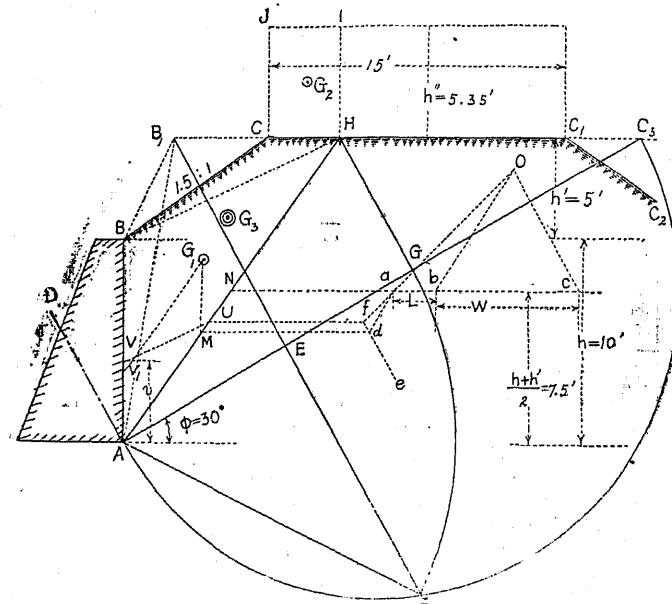
(壁背が鉛直ニシテ地表面上=荷重アル場合)

$$\alpha = 0, \theta = \phi = 30^\circ, h' = 5 \text{ 呎}, h'' = 5 \text{ 呎}, z = 30$$

1	2	3	4	5	6	7	8	9	10
断面ノ番号	土圧力度 p	挺率 l	力率 $p \times l$	累和 $\Sigma(p \times l) = M$	總土圧力 $\Sigma p = P$	壁動ノ頂點距 ヨマ離 リデ $M - P = u$	断面ノ面積 ヨマ離 リデ $h - u = v$	過壁載高トノ $h':h$	壁トノ距離比 $v:h$
1	49	0.65	31.85	31.85	49	0.650	0.350	5.00	0.350
2	128	1.55	198.40	230.25	117	1.300	0.700	2.50	0.350
3	199	2.53	503.47	733.72	376	1.950	1.050	1.67	0.350
4	263	3.52	925.76	1,660.0	639	2.596	1.404	1.25	0.351
5	321	4.52	1,451.0	3,111.0	960	3.240	1.760	1.00	0.352
6	374	5.51	2,061.0	5,172.0	1,334	3.875	2.125	0.83	0.354
7	423	6.51	2,754.0	7,926.0	1,757	4.510	2.490	0.71	0.356
8	468	7.51	3,515.0	11,441.0	2,225	5.140	2.860	0.63	0.358
9	509	8.51	4,390.0	15,771.0	2,734	5.766	3.234	0.56	0.359
10	547	9.5	5,196.0	20,967.0	3,281	6.390	3.607	0.50	0.361
11	582	10.5	6,110.0	27,077.0	3,863	7.007	3.998	0.45	0.363
12	614	11.5	7,060.0	34,137.0	4,477	7.620	4.380	0.42	0.365
13	644	12.5	8,048.0	42,185.0	5,121	8.235	4.765	0.38	0.367
14	673	13.5	9,080.0	51,265.0	5,794	8.850	5.150	0.36	0.363
15	701	14.5	10,162.0	61,427.0	6,495	9.460	5.540	0.33	0.370
16	729	15.5	11,300.0	72,727.0	7,224	10.070	5.930	0.31	0.371
17	757	16.5	12,490.0	85,217.0	7,981	10.677	6.323	0.29	0.372
18	784	17.5	13,720.0	98,997.0	8,765	11.285	6.715	0.28	0.373
19	811	18.5	15,000.0	113,937.0	9,576	11.900	7.100	0.26	0.374
20	838	19.5	16,340.0	130,277.0	10,414	12.520	7.480	0.25	0.374

別法トシテ第269圖ニ示セル如キ圖解法ニヨリテ働く點ノ近似的位置ヲ求ムルヲ得。此方法ニ於テハ土楔ノ重量ヨリ生ズル破壊面AHニ於ケル壓力ノ配布ハ通常ノ通りナルモ荷重ノ爲メニ生ズル壓力ハ破壊面ニ均等ニ配布セラルモノト假定ス。

第269圖



又荷重及ビ土楔ノ重量ガ壁背ニ及ボス影響即チ土壓力ノ配布ハ破壊面ニ於ケル壓力ノ配布ト全ク同様ナリト假定スルナリ。其ノ具體的説明ハ次ノ例題ニ譲ル。若シ壁背鉛直ニシテ地表面水平ナルト

キハ此方法ハ全然第267圖ニ示セル方法ト一致ス。

例題 高サ $h=10$ 呎、背面鉛直ナル混泥土擁壁アリ。其ノ背後ニ第269圖ニ示セル如キ築堤ヲナシ狭軌單線鐵道ヲ敷設スルトスレバ擁壁ニ作用スル全土壓力ノ働く點ノ位置如何。但シ $\mu'=5.35$ 呎([D]ノ例題参照)、 $w=100$ 斤、 $\phi=30^\circ$ トス。

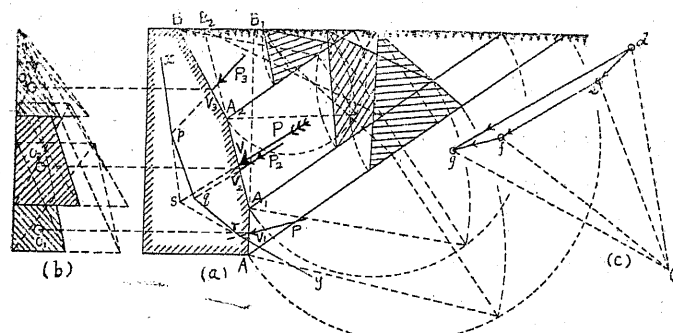
第267圖ノ場合ト同様ニ $\phi'=0$ トシ破壊面AHヲ求ムルトキハ擁壁ニ影響ヲ與フル荷重ハCJIIHノ部分ナリ而シテ此荷重ガAHノ中央Nニ作用スルモノト假定ス。而シテ土楔ABCHノ重量Wハ其ノ重心G1ナ通ジテ鉛直ニ働くMニ於テAHニ會スベシ。今土楔ノ重量W及ビ荷重Lヨリ生ズルAH面ノ壓力ヲ夫々P'及ビP''トスレバM及ビNハ其等ノ働く點ニシテ其ノ大サハ夫々W及ビLニ正比例スペキナリ。然ルニ唯働く點ノミチ知ルニハP'及ビP''ノ方向ガ水平ナリト假定スルモ差支ナキヲ以テ第267圖ノ場合ト同様ニシテP'及ビP''ノ合力ノ働く點ハAH上ノU點ナルコトヲ知ル。故ニ前ノ假定ニヨリUヨリHBニ並行ニ引キタル直線UVガABト交ハル點Vガ土壓力ノ働く點ナルベキナリ。即チ $v(AV)=\frac{1}{3}w$ 呎トナル。

P'ノ働く點ヲ尙近似的ニ求ムルニハABCJIIHノ重心G2ナ通ジテAHニ並行ニ引キタル直線ガABト會スル點ヲ見出セバ可ナリ。

[F] 壁背ガニツ以上ノ平面、階段又ハ曲面ヨリ成レル場合 第270圖ニ於ケル如ク壁背ガAA₁A₂Bノ如クニツ以上ノ平面ヨリ成レルトキハ第79節[A]=ヨリテAA₁ノ延長AB₁、A₁A₂ノ延長A₁B₂、及ビA₂Bニ作用スル土壓力ヲ求メ第261圖ニ示セル方法ニ依リテ(b)圖ノ如キ分布表圖ヲ畫ガキAA₁、A₁A₂及ビA₂Bノ部分ニ作用スル土壓力P₁、P₂及ビP₃ト働く點V₁、V₂及

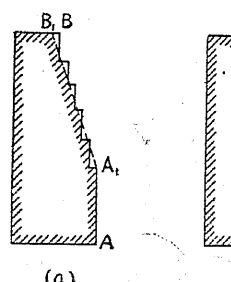
ビ V_3 トヲ求メ此等ノ點ヲ通ジテ P_1, P_2, P_3 ノ働線ヲ引キ(此ノ圖ニ於テハ $\alpha=15^\circ$ ト假定セリ)又(c)圖ノ如ク力ノ多角形 $defg$ ヲ畫ガキ極 O ニ對スル索多邊形 x_TTy ヲ畫ガケバ xp ト yr トノ交點 s ヲ通ジテ dg = 並行ニ引キタル線ガ A_1A_2 ヲ切ル點 V ガ求ムル所ノ働點ナリ.

第 270 圖



若シ第 271 圖(a)ニ示セル如ク壁背ガ階段ヲ有ス

第 271 圖



ルトキハ階段部ガ破線ヲ以テ示セル如ク均等傾斜線ヨリナレルモノト見做シ上述ノ如キ方法ヲ適用スレバ可ナリ. 又壁背ガ



(b)圖ニ示セル如ク曲線部ヲ有スルトキハ此ノ部分

ヲ破線ニテ示セル如ク近似多角形ニ變化シ上述ノ如ク作圖ヲナスベシ.

[G] 働點ニ關スル一般注意

以上働點ノ位置ニ就テ述べタル主要ナル場合ヲ總括スレバ次ノ如キ四ツノ場合ニ大別セラルベシ.

- (I) 地表面ガ平面ニシテ $\theta < \phi$ ナル場合.
- (II) 地表面ガ二ッ以上ノ平面又ハ曲面ヨリ成レル場合.
- (III) 地表面ガ平面ニシテ其ノ上ニ荷重アル場合.
- (IV) 地表面ガ二ッ以上ノ平面又ハ曲面ヨリ成リ其ノ上ニ荷重アル場合.

(I) = 於テハ第 272 圖 $(a_1), (a_2)$ ニ示セル如ク土壓分布表圖ハ常ニ三角形ナリ. 故ニ此ノ場合ニハ全土壓力ノ働點ハ常ニ壁底ヨリ $\frac{1}{3}h$ ノ所ニアリ.

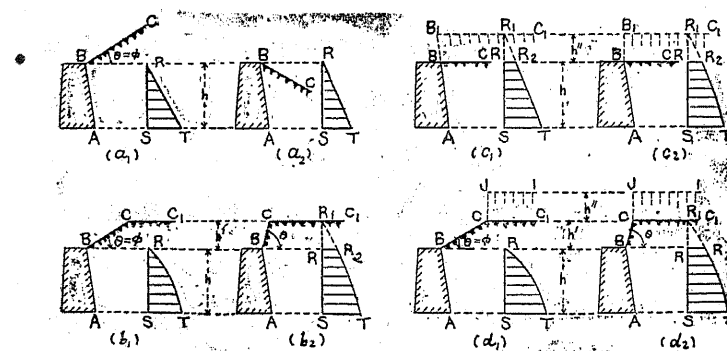
(II) = 於テハ (b_1) 圖ニ示セル如ク土壓力分布表面ハ RST ノ如クナリ土壓力增大ノ度一様ナラズ. 全土壓力ノ働點ハ壁底ヨリ $\frac{1}{3}h$ 以上ノ所ニアリ. 次ニ (b_2) 圖ニ示セル如ク $\theta > \phi$ ナルトキ BC = 摊壁アリトスレバ此部分ニ於ケル土壓力分布表圖ハ(I)ニ於ケルト同様ニ三角形 R_1RR_2 ノ如クナリ頂點 B ニ於テ RR_2 ダケノ土壓力ガ作用スルコトトナル. 而シ

テ R_2T ノ部分ハ一種ノ曲線トナルヲ以テ全土壓力ノ働點ハ (b_1) 圖ニ於ケルヨリモ上方ニアルベキナリ。又一般ニ過載荷重ノ上面ガ不規則ナルトキハ土壓力分布曲線モ亦不規則トナルコト推定ニ難カラザルナリ。

(III) = 於テハ BB_1 ガ AB ノ延長線上ニアルト見做サルル場合ニ於テハ土壓力分布表圖ハ (c_1) 圖ニ示セル如ク $RSTR_2$ ノ如ク梯形トナレドモ然ラザルトキハ R_2T 部ハ (c_2) 圖ニ於ケル如ク曲線トナルベシ。尤モ ABB_1 ガ一直線ニ近ケレバ之ヲ梯形ト見ルモ大差ナキナリ。

(IV) = 於テハ (d_1) 圖ニ示セル場合ノ働點ハ (b_1) 圖ニ於ケルヨリモ上方ニアリ。又 (d_2) 圖ニ示セル場合ニハ (b_2) 圖ニ於ケルヨリモ上方ニアルコト明ラカナリ。

第 272 圖

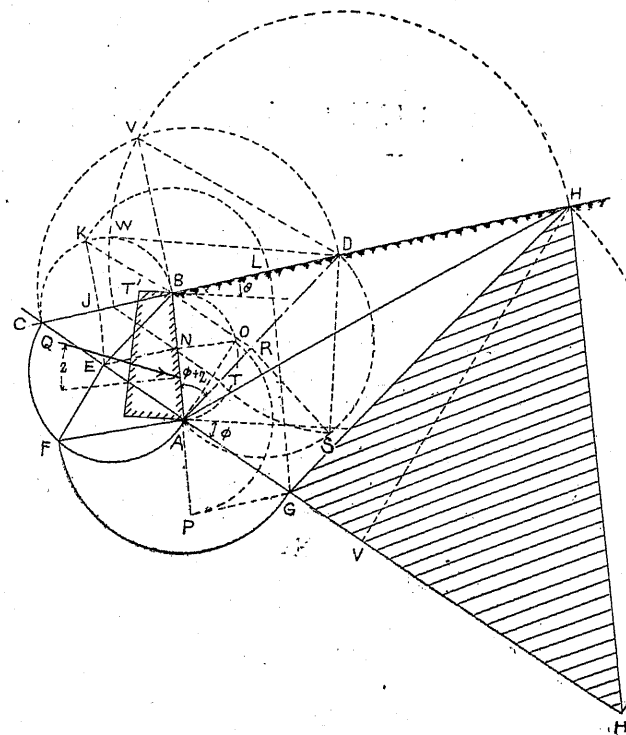


83. 受働的土壓力 受働的土壓力ノ大サ方向及ビ働點ハ自働的土壓力ノ場合ニ準ジテ之ヲ求ムルヲ得ベシ。此ノ場合ノ作圖法ニ於テハ中及ビニア自動的土壓力ノ場合ト反對ノ側ニ度ルノ外大差ナキヲ以テ(第 241 圖 (b) ト第 275 圖トヲ對照セヨ)第 79 節ニ於テ述べタル處ヲ其ノ儘述レバ最後ノ結果ニ達シ得ベシ。

第 273 圖ニ示セル如ク擁壁ノ左方ヨリ外力 Q ヲ加フレバ AB ヨリ右方ノ土ハ受働的ノ位置ニアリテ土楔 ABH ハ破壊面 AH ニ沿ウテ將ニ上方ニ摺動セントスルノ傾向ヲ生ジ受働的土壓力ヲ現ハスベシ。此ノ際最大受働的土壓力ヲ現ハスベキ破壊面ヲ求メ從ツテ受働的土壓力ノ大サヲ知ルニハ第 79 節[A]ニ於ケルト同様ナル趣旨ニ依リテ作圖スルヲ得ベシ。先づ第 79 節[A]第一法ニ相當スル作圖法ヲ述ベントス。

第 273 圖ニ於テ A ヲ通ジ下方ニ水平線ト中角ヲナセル直線 GAC ヲ引キ地表線 HB ノ延長線ト C ニ於テ會セシム。 A ヲ通ジ右方ニ於テ AB ト $(\phi+z)$ ダケノ角ヲナス様 AD ヲ引キ之ヲ準線トナスベシ。 B ヨリ AD ニ並行ニ BE ヲ引キ E ニ於テ AC ニ垂直ニ EF ヲ引キ AC 上ニ畫ガキタル半圓ト F ニ會セシム。 AF

第 273 圖



ニ等シク AG ヲ取リ G ョリ 準線 AD = 並行 = GH ヲ引キ 地表線ト H = 會セシメ AH ヲ連ヌルトキハ是レ 最大受働的土壓力ヲ現ハス場合ニ於ケル破壊面ナリ。 GH = 等シク GH' ヲ取リ HH' ヲ連ヌレバ $\triangle GHH'$ ハ所要ノ土壓力三角形ナリ。 破線ニテ示セルハ第 79 節第二方法乃至第五方法ニ相當スル作圖ニシテ 自働的土壓力ノ場合ト同様ノ符號ヲ附セルヲ以テ

讀者宜シク之ヲ考照スペシ。

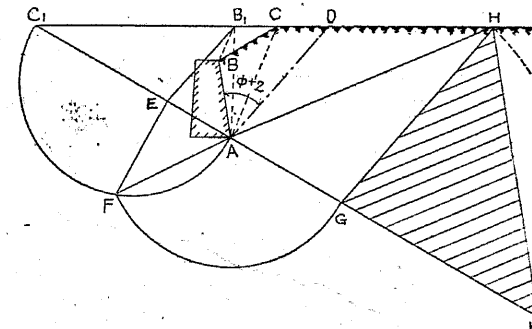
受働的土壓力ヲ表ハス公式モ亦自働的土壓力ノ場合ト同様ニ導致セラルベク其ノ公式次ノ如シ。

$$\left. \begin{aligned} Q &= \frac{1}{2}wh^2 \left\{ \frac{\cos(\phi + \alpha)}{(1-n)\cos\alpha} \right\}^2 \frac{1}{\cos(z - \alpha)} \\ n &= \sqrt{\frac{\sin(\phi + z)\sin(\phi + \theta)}{\cos(z - \alpha)\cos(\theta - \alpha)}} \end{aligned} \right\} \quad (59)$$

z ノ値及ビ働點ニ就テハ自働的土壓力ノ場合ニ於ケルト同様ナレバ第 81 及ビ 82 節ヲ參照スペシ。但シ Q ノ働線ハ壁背ノ垂直線ニ對シテ自働的ノ場合ト反対ノ側ニ z 角ヲナスベシ。

第 274 圖ニ示セル場合ノ Q ヲ求ムル方法ハ別ニ 説明ヲ要セズ圖上ニ於テ明ラカナリ。其ノ働點ノ

第 274 圖

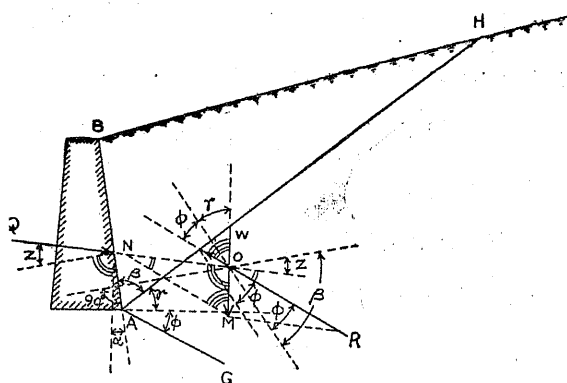


位置ハ第 82 節ニ於テ述ベタルト同様ナリ。尙他ノ場合ニ就テモ夫々自働的土壓力ノ場合ニ準ジテ

ヲ解決シ得ベシ。

證明 第275圖ニ示セル如クAB面ヲ左方ヨリ壓スレバ右方ノ土ニ於テ其ノ壓力ノ影響ヲ受クル範囲ハAヲ通ジ水平線トトダケノ傾斜ヲナス直線AG以上ノ部分ナルベキコト明ラカナリ。尚土楔ABHハ將ニ上方ニ摺動セントスル極限位置ニアルヲ以テAH面ニ於ケル反力RハAHニ引キタル垂直線ノ右方即チ自動的。

第275圖

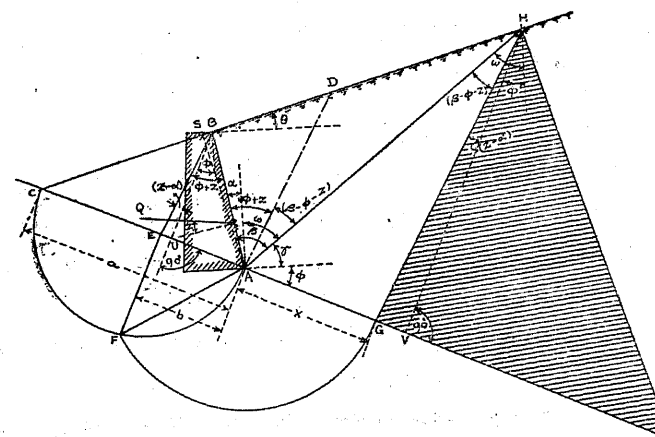


ノ場合ト反對側ニ ϕ ダケノ傾斜ヲナスベシ。又第81節ニ説明セルト同様ニ擁壁ハABHノ土ニ對シテ下方ニ摺動セントスル傾向アルヲ以テ摩擦抵抗ハ上方ニ向ツテ働キ土楔ノ方ヨリ云ヘバQハ壁背ノ垂直線ノ下側即チ自動的ノ場合ト反対側ニ ϕ 角ヲナスペク擁壁ノ方ヨリ云ヘバ第275圖ノ如クナルベシ。

最大受働的土壓力ヲ現ハス場合ニ於ケル破壊面AHノ位置ニ關スル證明ハ第79節ニ於テ説明セル處ト異ナラザレドモ念ノ爲メ茲ニ之ヲ述ベントス。

第275圖ニ示セル如ク土楔ABHノ重量Wヲ分力ON及ビMNニ分ツトセバMNハRニ並行ナルベキヲ以テ $\triangle OMN$ ニ於テ正弦比例ニヨリ

第276圖



$$\frac{ON}{OM} = \frac{Q}{W} = \frac{\sin \angle OMN}{\sin \angle ONM} = \frac{\sin(\gamma + \phi)}{\sin(\beta - \phi - z)} \quad (a)$$

然ルニ $W = \frac{1}{2}w \cdot AS \times BH$ ナルヲ以テ(第276圖ヲ見ヨ)。

$$Q = \frac{1}{2}w \cdot AS \times BH \frac{\sin(\gamma + \phi)}{\sin(\beta - \phi - z)}$$

$\triangle AHG$ ニ於テ正弦比例ニヨリ

$$\frac{HG}{AG} = \frac{\sin \angle HAG}{\sin \angle AHG} = \frac{\sin(\gamma + \phi)}{\sin(\beta - \phi - z)}$$

$$\therefore Q = \frac{1}{2}w \cdot AS \cdot BH \frac{HG}{AG} \quad (b)$$

$\triangle BEC$ ト $\triangle HGC$ トハ相似ナルヲ以テ

$$BH = BC \frac{EG}{EC}, HG = GC \frac{BE}{EC}$$

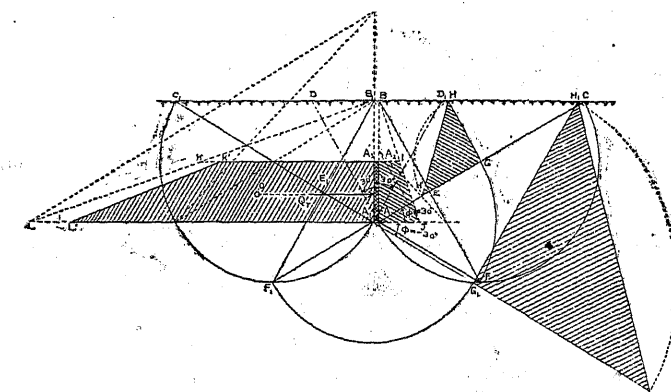
(b)式ニ此等ノ式ヲ代入シテ

$$Q = \frac{1}{2}w \left(\frac{AS \cdot BC \cdot BE}{EC^2} \right) \frac{EG \cdot GC}{AG} \quad (c)$$

(c)式ノ括弧内ノ項ハAHノ位置ニ無關係ナルヲ以テ $\frac{EG \cdot GC}{AG}$ ノ値が最大ナルトキQノ値ハ最大ナリ。今 $AG=x$, $AC=a$, $AE=b$ トスレバ

=示セル埋飯 $AA_1A_2A_3$ =作用スル受動的土壓力ヲ求ム。但シ $z=0$ トス。

第 277 圖



第 255 圖及ビ 269 圖ニ示セル方法ニ依リテ AA_2 上ニ作用スル自働的土壓力ヲ求ムレバ AA_2IJ ノ如キ土壓力表圖ヲ得。次ニ第 276 圖及ビ第 269 圖ニ示セル方法ニ依リテ A_1A_3 上ニ作用スル受動的土壓力ヲ求ムレバ A_1A_3LK ノ如キ土壓力表圖ヲ得ベシ。 AA_1 及ビ AJ =等シク KK' 及ビ LL' チ取り $K'L'$ チ連スルトキハ埋飯ノ前後ニ於ケル土壓力ノ差ニ相當スル土壓力表圖 $A_1A_3L'K'$ チ得ベシ。結局埋飯ノ受クベキ土壓力ハ

$$Q_r = \frac{A_3K' + A_1L'}{2} \times A_1A_3 \times w = \frac{5.45 + 10.70}{2} \times 2 \times 100 = 1,615 \text{ 听}$$

而シテ動點ハ圖上ニテ度ルニ地表面ヨリ凡ソ 3.1 呢ノ所ニアリ。之ヲ第 75 節例題 2 = 於ケル結果ト比較スルニ儀 = 15 听ノ差アリ。

尚(59)式ニ依リテ計算スレバ $n = \frac{1}{2}$ トナルナシテ

$$Q = \frac{1}{2} \times 100 \times (4^2 - 2^2) \times \left(\frac{0.866}{1 - \frac{1}{2}}\right)^2 = \frac{1}{2} \times 100 \times 12 \times 3 = 1,800 \text{ 听}$$

而シテ右方ヨリ動ク土壓力ハ

$$P = \frac{1}{2} \times 100 \times (4^2 - 2^2) \times \frac{1}{3} = 200 \text{ 听}$$

$$\therefore Q_r = Q - P = 1,800 - 200 = 1,600 \text{ 听}$$

第四章 凝集力ヲ有スル土

(Coherent Earth)

84. 緒説 第一章ニ於テ述ベタルガ如ク凡ソ土ガ平衡狀態ヲ維持スルハ其ノ重量、其ノ分子間ノ摩擦抵抗及ビ凝集力ニ依ルモノナルガ就中凝集力ハ土ノ種類ニヨリテ非常ナル差異アルノミナラズ同種ノ土ニ於テモ主トシテ含有水分ノ量ト固結ノ程度トニ因リテ其ノ値ニ變化ヲ生ジ從ツテ土ノ安定上ニ大ナル影響ヲ與フルモノナリ。例ヘバ新ラシキ築堤ニ於テハ土ノ掘起シノ爲メ殆ド凝集力ヲ失ヒ之ヲ信賴スル能ハザルモ新ラシキ切取ニ於テ適當ノ水分ヲ含メル場合ニハ著シク凝集力ノ存在ヲ認ムルガ如シ。普通ノ土ニ於テ盛土ノ法勾配ハ一割五分(1.5:1)トシ切取面ノ勾配ハ一割(1:1)トスルモ此ノ理由ニ依ル。又擁壁ニ於テモ第 278 圖(a)ノ如クニ背後ニ盛土ヲナス場合ニハ凝集力ヲ無視シテ設計スルヲ通例トスルモ(b)圖ニ於ケル如ク背後ニ地山ガ接近セル場合ニハ凝集力ヲ考量スレバ(a)圖ノ場合ヨリモ土壓ハ小ナルベキコト論ヲ俟タズ。

要スルニ凝集力ハ土ガ或面ニ於テ分割セラレントスル作用ニ抵抗スル力ニシテ分割面ノ單位面積ニ於ケル抵抗力ハ即チ其ノ力度ナリ。是レ所謂凝集力係數 c (第一章第二節參照)ナルガ計算ヲ簡單ナラシムハニハ c ノ值ト土ノ單位容積ノ重量 w トノ比即チ土ノ凝集力係數ヲ土ノ單位容積ノ重量ニテ表ハセルモノヲ用フベキナリ。今此ノ比ヲ k ニテ表ハセバ

$$\frac{c}{w} = k, \quad c = k \cdot w$$

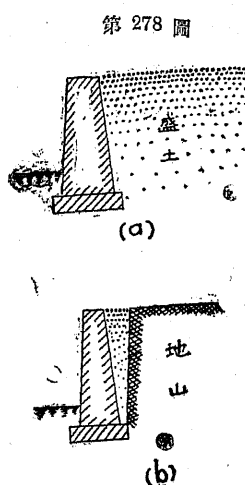
凝集力ヲ考量スル場合ニハ普通次ノ假定ヲナスモノトス。

第一 土ハ齊等質ナリ。

第二 凝集力ハ何レノ部分ニ於テモ均等ナリ。

第三 破壊面ハ一平面ナリ。

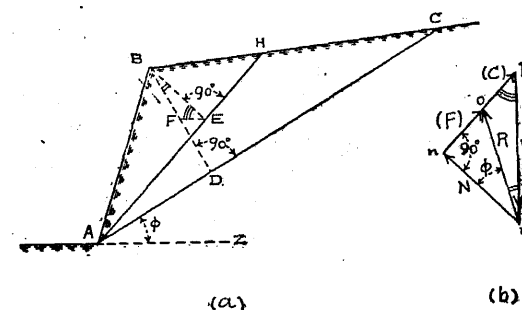
嚴密ニ言ヘバ第三假定ハ正シカラズ。破壊面ハ一ツノ曲面ナルベケレドモ計算ノ便宜上之ヲ平面ナリト假定ス。之ガ爲メニ生ズル誤差ハ僅少ニシテ而カモ安全ノ度ヲ増スモノナレバ實用上差支ナカルベシ。



第 278 圖

85. 破壊面ヲ求ムル方法 第279圖(a)ニ於テ BCハ地表面ニシテ ABハ凝集力ノ爲メニ辛ウジテ平衡ヲ保テル斜面ナリトス。今一平面 AHニ沿ウテ ABHノ部分ガ將ニ摺動セントシ辛ウジテ其ノ位置ヲ保ツモノトスレバ土楔ABHニ作用スル四種ノ力アルベシ。即チ第一 ABHノ重量W, 第二 AH面上ノ垂直反力N, 第三 AHニ沿ウテ上方ニ向ツテ働く摩擦力, 第四 AH面ニ沿ウテ上方ニ働く凝集力是レナ

第 279 圖



リ。而シテ此等ノ力ガ丁度平衡ヲ保ツベキ筈ナルヲ以テ力表圖ハ(b)圖ノ如ク mnl ナル三角形トナルベシ。此ノ力表圖ニ於テ n ハ AH面ニ於ケル摩擦力ニシテ ol ハ凝集力ナリトス。然ルニAHBハ將ニ摺動セントスル場合ナルガ故ニAH上ノ反力R即チF及ビNノ合力ハ AH面ノ垂直線ト中角ヲナス

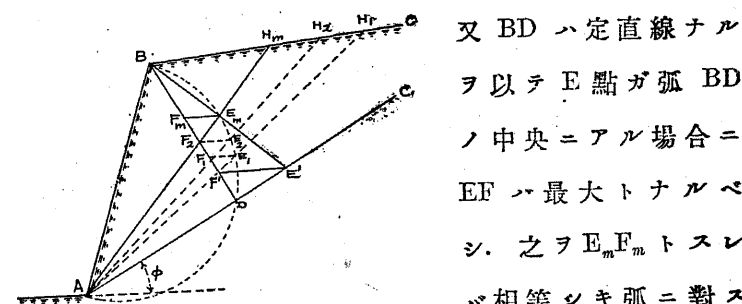
ベキヲ以テ m ヨリ mn ト中角ヲナス様 mo ヲ引ケバ no ハ摩擦力 F ヲ表ハシ nl ヨリ no ヲ減ジタルモノ即チ ol ハ凝集力ヲ表ハスベキナリ。然レバ W ヲ度リタルト同ジ力尺度ニテ ol ヲ度レバ AH 面ニ於ケル凝集力 C ヲ得ベシ。

第279圖(a)ニ於テ B ヨリ AH 及ビ AC ニ垂直ニ夫々 BE, BD ヲ引キ E ヨリ水平線 EF ヲ引キ BD ト F ニ會セシムベシ。然ルトキハ互ニ垂直ナル二双ノ直線間ノ角ハ相等シキヲ以テ $\angle lmo = \angle BEF, \angle lmn = \angle HAZ$, 又 $\angle HAD = \angle EBF$, 故ニ $\angle lmn - \phi = \angle lmo = \angle HAZ - \phi = \angle HAD$, 從ツテ $\angle lmo = \angle EBF$. 故ニ(b)圖ニ於ケル $\triangle mlo$ 及ビ(a)圖ニ於ケル $\triangle BEF$ ハ相等シキニ角ヲ有スルヲ以テ相似ナリ。此ノ場合ニ於テ $W = \frac{1}{2}w.AH.BE$ ナルヲ以テ BE ニテ W ヲ表ハセバ W ハ縮尺 $\frac{1}{2w.AH}$ ハテ表ハサルコトナル。サレバ EF ヲ同一縮尺ニテ計リタルモノガ凝集力ノ大サ C ヲ表ハスベシ。即チ凝集力ノ値ハ $\frac{1}{2}w.AH.EF$ ナリ。假定ニヨリ凝集力ノ配布ハ均等ナルベキヲ以テ凝集力係數 c ハ $\frac{1}{2}w.EF$, 從ツテ $k = \frac{c}{w} = \frac{1}{2}EF$ トナル。是レ即チ方ニ摺動セントスル土楔 ABH ノ平衡ヲ保ツニ必要ナル k ノ値ナリ。然ルニ破壊面以外ノ面ニ沿ウテハ未ダ摺動ガ起ラントスル傾向ナキヲ以テ凝集力度ハ

其ノ最大值ヲ現ハサザルベシ。即チ AH ノ位置變ズレバ凝集力度モ之ト共ニ變ズベシ。例ヘバ第280圖ノ AH_1 及ビ AH_2 面ニ於テ發現セラルベキ凝集力度ハ夫々 $\frac{1}{2}E_1F_1, \frac{1}{2}E_2F_2$ ハ比例スルガ如シ。故ニ破壊面ヲ求ムルニハ凝集力度ガ最大即チ EF ノ長サガ最大ナルベキ面ヲ見出サザルベカラズ。

今第280圖ニ於テ $\angle BE_1A, \angle BE_2A$ 等ハ常ニ直角ナルヲ以テ E 點ノ軌跡ハ AB ヲ直徑トセル半圓ニシテ必ラズ D ヲ通ズベシ。

第280圖



又 BD ハ定直線ナルヲ以テ E 點ガ弧 BD ノ中央ニアル場合ニ EF ハ最大トナルベシ。之ヲ E_mF_m トスレバ相等シキ弧ニ對スル圓周上ノ角ハ相等シキヲ以テ $\angle BAE_m = \angle E_mAD$ トナリ AH_m ハ斜面 AB ト土ノ天然傾斜面 AC トノ間ノ角ヲ二等分スルコトナル。 BE_m ヲ延長シテ AC ト E' ニ會セシメ、 E' ヲ通シテ水平線 $E'F'$ ヲ引キ BD ト F' ニ會セシムルトキハ $BE_m = \frac{1}{2}BE'$ ナルヲ以テ $E_mF_m = \frac{1}{2}E'F'$ 。故ニ k ノ値ハ次ノ如シ。

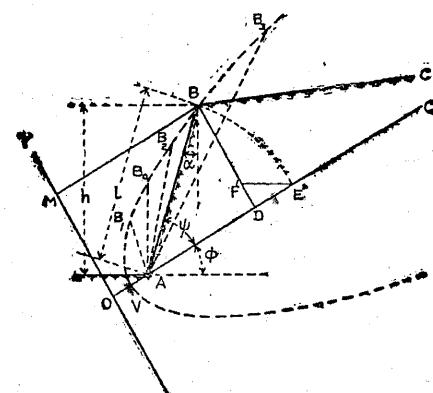
$$k = \frac{1}{2} \mathbf{E}_m \mathbf{E}_m^T = \frac{1}{4} \mathbf{E}' \mathbf{F}' \dots \dots \dots \quad (60)$$

然ルニ $DE' = E'F' \cos\phi$ ナルガ故ニ

即チ AH_m ガ求ムル所ノ破壊面ナリ.

86. 安定傾斜 本節ニ於テハ或ル高サニ對シテ
勾配ヲ如何ニスレバ其ノ斜面ガ丁度平衡ヲ保ツベ
キカヲ考究セントス。先ヅ圖式的ニ其ノ關係ヲ述
べン。第 281 圖ニ於テ凝集力ニ依リテ丁度崩壊ヲ
免ガレ得ル程度ノ斜面ヲ AB トシ AC ヲ土ノ天然傾
斜線トスレバ B ヨリ AC = 垂直線 BD ヲ引キ AE' ヲ

第 281 頁



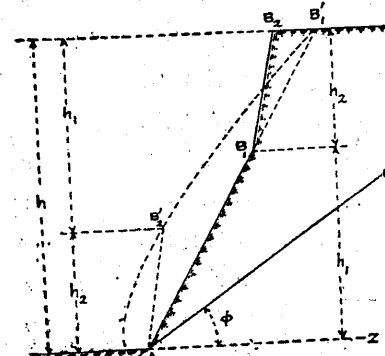
AB = 等シクシ
 水平線 E'F'ヲ引
 キ F'ニ於テ BD
 ト會セシムルト
 キハ前節ニヨリ
 テ $DE' = 4k \cos \phi$.
 而シテ此ノ値ハ
 中ト k トガ不變
 ナラバ一ツノ當

數ナリ。今 CA の延長線上に於テ $AO=DE'$ トシオヲ
通ジテ OC = 垂直 = OY ヲ引キ $OM=BD$ トスレバ

MB=OD=E'A=AB トナル. 而シテ DE' ガ常數ナル
 ヲ以テ OY モ一定直線トナリ B 點ハ OY 並ニ定點 A
 ョリ等距離ニアリ. 今中及ビ τ ノ値ヲ不變トスレ
 バ B 點ト同ジ條件ヲ滿足スペキ B_1, B_2, B_3 等ト A ヲ
 連ネタル直線 AB_1, AB_2, AB_3 等モ丁度平衡ヲ保ツベキ
 斜面ヲ表ハスコトトナルベシ. 而シテ B 點ノ軌跡
 ハ OY ヲ準線, OC ヲ軸, A ヲ焦點, AO ノ中央點 V ヲ頂
 點トセル拋物線ニシテ圖上ニ於テ破線ヲ以テ表セ
 ルモノ是レナリ. 此ノ拋物線ヲ凝集力拋物線 (Pa-
 rabola of Cohesion) ト謂フ.

若シ A 點ニ鉛直線 AB_0 ヲ引キ B_0 ニ於テ拠物線ニ會セシムルトキハ AB_0 ダケノ高サナレバ其ノ面ヲ鉛直トスルモ崩壊ノ恐ナク AB_0 以下ノ高サナレバ B ガ A よリ外方ニ突出シ逆勾配トナルモ平衡ヲ保

第 282



ツコト明ラカナリ。
又崖ノ高サガ増スニ
從ヒ其ノ勾配ヲ如何
ニスペキカハ圖上ヨ
リ之ヲ知ルヲ得ベシ。
數段ニ分チテ土工
ヲナスニハ凝集力拋
物線ニヨリテ各區分

ノ高サニ相應スル勾配ヲ求ムルヲ得。第282圖ハ二段分割ノ例ナルガ精確ニ云ヘバ B_1 點ニ於テ大走ヲ設ケ $B_1B'_1$ ト B_1B_2 トノ交叉ニヨリテ作ラル、上下ノ二面積ガ等シクナル様ニスペキモノトス。

各ノ高サニ於ケル安定ノ程度ガ何處モ均等ナルベキ勾配線ハ曲線ニシテ其ノ曲度ハ下部程緩ナルベキハ上叙ノ所論ヨリ明ラカナリ。此ノ曲線ヲ均等安定曲線ト謂フ。第282圖ニ於テ區分數ヲ非常ニ多クスレバ其ノ大體ノ形ヲ得ベシ。

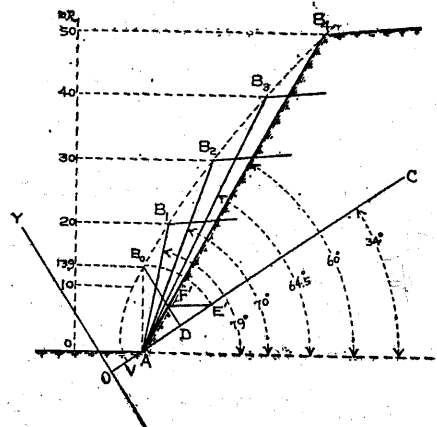
例題1. 息角 $\phi=34^\circ$, $k=1.85$ ナル土アリ。深サ40呎ニ切取ナサントスルニハ切取面ノ傾斜角ヲ如何ニスペキカ。

(61)式ニ依ツテ

$$DE'=4k \cos\phi = 4 \times 1.85 \times 0.829 = 6.06 \text{呎}$$

第283圖ニ於ケル如ク水平線AZト 34° ノ角ナシテ直線OOヲ

第283圖



引キ其ノ會點ヲAト。シ適當ノ線尺度ニテOAヲ6.06呎ニ等シ取リOC=垂直=OYヲ引キOYヲ準線トシ、Aヲ焦點トシテ抛物線VB₁B₄ヲ畫ガクベシ。次ニ鉛直線上ニ線尺度ニテ40呎ダケノ長サヲ取り此ノ點ヲ通ジテ水平線ヲ引キ之ト抛物線トノ

交點ヲ B_1 トスレバ AB_1 ガ即チ求ムル傾斜線ニシテ之ガAZトナス角 64.5° ガ求ムル角ナリ。

例題2. 高サ13.9呎マデハ鉛直ニ切取り得ル土地ニ於テ20, 30, 40及ビ50呎ノ高サニ切取ナサントス。其ノ傾斜角ハ各幾何ニナスペキカ。但シ $\phi=34^\circ$ トス。尙此ノ場合ニ於ケル k ノ値ヲ求メヨ。

第283圖ニ於ケル如ク適當ノ線尺度ニテ鉛直線上ニ13.9呎ヲ度リテ AB_1 チ定メ水平線ト 34° ノ角ナシテ引キタルAC線ニ垂直= B_1D チ引キ AB_1 =等シク AE' チ取りCAノ延長線上= DE' =等シクAOチ取り例題1ニ於ケルト同様ニ抛物線ヲ畫ガクベシ。次ニ20, 30, 40, 50呎ノ高サヲ表ハセル點ヨリ水平線ヲ引キ之ト抛物線トノ交點ヲ夫々 B_1, B_2, B_3, B_4 トスレバ AB_1, AB_2, AB_3 及ビ AB_4 ハ求ムル傾斜線ニシテ其ノ傾斜角ハ夫々 $79^\circ, 70^\circ, 64.5^\circ$ 及ビ 60° ナリ。

尙 E' ヨリAZ=並行= $E'F'$ チ引キ B_1D ト F' =會セシムレバ(60)式ニ依リテ $k=E'F'/4=7.4/4=1.85$

注意 凝集力係數ニ對スル安全率ハ普通2或ハ3トス。故ニ安全凝集力ニ對スル抛物線ニ於テハ焦點ト準線トノ間ノ距離ハ實際ノ値ノ $\frac{1}{2}$ 或ハ $\frac{1}{3}$ トナルベシ。例へハ第283圖ノ抛物線ニ於テ安全率ヲ2トスレバ焦點距離AOハ其ノ $\frac{1}{2}$ トナル。

凝集力抛物線ヨリ平衡ヲ保ツニ要スル高サト勾配トノ關係式ヲ求ムルヲ得ベシ。

第281圖ニ於テ $AB=AE'=AD+DE'$ 。然ルニ(61)式ニ依リテ $DE'=4k \cos\phi$; $AD=AB \cos\psi=k \cos\psi$ 。

$$\text{故ニ } l = k \cos\psi + 4k \cos\phi$$

$$\therefore l = \frac{4k \cos\phi}{1 - \cos\psi} = \frac{2k \cos\phi}{\sin^2 \frac{\psi}{2}}$$

$$\text{然 } \nu = h = l \cos \alpha = l \cos \{90^\circ - (\psi + \phi)\} = l \sin(\psi + \phi)$$

是レ高サト勾配トノ關係ヲ表ハス式ナリ. 鉛直面ガ
安定ヲ保チ得ベキ高サルヲ求ムレバ此ノ場合ニハ
 $\psi + \phi = 90^\circ$ ナルヲ以テ

$$h_1 = \frac{2k\cos\phi}{\sin^2 \frac{\psi}{2}} = \frac{2k\sin(90^\circ - \phi)}{\sin^2\left(\frac{\pi}{4} - \frac{\phi}{2}\right)}$$

$$= \frac{4k\sin\left(\frac{\pi}{4} - \frac{\phi}{2}\right)\cos\left(\frac{\pi}{4} - \frac{\phi}{2}\right)}{\sin^2\left(\frac{\pi}{4} - \frac{\phi}{2}\right)}$$

(62) 及ビ(63)式ヨリ h_1 トノ關係ヲ求ムレバ次
ノ如シ.

例題 1. $k=1.85$, $\phi=34^\circ$ ナル土アリ。 $64^\circ-40'$ ノ傾斜角ナ有セシム
ル様切取ナサントスレバ最大深サ幾呪トナシ得ベキカ。

(62) 式 = 依ツチ

$$\begin{aligned} h &= 2 \times k \times \frac{\sin 60^\circ - 40' \times \cos 34^\circ}{\sin^2 15^\circ - 20'} \\ &= \frac{2 \times 1.85 \times 0.9033 \times 0.829}{0.0640} = 39.65 \text{ m} \end{aligned}$$

例題2. $k=1.2$, $\phi=30^\circ$ ナル土を深さ50呎で切取ランドス。若し

安全率ヲ 2 トスレバ法尻ノ傾斜角如何.

(62) 式 3)

$$50 = 2 \times \frac{1.2}{2} \times \frac{\sin(\psi + 30^\circ) \times 0.866}{\sin^2 \frac{\psi}{2}}, \quad 48.113 = \frac{\sin(\psi + 30^\circ)}{\sin^2 \frac{\psi}{2}}$$

數同 / 試算 = 依 $\Psi = 13^\circ - 46'$

例題 3. $\phi = 34^\circ$, $c = 1.85$ ナル土 = 於テ (a) 切取面 \pm 鉛直ナラシメ得ル高サ h_1 如何. (b) 此種ノ土 = 於テ 法尻ノ傾斜角 $\pm 70^\circ$ ナラシメレバ 無何ノ高サマデ切取リチナシ得ルカ.

(a) (63) 式 = 依リテ

$$h_1 = 4 \times k \times \tan(45^\circ + 17^\circ) \\ \approx 4 \times 1.85 \times 1.88 = 13.9 \text{ m}$$

(b) 此種ノ土ニ於テハ鉛直ニ切取り得ル高サハ13.9呎ナルテ以テ(64)式ニ依リテ

$$h = \frac{h_1}{2} \times \frac{\sin 70^\circ \times \cos 34^\circ}{\tan 62^\circ \times \sin^2 18^\circ}$$

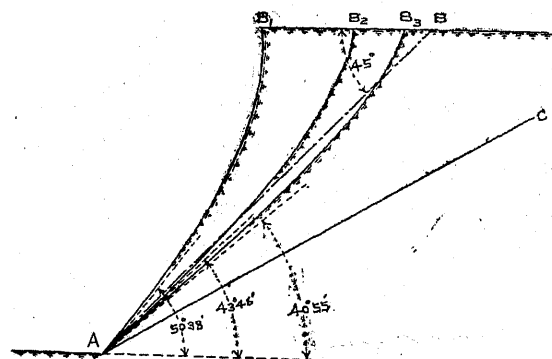
$$= \frac{13.9 \times 0.9397 \times 0.829}{2 \times 1.88 \times (0.0)55} = 30.15 \text{ m}$$

87. 切取及び盛土ノ法ノ決定 岩石、軟土又ハ砂
類等ハ之ヲ別トシテ普通ノ土ニ於テハ一般ニ切取
面ノ法ヲ一割(1:1)、盛土面ノ法ヲ一割五分(1.5:1)ト
スルコト最モ多シ。是レ普通ノ場合ニ於ケル土工
ニテハ是迄述ベタル如ク各種ノ土ノ性質ヲ委シク
調査シテ一々相當ノ法ヲ定ムルハ極メテ煩ハシキ
ガ故ナリ。然レドモ切取又ハ築堤ノ高サガ大ナル
トキ漫然此ノ規定ヲ適用センカ危險ト不經濟トガ
相伴フモノナルコトヲ忘ルベカラズ。運河ノ工事

等ニ於テハ數百呎ノ深サノ切取ヲ要スルコトアリ。鐵道工事ニ於テモ築堤ノ高サ百呎以上ニ及ブモノ稀有トセズ。此ノ如キ場合ニ上述ノ所論ニ基ツキテ適當ナル法ヲ選定スレバ建築費ニ節約ヲナシ得ルノミナラズ保存費ヲモ節シ得ベキナリ。

第284圖ハ前節例題2ノ第二種ノ土(即チ普通土)ノ均等安定傾斜ヲ表ハシタルモノニシテAB₁ハ極限ノ平衡狀態ニ於ケル均等安定曲線、AB₂及ビAB₃ハ安全率ヲ夫々2及ビ3トシタル場合ノ均等安定曲線又ABハ1:1ノ法ナリトス。若シ安全率ヲ3トスル必要アル場合ヲ考フレバ切取ノ量ハABノ場

第284圖



合トAB₃ノ場合ト大差ナキモ法尻ノ角ハ前者ニ於テ大ナルヲ以テ一割ノ法面トスレバ後來法尻ノ崩壊アルヤノ恐アリ。從ツテAB₃ガABニ勝ルコト勿

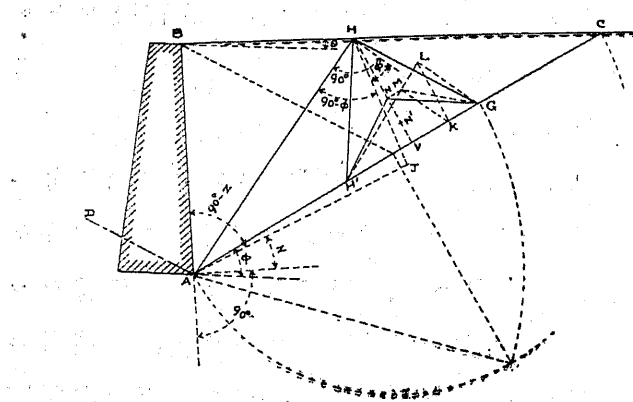
論ナリ。若シ安全率ヲ2トシAB₂ヲ法面トスレバABヨリ遙カニ切取ノ量少ナク高サ數百呎トナリ延長數哩ニ亘ルガ如キ場合ニハ經濟上大ナル差異ヲ生ズルコト明ラカナリ。

普通ノ切取ニ於テ法ヲ一割トスレバ法尻ノ角ハ45°ニシテ普通ノ土ノ息角ハ之ヨリ小ナルモノ多キヲ以テ法面ノ安定ハ無論凝集力ニヨリテ維持セラルベキモノナルガ同シ切取面ニ於テモ其ノ箇所ニ依リ土質異ナリ從ツテ凝集力亦異ルヲ以テ有効凝集力トシテハ其ノ最小ノモノヲ取リテ考フルノ必要アリ。尙築堤ハ勿論切取ニ於テモ雨ノ作用ニヨリテ大ナル影響ヲ受クルガ故ニ地方ニヨリテ安全率ヲ變更セザルベカラズ。普通溫帶地方ニ於テハ安全率ヲ2トシ大雨アル熱帶地方ニ於テハ3トスルコト多シ。

若シ盛土ヲナシタル際充分之ヲ搗固ムルトキハ凝集力ハ大ニ考量ニ値スルヲ以テ此ノ場合ニハ或程度マデ均等安定傾斜ノコトヲ考フルモ可ナリ。

88. 摺壁ニ作用スル土壓力 第285圖ニ於テABヲ摺壁ノ背面、BCヲ地表面、ACヲ天然傾斜面、AHヲ破壞面トスレバ△H'HGハ凝集力ヲ有セザル土ノ土壓力三角形ナリ(第三章第80節參照)。若シ土ガ凝

第 285 圖



集力ヲ有スルモノトスレバ之ガ爲メ土楔ABHノ摺動ガ妨ゲラレルヽコトヽナル. 然ルニ凝集力ハ破壊面ニ均等ニ配布セラレ全凝集力 $C = c \times AH$ ナリ. 此ノCノ爲メ=AB及AH面ニ於ケル反力(土楔ノ重量ニ對スル)ノ輕減セラルヽ量ヲ夫々 C_1 及ビ C_2 トスレバ C, C_1, C_2 ノ三力ハ平衡ニアルベキナリ. 而シテ土楔ABHノ摺動ガ切迫セル際ナレバ C_1 ハ ABノ垂直線ト之角ヲナスペク又 C_2 ハ AHノ垂直線ト中角ヲナスペシ. 故ニ $\angle BAJ = (90^\circ - z)$, $\angle AHJ = (90^\circ - \phi)$ ナル様 AJ 及ビ HJヲ引ケバ $\triangle AJH$ ハ C, C_1, C_2 ナル三力ニ對スル力ノ三角形ト見ルヲ得ベシ. 卽チ AHニテ C ヲ表ハセバ AJ 及ビ HJ ハ C_1 及ビ C_2 ヲ表ハヌベキナリ. 摠壁ニ作用スル土壓力ガ凝集力ヲ爲メニ減

少スル量 $\propto C_1$ 即 $c \times AJ = wk \times AJ = w \times 2k \times \frac{AJ}{2}$ ナリ.

今 $AC = H'K = \frac{1}{2}AJ$ ヲ取リ $AC = 垂直 = KL$ ヲ引キ $KL = 2k$ (例へば $k = \frac{c}{w} = \frac{300 \text{ 听每平方呢}}{100 \text{ 听每立方呢}} = 3 \text{ 呢ナレバ}$)
 $2k = 6 \text{ 呢トナリ之ヲ線尺度ニテ } KL = 6 \text{ 呢ト取ル) トシ } H' \text{ ト } L \text{ ト } M \text{ 連ヌルトキハ } \triangle H'LM \sim 2k \times \frac{AJ}{2} \text{ 即チ } C_1 \sim w \text{ 表ハス。 } L \text{ ト } G \text{ ト } M \text{ 連ネ } GL = \text{並行ニ } KM \text{ ヲ引キ } H'L \text{ ト } M = \text{於テ會セシメ } G \text{ ト } M \text{ ト } L \text{ 連ヌレバ } \triangle H'MG \sim \triangle H'LM = \text{等シ。 } H \text{ ヨリ } AC = \text{垂直ニ } HV \text{ ヲ引キ } M \text{ ヨリ } AC = \text{並行ニ } MN \text{ ヲ引キ } HV \text{ ト } N = \text{會セシメ } H' \text{ 及ビ } G \text{ ト } N \text{ ト } L \text{ 連ヌレバ } \triangle H'NG \sim \triangle H'GM = \text{等シカルベシ。故ニ}$

$$\Delta H'NG \times w = w \times 2k \times \frac{AJ}{2} = C_i$$

然ラバ ($\triangle H' HG - \triangle GNH'$) $\times w$ ハ 卽チ求ムル土壓力 F
 ヲ表ハスペキナリ。

若シ安全率ヲ 2 トスレバ $C_1 = \frac{c}{2} \times AJ = wk \times \frac{AJ}{2}$ ト
ナルヲ以テ $KL = k$ = 取リ上叙ノ如ク作圖スレバ
 $\triangle H'N'G \times w$ ガ C_1 ヲ表ハスベシ。此ノ場合ニハ N' ト
NV ノ中央點ナリ。

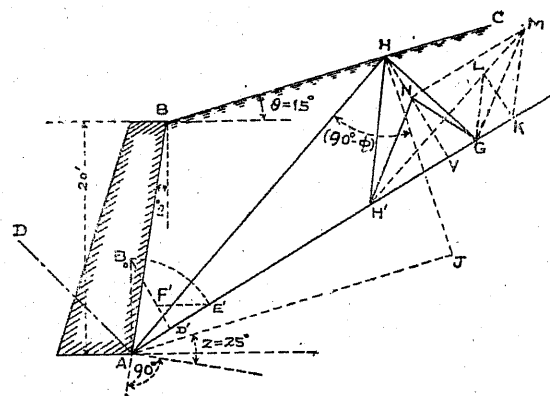
若シ AB 面ガ丁度平衡ヲ保チ崩壊ノ恐ナシトス
レバ凝集力ト土壓力トガ相等シク $\triangle H'NG$ ト $\triangle H'HG$
トハ等シクナルベシ。即チ擁壁ハ少シモ土壓力ヲ
受クルコトナシ。

次ニ土壓力ノ方向及ビ働點ニ就テハ第三章第81及ビ82節ヲ參照スベシ。

例題 第286圖ニ示セル如ク高サ20呎、壁背ノ傾斜角 -10° ナル擁壁アリ。壁背ノ土ニ於テハ $w=100$ 听每立方呎、 $\theta=15^\circ$ 、 $\phi=30^\circ$ 、 $Z=25^\circ$ 。又崩壊チ生ズルコトナクシテ高サ8.32呎マデ鉛直ニ切取リ得ベキ土質ナリトセバAB面ニ作用スル土壓力ノ大サ如何。

第86節ニヨリ $A = \text{於テ鉛直} = AB_0$ ナ引キ其ノ長サナ8.32呎ニ

第286圖



取リ B_0 ヨリ AC = 垂直 = B_0D' ナ引キ AC 上 = AB_0 = 等シク AE' ナ取リ E' ヨリ水平線 $E'F'$ ナ引キ B_0D' ト F' = 會セシムルトキハ(60)式ニ依ツテ $k = \frac{1}{2}E'F'$ 、即チ $C = kw = \frac{1}{2}w.E'F'$ 、 $C_1 = c \times AJ = \frac{1}{4}w$ 、 $E'F' \times AJ = w \cdot \frac{1}{2}(E'F') \times \left(\frac{1}{2}AJ\right)$ 、故ニ第(285)圖ニ於ケルト同様ニシテ $G_1 = \triangle H'NG \times w$ ナルヲ以テ

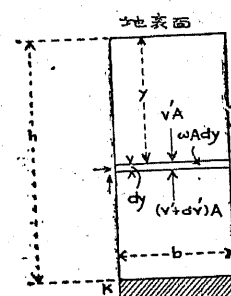
$$\begin{aligned} P &= (\triangle H'HG - \triangle H'NG) \times w = \frac{1}{2}(HV - NV) \times H'G \times w \\ &= \frac{1}{2} \times (10.4 - 6.1) \times 11.1 \times 100 = 2.15 \times 11.1 \times 100 = 2,387 \text{ 听} \end{aligned}$$

89. 隧道ノ支保工ニ加ハル土壓力 隧道掘鑿工事中支保工(Timbering)ニ作用スル土壓力ハ下壓力

上壓力及ビ側壓力ニシテ普通ノ場合ニハ下壓力最大ナルヲ以テ其ノ値ヲ求メ之ヲ標準トシテ支保工ノ大サヲ定ムレバ可ナルベシ。乃チ本節ニ於テハ主トシテ下壓力ニ就テ考究セントス。尤モ隧道上部ニ於テ如何ナル範圍内ノ土ガ影響ヲ及ボスベキカ又如何ナル狀態ニテ影響ヲ及ボスカガ不明ナルヲ以テ信頼スペキ計算法ヲ示スコト能ハズ。次ニ述ブル處ハ唯凝集力ノ應用トシテ特殊ノ場合ニ適用セラルベキ一ツノ計算法ニ過ギズ。

第287圖ニ示セルハ幅 b ナル隧道ノ横断面圖ニシテ支保工ヨリ上ノ土ノ深サハ h ナリトス。Aヲ

第287圖



支保工頂部ニ於ケル水平面 KL ノ面積 S ヲ其平面ノ周邊ノ長サ(但シ考ヘツツアル部分ガ他ノ部分ノ土ト接觸セル所ノミ取ルベシ), V ヲ h ナル深サ即チ KL 面ニ於ケル鉛直下壓力度, H ヲ h ナル深サニ於ケル

水平横壓力度, m ヲ H ト V トノ比トスレバ

$$\left. \begin{aligned} V &= \frac{1}{m.\mu} \left(w \frac{A}{S} - c \right) \left(1 - e^{-m\mu \frac{S}{A}} \right) \\ H &= mV \end{aligned} \right\} \quad (65)$$

上式ニ於テ w, μ 及ビ c ハ是レマテ使用セルモノト
同一ニシテ e ハ自然對數ノ基數ナリ。隧道ノ全長
 l = 就テ考フルトキハ $S=2l$, 隧道ノ一部分 l' ダケノ
長サヲ掘鑿セル場合ニハ $S=2l'+b$ ナリトス。 m ノ
值ハ實驗ニヨシテ定ムベキモノナレドモ未だ此ノ
種ノ實驗ノ結果ナシ。地表面水平ナル場合ニハら
んきん氏土壓論ニヨリ大略其ノ值ヲ推定スルヲ得
ベシ。即チ

$$m = \frac{H}{V} = \frac{1 - \sin\phi}{1 + \sin\phi} = \tan^2\left(\frac{\pi}{2} - \frac{\phi}{2}\right)$$

然ルニらんきん氏土壓論ハ凝集力ナク且地表面無
限ナル場合ニ適用セラルモノナルヲ以テ上式ガ
與フル m ノ值ハ實際ノ值ト異ナルヲ免レザルベシ。

證明 第287圖ニ示セル如ク深サ y ニ於テ細微厚サ dy ノ土層
ガ將ニ沈下セントシ辛ウジテ其ノ位置ヲ保テル場合ヲ考フル
ニ此ノ土層ニ作用スル外力ハ下壓力 $V'A$ 及ビ土層ノ重量 $wA dy$
上壓力トシテハ土層ノ下面ニ作用スル上壓力 $(V' + dV')A$, 土層ノ
周圍ノ側壓力 $H'S dy$ ヨリ生ズル摩擦抵抗 $H'S\mu dy$ 及ビ凝集力
 $cS dy$ ナリ。然レバ平衡條件トシテ次ノ式ヲ得ベシ。

$$(V' + dV')A - V'A - wA dy + (H'S\mu + S.c)dy = 0$$

H' ト V' トノ比ガ深サルヲ通シテ不變ナリト假定スレバ $H' = mV'$
ナルヲ以テ上式ハ次ノ如クナル。

$$\begin{aligned} dV'.A - (wA - S.c - m.V'.S.\mu)dy &= 0 \\ \frac{-m.\mu.S.dV'}{w.A - S.c - m.\mu.S.V'} &= -\frac{m.\mu.S}{A} dy \end{aligned}$$

此ノ式ヲ積分スレバ

$$\log_e(w.A - S.c - m.\mu.S.V') = -\frac{m.\mu.S}{A}y + (\text{積分常數})$$

$y=0$ ナラバ $V'=0$ ナルヲ以テ積分常數ハ $\log_e(w.A - S.c)$ トナル。

$$\therefore \log_e \frac{w.A - S.c - m.\mu.S.V'}{w.A - S.c} = -\frac{m.\mu.S}{A}y$$

$y=h$ ト置ケバ

$$\frac{w.A - S.c - m.\mu.SV}{w.A - S.c} = e^{-\frac{m.\mu.S}{A}h}$$

$$\therefore V = \frac{1}{m.\mu} \left(\frac{w.A}{S} - c \right) \left(1 - e^{-\frac{m.\mu.S}{A}h} \right)$$

（第九篇 終）